

UNIVERSIDADE FEDERAL DE PELOTAS
Faculdade de Agronomia “Eliseu Maciel”
Departamento de Ciência e Tecnologia Agroindustrial
Programa de Pós-Graduação em Ciência e Tecnologia de Alimentos



Dissertação

Filmes de acetato de celulose incorporados com compostos antociânicos do extrato
das flores de *Clitoria ternatea*

Glória Caroline Paz Gonçalves

Pelotas, 2023.

Glória Caroline Paz Gonçalves

**Filmes de acetato de celulose incorporados com compostos antociânicos do
extrato das flores de *Clitoria ternatea***

Dissertação apresentada ao Programa de Pós-Graduação em Ciência e Tecnologia de Alimentos da Faculdade de Agronomia Eliseu Maciel da Universidade Federal de Pelotas, como requisito parcial à obtenção do título de Mestre em Ciência e Tecnologia de Alimentos.

Orientadora: Profa. Dra. Adriana Dillenburg Meinhart

Co-orientadora: Profa. Dra. Elessandra da Rosa Zavareze

Co-orientador: Álvaro Renato Guerra Dias

Pelotas, 2023.

Glória Caroline Paz Gonçalves

Filmes de acetato de celulos incorporados com compostos antociânicos do extrato das flores de *Clitoria ternatea*

Dissertação aprovada, como requisito parcial, para obtenção do grau de Mestre em Ciência e Tecnologia de Alimentos, Programa de Pós-Graduação em Ciência e Tecnologia de Alimentos, Faculdade de Agronomia Eliseu Maciel, Universidade Federal de Pelotas.

Data da defesa: 04/04/2023.

Banca examinadora:

Prof^a. Dr^a. Adriana Dillenburg Meinhart (Orientadora). Doutora em Ciência de Alimentos pela Universidade Estadual de Campinas (UNICAMP).

Prof. Dr. Álvaro Renato Guerra Dias (Co-orientador). Doutor em Tecnologia de Alimentos pela Universidade Estadual de Campinas (UNICAMP).

Prof^a. Dr^a. Laura Martins Fonseca. Doutora em Ciência e Tecnologia de Alimentos pela Universidade Federal de Pelotas (UFPEL)

Prof^a. Dr^a. Tayse Ferreira Ferreira da Silveira. Doutora em Ciência de Alimentos pela Universidade Estadual de Campinas (UNICAMP).

Prof^a. Dr^a. Vanessa Bordin Viera. Doutora em Ciência e Tecnologia de Alimentos (UFSM).

Agradecimentos

Gostaria de agradecer primeiramente a Deus, por me dar forças para não desistir e conseguir concluir essa etapa com coragem de dedicação. À Universidade Federal de Pelotas (UFPel) e ao Programa de Pós Graduação em Ciência e Tecnologia de Alimentos (PPGCTA), pela oportunidade de realização do mestrado.

Aos meus pais, pelo apoio incondicional, por nunca medirem esforços para me ajudar durante toda essa caminhada. Obrigada pela educação, por sempre apontar ao caminho do bem, apoiarem meus sonhos e nunca deixar eu desistir dos meus objetivos. Vocês são a minha base, meus exemplos de pessoas do bem, e tudo que faço é por vocês.

Aos demais familiares, principalmente meus padrinhos, avós, tios, tias, primos e primas por compreenderam a falta de abraço e a falta de tempo, mas os dias eram assim durante esta jornada.

Ao meu amor, Juliano, por me apoiar, pelo companheirismo pelo carinho ao longo desse tempo, obrigada por estar sempre por perto, tornando os dias mais leves e alegres.

Aos meus amigos, em especial, o Élder, por não medir esforços para me ajudar, me incentivar e apoiar. A Maria Eduarda, que mesmo a distância, sempre está comigo, e sempre tem os melhores conselhos. E os demais amigos, obrigada pela amizade e companheirismo.

Aos amigos que ganhei ao ingressar no mestrado, Laura, Thaís, Rafael, Alexandra, Thamyres e Bruna, por toda ajuda, pelas descontrações no ambiente de trabalho, tornando-o mais leve e feliz.

A minha orientadora, Prof^a. Dr^a. Adriana, por nunca medir esforços para ajudar na execução do projeto, principalmente na conclusão, por todos ensinamentos e contribuições na minha vida profissional.

A minha co-orientadora Prof^a. Dr^a. Elessandra, pela paciência e por todas os ensinamentos.

Ao meu co- orientador Prof. Dr. Álvaro, pela execução do canteiro onde foram plantadas as flores utilizadas no meu trabalho, e por toda ajuda na parte agronômica.

Aos demais professores do Programa de Pós-Graduação em Ciência e Tecnologia de Alimentos, da Universidade Federal de Pelotas (PPGCTA – UFPel), por todo conhecimento transmitido durante esse tempo.

Aos demais colegas do DCTA, pela recepção, convívio e por sempre estarem dispostos a ajudar.

A agência de fomento, Coordenação de Aperfeiçoamento de Pessoal de Nível Superior (CAPES) pelo apoio financeiro para realização da pesquisa.

Por fim, a todos que de alguma forma fizeram parte dessa caminhada, estão guardados no meu coração. Muito obrigado!

Resumo

GONÇALVES, Glória Caroline Paz. **Filmes de acetato de celulose incorporados com compostos antociânicos do extrato das flores de *Clitoria ternatea*.** 2023. 101f. Dissertação (Mestrado em Ciência e Tecnologia de Alimentos) – Programa de Pós-Graduação em Ciência e Tecnologia de Alimentos, Faculdade de Agronomia Eliseu Maciel, Universidade Federal de Pelotas, Pelotas, 2023.

A flor da *Clitoria ternatea* é rica em compostos bioativos, principalmente fenólicos não antociânicos e fenólicos antociânicos. O objetivo desse estudo foi avaliar as flores da *Clitoria ternatea* cultivadas na Região Sul do Rio Grande do Sul, extrair os compostos antociânicos utilizando um método de extração ambientalmente amigável, aplicar em filmes de acetato de celulose e investigar o potencial para aplicação do extrato e dos filmes na área alimentícia. Para a otimização da extração, as variáveis tempo, temperatura e volume de solução extratora (água acidificada a 1%) foram avaliadas através de um planejamento fatorial 2^3 , com pontos centrais e axiais, sobre o teor de antocianinas totais. O extrato obtido na condição ótima de extração foi avaliado quanto à composição química, teor de fenólicos não antociânicos e antociânicos, capacidade redutora, atividade antioxidante, toxicidade *in vivo* e atividade frente a patógenos alimentares gram-positivos e gram-negativos. Os filmes de acetato de celulose foram produzidos pela técnica de casting incorporados com o extrato das flores da *Clitoria ternatea*, bem como com as flores liofilizadas, em diferentes concentrações, com a finalidade de ser um indicador de mudança de cor, frente a mudança de pHs. A condição ótima de extração foi de 22,5 mL, 16 min de reação à 45 °C. Os teores de antocianinas monoméricas totais no extrato líquido foram entre 450,29 e 554,63 mg/100 g de flor seca. O extrato liofilizado foi caracterizado por apresentar: capacidade redutora de 806,92 mg GAE/100 g, elevado potencial antioxidante, baixa toxicidade *in vivo* e resultados promissores em relação a concentração inibitória mínima e concentração bactericida mínima, frente a patógenos alimentares. Neste, foram quantificadas treze antocianinas e nove compostos fenólicos não antociânicos, por UHPLC/MS, que podem estar associadas aos efeitos

observados. Os filmes obtidos com acetato de celulose (20% e 30% de extrato liofilizado; 20% e 30% flor liofilizada) não mudaram de cor frente a diferentes pHs. No entanto, ocorreu a mudança de cor no extrato, na flor liofilizada e nos filmes quando expostos ao cultivo de bactérias gram-negativas (*S. Typhimurium* e *E. coli*). Os resultados sugerem elevado potencial do extrato e os filmes para estudos futuros de aplicação em embalagens ativas para alimentos, especialmente como marcador de contaminação microbiológica de bactérias gram-negativas.

Palavras-chave: Fenólicos; Toxicidade; Cor; Antioxidante; Microbiologia.

Abstract

GONÇALVES, Glória Caroline Paz. **Cellulose acetate films incorporated with anthocyanic compounds of *Clitoria ternatea* flower extract.** 2023.101f.

Dissertação (Mestrado em Ciência e Tecnologia de Alimentos) – Programa de Pós-Graduação em Ciência e Tecnologia de Alimentos, Faculdade de Agronomia Eliseu Maciel, Universidade Federal de Pelotas, Pelotas, 2023.

The flower of *Clitoria ternatea* is rich in bioactive compounds, mainly non-anthocyanin phenolics and anthocyanin phenolics. The objective of this study was to evaluate the flowers of *Clitoria ternatea* cultivated in the South Region of Rio Grande do Sul, to extract the anthocyanin compounds using an environmentally friendly extraction method, to apply them in cellulose acetate films and to investigate the potential for application of the extract and the films in the food sector. For the optimization of the extraction, the variables time, temperature and volume of extracting solution (acidified water at 1%) were evaluated through a 2^3 factorial design, with central and axial points, on the total anthocyanin content. The extract obtained in the optimal extraction condition was evaluated for chemical composition, non-anthocyanin and anthocyanin phenolic content, reducing capacity, antioxidant activity, in vivo toxicity and activity against gram-positive and gram-negative food pathogens. The cellulose acetate films were produced by the casting technique incorporated with the extract of the flowers of *Clitoria ternatea*, as well as with the lyophilized flowers, in different concentrations, with the purpose of being an indicator of color change, against the change of pHs . The optimal extraction condition was 22.5 mL, 16 min of reaction at 45 °C. The total monomeric anthocyanin contents in the liquid extract were between 450.29 and 554.63 mg/100 g of dry flower. The lyophilized extract was characterized by presenting: reducing capacity of 806.92 mg GAE/100 g, high antioxidant potential, low in vivo toxicity and promising results in relation to minimum inhibitory concentration and minimum bactericidal concentration, against food pathogens. In this, thirteen anthocyanins and nine non-anthocyanic phenolic compounds were quantified by UHPLC/MS, which may be associated with the observed effects. Films obtained with cellulose acetate (20% and 30% lyophilized extract; 20% and 30% lyophilized flower)

did not change color at different pHs. However, a color change occurred in the extract, in the lyophilized flower and in the films when exposed to the culture of gram-negative bacterium (*S. Typhimurium* and *E. coli*). The results suggest a high potential of the extract and the films for future studies of application in active food packaging, especially as a marker of microbiological contamination by gram-negative bacterium.

Keywords: Phenolic; Toxicity; Color; Antioxidant; Microbiology.

SUMÁRIO

1 Introdução	11
2 Hipóteses	15
3 Objetivos	16
3.1 Objetivo geral	16
3.2 Objetivos específicos.....	16
4 Revisão bibliográfica	17
4.1 <i>Clitoria ternatea</i> : características botânicas	17
4.2 Compostos antociânicos	20
4.3 Material polimérico	22
4.4 Embalagens de alimentos.....	24
4.5 Indicador microbiológico	26
5 Artigo 1	27
6 Artigo 2	57
7 Considerações finais	88
8 Referências bibliográficas	90

1. Introdução

A *Clitoria ternatea* tem origem do latim do gênero “clitoria”, o termo advém de uma associação das flores com os órgãos genitais femininos. A planta pertence à família das Fabaceae, é herbácea perene, elíptica e com folhas. É cultivada como planta ornamental, cresce como uma trepadeira ou rastejante, e exige pouco cuidado depois de cultivada. A planta é também conhecida como feijão-borboleta, cunhã, ervilha-borboleta, ismênia e palheteira. É originária de regiões da Ásia tropical e atualmente encontrada em diversas regiões como América do Sul e Central, sudeste asiático, China e Índia (OGUIS et al., 2019). No Brasil, seu cultivo é mais comum em climas tropicais, tanto que seu cultivo e desenvolvimento na Região Sul do Rio Grande do Sul foi inédito no presente estudo, devido ao clima subtropical úmido predominante na localidade.

A planta é de crescimento rápido, vigorosa e possui hastes finas de até 4 metros de altura. A germinação leva de 15 a 20 dias e é de fácil multiplicação por sementes. Os frutos são vagens planas de 5 a 7 cm e comprimento, com 6 a 10 sementes em cada vagem. A principal característica sobre esta planta é a cor de das flores, um azul intenso e vivo com marcações amareladas no centro (OGUIS et al., 2019).

A flor da *Clitoria ternatea* é rica flavonóides e outros compostos fenólicos que tem potencial como biorredutores (KRITHIGA et al., 2015; SYAHIRAH et al., 2018; HAVANDA et al., 2019). Os flavonóis majoritários são ternatina, delfidina, caempferol, quercetina e miricetina (OGUIS et al., 2019). As antocianinas (ternativa e delfinidina) são compostos antioxidantes que quando associados à ingestão em seres humanos, apresentam benefícios para saúde, os quais incluem risco reduzido de doença cardíaca coronária, proteção contra obesidade, hipoglicemia, entre outros (CARDOSO et al., 2011; SANTOS et al., 2014).

As antocianinas, são pertencentes a classe dos flavonóides, constituem grupo de pigmentos polares, solúveis em água e altamente instáveis a temperaturas elevadas, incidência de luz, exposição à oxigênio e são susceptíveis à alteração de estrutura e cor em algumas faixas de pH (CONCENÇO, 2014; SABINO et al., 2021).

Para extrair os compostos antociânicos presentes em diversas matrizes alimentícias, há muitas técnicas que são utilizadas, a técnica convencional mais difundida é a extração com solvente, onde ocorre a combinação de solvente com um processo de aquecimento o qual ocorre a transferência de massa, no entanto, essa técnica apresenta a desvantagem do risco da degradação dos compostos bioativos termolábeis (BARBA et al., 2016; CARVALHO et al., 2018).

As antocianinas ocorrem mais comumente na natureza como glicosídeos de geninas antocianidinas, podendo estar aciladas com ácidos orgânicos como, cumárico, caféico, ferúlico, p-hidroxibenzólico, acético, malônico, succínico, oxálico e ácidos málicos. Sua estrutura geral é derivada o cátion flavílico (KHOO et al., 2017; AZIMA et al., 2017).

As antocianinas podem apresentar diferentes formas estruturais, tais como o cátion flavílico, a base quinoidal, o carbinol e a chalcona. Essas estruturas podem sofrer interferência de diversos fatores, entre estes, temperatura, pH e possíveis ligações com outras substâncias químicas, proporcionando diferentes colorações às antocianinas. O pH é o fator que mais influênciaria na coloração das antocianinas, visto que, em função de sua acidez ou alcalinidade, estas podem apresentar diferentes estruturas. Com o aumento do pH ocorre nas antocianinas a protonação do cátion flavílico e, consequentemente, diminuição do número de ligações duplas conjugadas, que são responsáveis pelo aumento nos máximos de absorção destas substâncias (BORDIGNON, 2009). Diante disso, as antocianinas podem ser utilizadas como indicadores de pH, pelo fato de mudarem de cor de acordo com o pH do meio em que se encontram, variando de tons vermelhos quando em meio ácido e tons verdes quando em meio básico (SHARMA et al., 2013).

Uma aplicação dessas antocianinas na indústria alimentícia, seria o desenvolvimento de uma embalagem inteligente, utilizando o indicador de pH obtido das antocianinas das flores da *Clitoria ternatea* para detectar a presença de deterioração oxidativa e de microorganismos patogênicos em alimentos (SINGH et al., 2021). Contudo, a instabilidade desses compostos na presença de luz, variações de

pH, oxigênio, temperatura e umidade (WADHWA et al., 2017; FONSECA et al., 2020) é um limitador para empregá-los em alimentos. Como alternativa para proteger os compostos bioativos das flores da *Clitoria ternatea* se destaca o uso da nanotecnologia, encapsulação e produção de filmes, áreas que pontuam crescente desenvolvimento em ciência de alimentos (GONZÁLEZ et.al., 2015; HE et. al., 2016; PITAKSUTEEPONG, 2016; SAIDI et. al., 2016; TAN et al., 2016).

Diante das tecnologias que existem na área de alimentos, para proteger esses compostos bioativos, tem-se o uso de polímeros sintéticos. O acetato de celulose é um exemplo de polímero sintético, que é um dos derivados da celulose, componente estrutural de plantas, e pode ser extraído de diversas fontes, como por exemplo do caroço da manga, palha de milho e o mais comum, da madeira. Trata-se de um material promissor, pois é biodegradável e tem a sua utilização em nanofibras, nanocápsulas e em filmes já relatada na literatura (RIBEIRO et al., 2016).

Em relação aos alimentos e a exigência dos consumidores, a indústria constantemente busca por inovações para garantir produto de qualidade e segurança durante seu acondicionamento. Os termos “embalagens ativas” e “embalagens inteligentes” possuem conceitos interligados, pois podem atuar juntas, mas cada uma possui uma ação distinta. No interior de uma embalagem ativa, pode ser adicionado um composto bioativo encapsulado, com atividade antioxidante ou antimicrobiana (WEN et al., 2016). Dessa forma, a embalagem ativa interage com o produto, controlando a sua qualidade, tornando-o seguro e com maior vida útil (MACHADO et al., 2011; BHUSHANI et al., 2014).

As embalagens inteligentes monitoram as condições do alimento e possibilitam uma comunicação com o consumidor informando, por exemplo, o estágio de maturação de um produto, se ele está em condições de ser consumido do ponto de vista microbiológico, dentre outras. Tais embalagens são capazes de identificar possíveis problemas e alterações no produto (MACIEL et al., 2012; RUKCHON et al., 2014). São desenvolvidas utilizando a encapsulação de compostos, uma alternativa para proteger os compostos bioativos termossensíveis (TAN et al., 2016). A maioria

das embalagens inteligentes utiliza sensores simples, como monitores químicos, de temperatura, de pH, microbiológico, entre outros. O indicador de pH colorimétrico tem sido explorado, devido ao seu baixo custo, suas propriedades fáceis de usar e bem caracterizado, que interagem com a atmosfera interna e detectam a presença de gases, umidade e outros marcadores de qualidade (PRIETTO et al., 2017). Elas podem indicar desde oscilações na luminosidade até sobre a qualidade de um alimento, como alterações que indiquem seu vencimento. (PEREIRA et al., 2015).

A maior parte das embalagens convencionais, mais utilizadas pela população mundial, são provenientes de polímeros sintéticos como os derivados do petróleo, os quais não são biodegradáveis, acumulando-se no meio ambiente. Diante dessa preocupação com o impacto dos resíduos gerados, tem-se o uso de materiais biodegradáveis, como os filmes, para novas aplicações na indústria de alimentos (FERREIRA et al., 2012).

Os filmes biodegradáveis podem ser obtidos de fontes animais como quitosana, gelatina, soro do leite, entre outros. E os de fonte vegetal como amido, fécula de mandioca, pectina, zeína e celulose, dentre outros. Os filmes são produzidos por diversos métodos. A técnica de casting é um método simples e consiste em uma suspensão preparada com um polímero, diluído com solvente adequado ao tipo de material polimérico, seguido da adição de um plastificante. A solução é aquecida sob agitação, em seguida, uma quantidade pré-determinada é vestida em placas de petri e secas em estufa com circulação de ar por um tempo e temperatura adequada (GASTI et al., 2022).

2. Hipóteses

Como hipóteses deste trabalho temos que:

- O cultivo da *Clitoria ternatea* na região de Pelotas/RS é possível, embora seja uma planta mais adaptada em clima tropical;
- As flores apresentarão elevado teor de compostos bioativos benéficos, especialmente antocianinas;
- As técnicas de extração verdes, aliadas a otimizações multivariadas, possibilitarão obter um extrato comestível com elevado em compostos antociânicos;
- Os compostos bioativos poderão ser incorporados em alimentos, através da produção de filmes de acetato de celulose pela técnica de *casting*.

3. Objetivos

3.1 Objetivo geral

Estudar as flores da *Clitoria ternatea* cultivadas na Região Sul do Rio Grande do Sul, visando avaliar seu uso potencial na área alimentícia.

3.2 Objetivos específicos

- Otimizar um método ambientalmente amigável para obter um extrato comestível com elevado teor de compostos bioativos;
- Avaliar a composição do extrato obtido quanto ao teor de fenólicos não antociânicos e fenólicos antociânicos, a capacidade redutora, a atividade antioxidante, a toxicidade *in vivo* e atividade frente a patógenos alimentares gram-positivos e gram-negativos;
- Produzir filmes de acetato de celulose pela técnica de casting incorporando o extrato e flores liofilizadas, com a finalidade de ser um indicador que muda de coloração frente a variações de pH do alimento.

4. Revisão bibliográfica

4.1 *Clitoria ternatea*: características botânicas

Cientificamente, a flor da *Clitoria ternatea* atraiu interesse na área de alimentos por possuir compostos antioxidantes e pela sua cor (AB-RASHID et al., 2020; PRABHU et al., 2022). A flor de cor azul brilhante contém uma grande variedade de polifenóis, principalmente antocianinas. Os principais constituintes polifenólicos encontrados nas flores são as antocianinas ternatinas (TAUR et al., 2011; BIYOSHI E GEETHA, 2012; PASUKAMONSET et al., 2016; OGUIS et al., 2019).

A *Clitoria ternatea* produz flores pentámeras zigomórficas em forma de ervilha com um cálice tubular composto por cinco pépalas. A corola é composta por cinco pétalas livres, com um estandarte grande e arredondado, duas asas enrugadas que costumam ter metade do comprimento do estandarte e duas quilhas brancas que auxiliam na proteção dos órgãos florais (BIYOSHI E GEETHA, 2012) (Figura 1A). As corolas são de cor azul escuro, mas também podem ser em branco e vários tons de azul (BIYOSHI E GEETHA, 2012). O diadelphous C. ternatea os estames consistem em 10 filamentos onde nove são fundidos e um é livre (BIYOSHI E GEETHA, 2012). As vagens de *Clitoria ternatea* são estreitas e achatadas com pontas pontiagudas e geralmente contêm cerca de 10 sementes (Figura 1B). A flor produz folhas compostas pinadas que são ovais e inteiras com pontas emarginadas (Figura 1C). As raízes também produzem grandes nódulos para fixação de nitrogênio (Figura 1D).

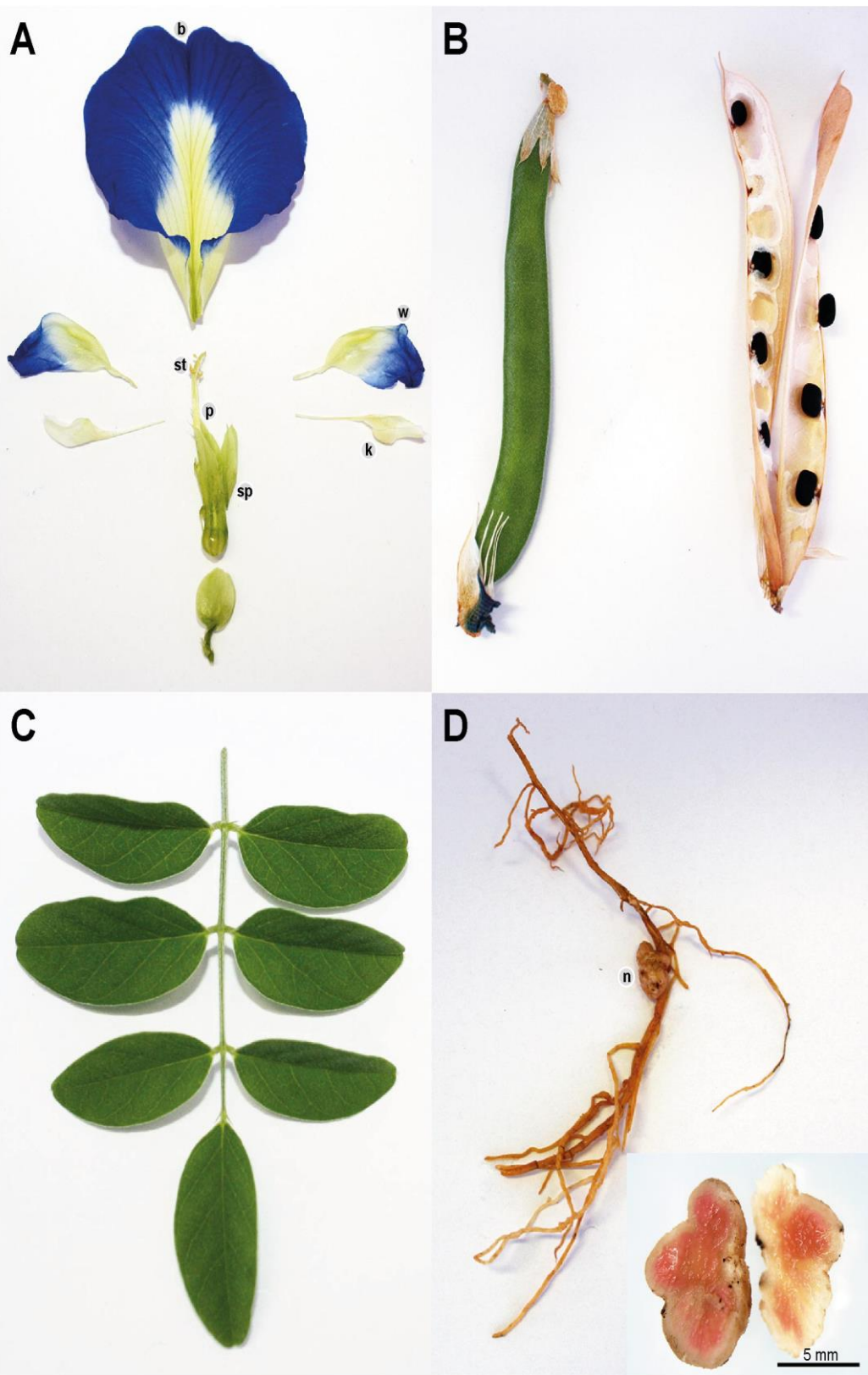


Figura 1. *Clitoria ternatea* (A) flor, (B) vagens, (C) folhas e (D) raízes com nódulos. A flor *Clitoria ternatea* consiste no estame (st), pistilo (p), sépalas (sp) e corola. A corola é composta por cinco pétalas: um estandarte (b), duas asas (w) e duas quilhas (k). *Clitoria Ternatea* possui folhas compostas pinadas, vagens achata das e pontiagudas e raízes que produzem nódulos (n). Fonte: OGUIS, et al., (2019).

A planta ocorre em ambientes tropicais e subtropicais ao redor mundo. A distribuição da *Clitoria ternatea* dá-se ao fato dela ser tolerante a certas condições de seca, não depende de polinizadores específicos para seu desenvolvimento devido a sua autopolinização e capacidade de fixação de nitrogênio. No entanto, na Região Sul do RS, o clima é subtropical úmido, o qual na maior parte do ano é de temperaturas baixas, no inverno, em alguns locais as temperaturas chegam abaixo de zero, característica que não favorece o desenvolvimento ocorrendo até mesmo a senescência.

Na figura 2, observa-se as regiões ao redor do mundo onde encontra-se as cultivares de *Clitoria ternatea*.



Figura 2. Distribuição de ocorrência da planta *Clitoria ternatea*. Os pontos de ocorrência são aproximados. O símbolo "+" representa onde se encontra a planta.

4.2 Compostos antociânicos

O termo “antocianinas” deriva do grego (anthos, uma flor, e kyanos, azul escuro) são pigmentos fenólicos solúveis em água e são atribuídas aos tons vermelho, roxo e azul. São encontradas em diversas flores e frutas (HONGYAN et al., 2012; KHOO et al., 2017; AZIMA et al., 2017). As antocianinas desempenham diversas funções, principalmente quando adicionadas aos alimentos, confere prevenção contra auto oxidação e peroxidação de lipídeos em sistemas biológicos, além de conferir na coloração aos produtos. Porém degradam quando submetidas a altas temperaturas, luz, oxigênio ou mudanças drásticas de pH (SANTOS et al., 2014).

Em solução aquosa, as antocianinas se encontram comumente na forma de uma mistura de diferentes estruturas químicas em equilíbrio: cátion flavilium (vermelho), base anidra quinoidal (azul), pseudo-base carbitol (incolor), e chalcona (incolor ou levemente amarela). A pH abaixo de 2, as antocianinas apresentam-se basicamente na forma catiônica; com o aumento do pH, ocorre uma rápida desprotonação para formar a base quinoidal. Em meio aquoso a hidratação do cátion flavilium leva ao equilíbrio entre a forma carbitol e chalcona. À temperatura ambiente, e em meio levemente acidificado, o equilíbrio entre as formas carbitol e chalcona é muito lento e leva horas para ser atingido. O pH interfere diretamente no equilíbrio das antocianinas, como ilustrado na Figura 1. Em meio ácido ($\text{pH} = 1$), as antocianidinas apresentam coloração na região visível do vermelho (cátion flavílio) e em pH ainda ácido, porém maior ($\text{pH} = 4,5$), as antocianidinas apresentam uma coloração vermelha bem menos intensa, próxima ao incolor (CARDOSO et al., 2011).

Como alternativa para manter os parâmetros dos compostos antociânicos, tem-se a utilização da técnica de casting para produção de filmes carregados de bioativos, que é capaz de manter a proteção de seus compostos, por ser uma técnica que não utiliza altas temperaturas ou pressões na produção (WEN et al., 2017). Desse modo, é viável a incorporação desses filmes ricos em compostos bioativos pela indústria alimentícia, diretamente no alimento e alvo de muitas pesquisas, na parte de embalagens de alimentos (FONSECA et al., 2019b; FONSECA et al., 2021).

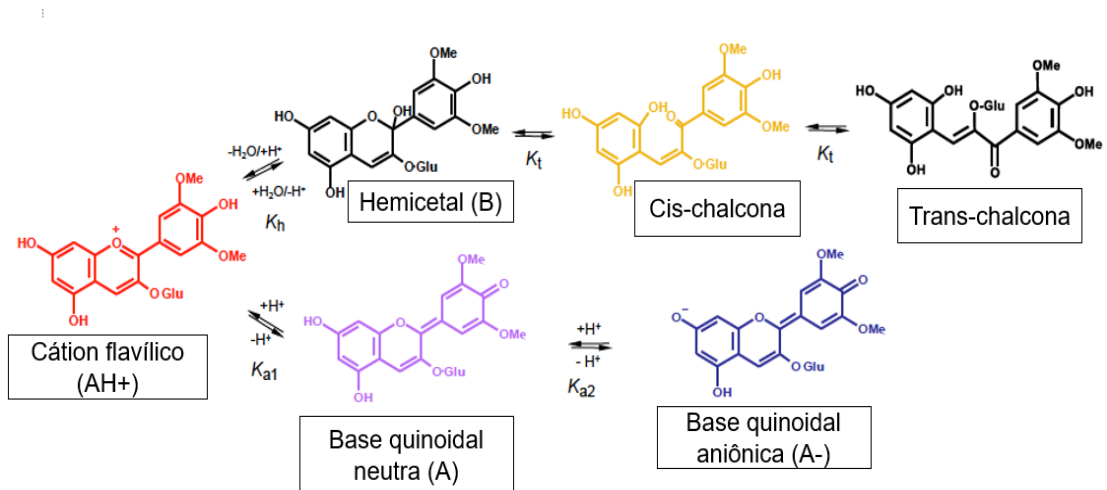


Figura 3. Possíveis transformações estruturais sugeridas para antocianinas em meio aquoso em função do pH. Fonte: FREITAS, 2019.

4.3 Material polimérico

Na produção de filmes pela técnica de *casting* os compostos de interesse (neste caso, os compostos antociânicos) são envolvidos ou revestidos por um material polimérico, resultando na proteção dos compostos de interesse (MENSITIERI et al., 2011; NISTA, 2012; FERREIRA et al., 2016; PEREIRA, 2017). A escolha da matriz polimérica é importante pois deve se incorporar aos compostos bioativos e interagir com eles, não anulando ou degradando os mesmos (CRUZ et al., 2011).

A celulose é um componente estrutural da parede celular de plantas e vegetais, um polímero natural, amplamente distribuído e encontrado na natureza. A celulose tem sido amplamente estudada devido suas características de biodegradabilidade, distribuída em abundância na natureza e modificação química. A celulose pode ser utilizada para adição ou obtenção de filmes, como agentes encapsulantes, aplicação de nanocristais de celulose como aditivo de reforço em embalagens (GONZÁLEZ et al., 2015) e como a aplicação de acetato de celulose no desenvolvimento de filmes biodegradáveis (ASSIS, 2021).

Dentre os polímeros utilizados, o acetato de celulose vem sendo estudado por ser um dos ésteres de celulose mais produzidos. Ele apresenta-se como um polímero amorfó, atóxico e inodoro, com uma grande vantagem em relação à celulose, por ser apto à solubilização em vários solventes. É resistente a ácidos fracos, estável em óleo mineral, e permeável ao vapor de água e de álcool. Além de possuir características biodegradáveis, ou seja, não agredindo o meio ambiente (NISTA, 2012).

Os filmes de acetato de celulose são obtidos pela técnica de casting, sendo estes solubilizados em acetona. Esse biomaterial é capaz de conferir características de filme fino, com estrutura continua, hidrofóbicos, transparente, pouca opacidade e baixa elasticidade. No entanto, todas essas características citadas irão depender da quantidade do polímero, presença de agentes plastificantes e carga de compostos bioativos.

As propriedades e aplicações do acetato de celulose são determinadas pela viscosidade de suas soluções, e pelo grau de substituição do polímero. Acetatos de celulose que tenham grau de substituição entre 0,5-1 são solúveis em água (NISTA, 2012).

Com base no estudo de Neves et al. (2017), o uso do acetato de celulose como material de parede, para liberação controlada em fármacos, obteve-se resultados satisfatórios. De acordo com Cruz et al. (2011), o uso de acetato de celulose oriundo das fibras do caroço de manga, mostrou-se eficiente na interação com a matriz.

Um estudo detalhado de Yan et al. (2012), mostrou a eficiência da técnica de *electrospinning*, utilizando o acetato de celulose como material de parede, para produção de nanofibras de alta qualidade. O objetivo da pesquisa foi utilizar diferentes solventes e comparar qual o melhor resultado.

Na área de alimentos, Wongsasulak et al. (2010) produziu nanofibras comestíveis a partir de albumina de ovo juntamente com acetato de celulose, comestível e eletrofiável, para melhorar a eletrofiação, e o resultado foi a fabricação bem sucedida da mistura de soluções de albumina e acetato de celulose.

Assis (2021) produziu filmes ativos de acetato de celulose com adição de diferentes carotenoides, sendo eles licopeno, norbixina e zeaxantina. O estudo provou que os filmes contribuíram para obtenção de embalagem com atividade antioxidante. No estudo de Carvalho et al. (2018), foi desenvolvido um filme ativo de acetato de celulose incorporados de uma nanosuspensão de curcumina. O resultado do estudo foi a obtenção de filmes pigmentados de amarelo, devido a cor do composto bioativo utilizado.

4.4 Embalagens de alimentos

As embalagens tradicionais desempenham um papel fundamental na conservação dos alimentos (FERREIRA, 2012; SUNG et al., 2013). Dois novos conceitos de embalagens são idealizados para promover proteção adicional e garantia da qualidade dos produtos, são eles o conceito de embalagem ativa e de embalagem inteligente (REALINI et al., 2014). As embalagens inteligentes tem como principal característica monitorar as condições de qualidade dos alimentos, dessa forma, em comparação a uma embalagem tradicional, promovem a função de comunicação com o consumidor (VANDERROOST et al., 2014; GHAANI et al., 2016; MA et al., 2016).

Os sistemas de embalagens inteligentes possuem três principais tecnologias: (I) indicadores, que providenciam mais conveniência e/ou informação aos consumidores a respeito da qualidade do alimento; (II) carreadores de dados, como o código de barras e tags de identificação por rádio-frequência (RFID), que são especificamente direcionados para os propósitos de armazenamento, distribuição e rastreabilidade, e (III) sensores, que permitem uma rápida e definida quantificação de analitos em alimentos (GHAANI et al., 2016).

De acordo com os sistemas de embalagens inteligentes, os mais estudados e constantemente aprimorados são os sensores e indicadores (MOHEBI et al., 2015; SILVA-PEREIRA et al., 2015; GHAANI et al., 2016). Um sensor pode ser definido com um dispositivo utilizado para localizar, quantificar ou detectar energia ou matéria gerando um sinal para a detecção ou para a quantificação de uma propriedade física ou química. Já os indicadores podem ser definidos como substâncias que indicam a concentração, presença ou ausência de substâncias ou o grau de reação entre substância por alterações de características, acima de tudo a cor (BIJI et al., 2015; PEREIRA, 2017).

Os indicadores visuais de pH colorimétrico tem sido amplamente explorados em embalagens inteligentes devido as suas propriedades bem caracterizadas, são de baixo custo e fáceis de usar. São constituídas de pigmentos naturais sensíveis as alterações de pH e são posicionadas no interior da embalagem (RUKCHON et al.,

2014; PRIETTO et al., 2017). O uso desses pigmentos naturais, além e serem obtidos a partir de recursos sustentáveis, com o mínimo de impacto ambiental, apresentam certas vantagens em relação aos sintéticos como: o baixo custo, a não toxicidade, a biodegradabilidade e a ampla disponibilidade na natureza (ISLAM et al., 2013). Um exemplo desses pigmentos, são as antocianinas, as quais são metabólitos secundários encontrados em uma grande diversidade de frutas e vegetais, como exemplo na batata doce, repolho roxo, uvas e, *Clitoria ternatea*. Diversas pesquisas mostram-se promissoras no uso de biopolímeros e antocianinas para produção de sensores de pH, obtidas de repolho roxo e do tegumento do feijão preto (PRIETTO et al., 2017) e também de beterraba e ameixa (CHALES, 2018).

4.5 Indicador microbiológico

As embalagens inteligentes se destacam das demais, por que além de cumprir com o papel de uma embalagem tradicional, tem a capacidade de comunicar o consumidor sobre o estado em tempo real de conservação do alimento, tal comunicação deve ser de fácil interpretação. Essas embalagens proporcionam o conhecimento de fatores como umidade, pH e presença de microrganismos por meio de indicadores incluídos na embalagem (YIN et al., 2023).

Esses indicadores podem indicar alterações químicas ou contaminação por microrganismos em alimentos embalados. Os indicadores comumente utilizados pelas indústrias são os corantes sintéticos, os quais são sensíveis ao pH, ocorrendo a mudança de coloração (YIN et al., 2023; ROY&RHIM, 2021). No entanto esses corantes são agressivos ao meio ambiente e principalmente nocivos à saúde humana, são tóxicos e cancerígenos.

Atualmente, há estudos onde utilizam pigmentos naturais em embalagens inteligentes, como a curcumina e a antocianina. A forma que vem sendo amplamente estudada para utilizar indicadores em embalagens inteligentes, é o uso de filmes carregados com compostos bioativos, os quais são responsáveis pela cor e expostos a diferentes condições, mudam a cor para avaliar o estado de frescor do alimento. No entanto, não há na literatura filmes de acetato de celulose incorporados com compostos antociânicos obtido das flores da *Clitoria ternatea*, como indicador de cor para embalagens de alimentos para garantia da qualidade.

5. Artigo 1

¹GONÇALVES, G.C.P., ¹ROSAS, A.L.G., ¹SOUZA, R.C., ¹VIEIRA, T.R.R., ¹SOUZA, T.C.A., ¹RAMIREZ, T., ²SILVEIRA, T.F.F., ³BARROS, L., ¹SILVA, W.P., ¹DIAS, A.R.G., ¹ZAVAREZE, E.R., ¹MEINHART, A.D.

Green method for extraction of anthocyanins from the flowers of *Clitoria ternatea* cultivated in southern Brazil: characterization, in vivo toxicity and biological activities.

Enviado a Food Chemistry.

¹ Universidade Federal de Pelotas (UFPel), ² Laboratório Associado para a Sustentabilidade e Tecnologia em Regiões de Montanha (SusTEC), Instituto Politécnico de Bragança, Portugal,³ Centro de Investigação de Montanha (CIMO), Instituto Politécnico de Bragança, Portugal

1 **ABSTRACT**

2 The study aimed to develop a green method to obtain an anthocyanin-rich edible
3 extract of *Clitoria ternatea* flowers grown in Pelotas (southern Brazil). The extract was
4 characterized by UHPLC-MSⁿ and analyzed for toxicological potential in an *in vivo*
5 model, reducing capacity, and antioxidant and antimicrobial activities. By using a
6 complete 2³ multivariate design to study the effects of temperature, acidified solvent
7 volume, and time on the total anthocyanin content and reducing capacity, it was
8 possible to determine the optimal point (45 °C, 16 min, and 22.5 mL). Thirteen
9 anthocyanins and eight non-anthocyanins were quantified. *In vivo* toxicity assay using
10 *Galleria mellonella* showed a safe concentration when administered up to 2.2 g of
11 lyophilized extract per body kg. The extract showed antioxidant activity and relevant
12 antibacterial action against three food pathogens, and the method proved to be fast,
13 straightforward, and have a low environmental impact, in addition to producing an
14 extract with high potential for application in food.

15 **Keywords:** anthocyanins, phenolics, toxicity, antimicrobial action.

16

17

18

19

20

21

22

23

24

25

26 **1 INTRODUCTION**

27 *Clitoria ternatea*, commonly known as butterfly bean or butterfly pea, is a plant
28 native to tropical Asia; it belongs to the *Fabaceae* family and is classified as a fast-
29 growing vine with germination in 15–20 days and thin stems that grow up to 4 m high
30 (Oguis et al., 2019). It is a tropical plant cultivated in full sun with intense flowering;
31 there is no requirement for fertile soils, and it can be cultivated in soils of moderate
32 fertility, especially clayey ones. Moreover, this tropical plant tolerates short drought
33 periods, and watering should be carried out regularly (Dhanasekaran et al., 2019).

34 In Brazil, *C. ternatea* is cultivated in different regions, especially in warm
35 climates. In southern Rio Grande do Sul State (RS), the climate is predominantly
36 subtropical, characterized by well-defined seasons, and has significant temperature
37 variations. The winter season varies, with average temperatures ranging from 4 to 18
38 °C and sporadic frosts; because of this, the plant can only be cultivated in the spring
39 and summer. In the literature, there is no data on the cultivation and composition of the
40 flower in the southern region of RS.

41 *C. ternatea* has several applications in the medicinal area, such as therapy
42 (Dhanasekaran et al., 2019; Escher et al., 2020; Prabhu et al., 2022), in agriculture as
43 a forage plant, and in the food industry as antioxidant and antimicrobial compounds
44 (Mehmood et al., 2019). *C. ternatea* flowers are rich in phenolic compounds, which
45 have bioactive potential (Jeyaraj et al., 2021), and the main anthocyanins are known
46 as ternatins (compounds derived from delphinidin); the flavonols are kaempferol,
47 quercetin, and myricetin (Oguis et al., 2019). Their petals have vivid blue coloration,
48 indicating the presence of anthocyanins, more notably ternatins, which constitute a
49 family of compounds derived from delphinidin 3,3',5'-triglycoside. This basic structure
50 is modified by acylation and glycosylation (i.e., malonylated with D-glucose (G) and
51 malonate (M) in position 3, alternating with D-glucose and p-coumaric acid (C) in
52 positions 3' and 5' of the lateral chains (Terahara et al., 1996, 1998).

53 Anthocyanins are present in fruits, vegetables, and flowers and are widely
54 distributed in nature; their colors vary from red, purple, and blue. They belong to the
55 flavonoid class, are polar pigments, soluble in water, highly insoluble to luminosity,
56 heat, and oxygen exposure, and susceptible to variations in some pH ranges (Azima

57 et al., 2017; Sabino et al., 2021). When added to foods, anthocyanins confer
58 antioxidant activity and interfere with the color of the products (Azima et al., 2017).

59 Anthocyanins' low stability against external factors (e.g., luminosity and heat)
60 interfere with extraction since, despite high temperatures optimizing their extraction,
61 they reduce their stability or even degrade them. Therefore, optimizing the time,
62 temperature, and solvent volume during extraction is crucial to minimize time and
63 maximize extraction capacity (Urso et al., 2023).

64 The efficiency of the anthocyanin extraction method is correlated with the
65 composition of the extraction solution, quantity of the solution, amount of raw material,
66 temperature, and extraction time, among other factors. One of the most employed
67 strategies to maximize bioactive compound yields of plant material is by using
68 multivariate design (Oguis et al., 2019; Jeyaraj et al., 2021).

69 The use of methods that do not use toxic solvents is a recurring topic in research
70 since these solvents harm the environment and handlers' and consumers' health.
71 Thus, using methods with green solvents has been stimulated over the years. These
72 techniques reduce or even eliminate the use of toxic and harmful products, leading to
73 more sustainable technologies and renewable raw materials (Jeyaraj et al., 2021).

74 Given the above, this study aimed to optimize anthocyanin extraction in the
75 flower extract of *Clitoria ternatea* using acidified water at 1% as a solvent, obtaining an
76 edible extract. A 2^3 multivariate design was employed to optimize the time,
77 temperature, and volume of the extraction solution in total anthocyanin extraction and
78 reducing capacity. At the optimal extraction point, we analyzed the total monomeric
79 anthocyanins, reducing capacity, antioxidant activity, anthocyanin characterization,
80 toxicity in *Gallerias mellonella*, and antimicrobial activity in pathogenic bacteria.

81

82 **2 MATERIALS AND METHODS**

83 **2.1 Reagents**

84 The reagents used were anhydrous citric acid PA (Tech Profile, CAS 77929),
85 Folin-Ciocalteu phenol reagent (2 mol L⁻¹) (Scientific Exodus, Brazil), sodium
86 carbonate (Synth, Brazil), gallic acid (Dynamics, Brazil), 2,2'-azino-bis(3-
87 ethylbenzothiazoline) 6-sulfonic acid (ABTS) (Sigma Aldrich, CAS 30931-67-0, USA),
88 2,2-diphenyl-1-picrylhydrazyl (DPPH) (Sigma Aldrich, CAS 1898-66-4, India),

methanol (Scientific Exodus, CAS 67-56-1, Brazil), potassium persulfate (Synth, Brazil), ethyl alcohol (Dynamics, Brazil), gentamicin (10 µg) (Sensifar), and potato dextrose broth (KASVI, Brazil).

92

93 **2.2 *Clitoria ternatea* flower samples**

94 *C. ternatea* flowers were harvested in a field in the municipality of Capão do
95 Leão (31°47'55.8"S 52°25'06.7"W) in RS, southern Brazil. The seeds were provided
96 by a producer from Americana (São Paulo State, Brazil) and grown in a flower bed in
97 full sun during October 2021. The land was prepared using a layer of sand, earth,
98 fertilizer (NPK (S) 10.20.20 (2)), and quicklime. When the seedlings reached 30 cm,
99 their stems were suspended in string wire so the plant could thrive. The maintenance
100 of the flower bed and management of the plants were done every 15 days, and the
101 watering and harvesting of the flowers were done daily. The flowers were harvested
102 between December 2021 and April 2022.

103 *C. ternatea* flowers were dried in a lyophilizer (Liopat K 180) and ground in a
104 grinder (Boca Raton, USA) until a 200-mesh granulometry. The sample was stored in
105 a freezer (-18 °C) in packages protected from light, oxygen, and moisture until analysis.
106

107 **2.3 Optimization of anthocyanin compound extraction from *C. ternatea* flowers**

108 The extraction was optimized through a 2³ complete multivariate design, with
109 central and axial points, totaling 17 experiments. The variables investigated were
110 temperature (30–60 °C), water volume containing 1% citric acid (5–40 mL), and
111 agitation time in a water bath (2–60 min, values corresponding to axial points -1.68 and
112 +1.68, respectively). The complete matrix is listed in Table 1. All experimental
113 conditions were performed in duplicate, and the central point was performed in
114 sextuplicate.

115 The dependent variables were the total monomeric anthocyanin content and
116 reducing capacity by the Folin-Ciocalteu method. Extraction was performed according
117 to the method of Lee et al. (2005), with some adaptations. In summary, 0.1 g of a
118 freeze-dried sample was added from the extraction solution (composed of acidified
119 water with 1% citric acid) to falcon tubes in volumes. The acid was chosen based on
120 preliminary tests with tartaric, malic, ascorbic, and citric acids, and we observed that

121 citric acid had the best cost-benefit. The tubes were taken to a water bath (Velp
122 Scientifica, Enzymatic Digester-GDE, Italy) with agitation at 300 rpm and with
123 temperature and time according to multivariate design. The liquid extracts were then
124 filtered in Whatman paper filters and analyzed for total anthocyanins and reducing
125 capacity.

126 The results were analyzed regarding the possibility of model adjustment through
127 analysis of variance (ANOVA) to predict the optimal extraction conditions. The optimal
128 extraction condition was repeated four times, and its extract was lyophilized and taken
129 for anthocyanin and non-anthocyanin compound identification and quantification by
130 UHPLC-MSⁿ and analysis of *in vivo* toxicity, antioxidant activity, reducing capacity, and
131 antimicrobial activity (in pathogenic food bacteria).

132

133 **2.4 Total monomeric anthocyanins and extract reducing capacity in the 134 extraction optimization process**

135 The total monomeric anthocyanin content was determined according to Lee et
136 al. (2005). The filtered extracts were evaluated in a spectrophotometer (6705 UV/VIS
137 Spectrophotometer JENWAY) at 520 nm for anthocyanins. The total monomeric
138 anthocyanins were calculated by Lambert-Beer's law and expressed in mg/g of
139 cyanidin-3-glucoside.

140 The reducing capacity was determined by the Folin-Cicalteau method as per
141 Lee et al. (2005), with adaptations. A 0.25-mL sample/standard/extraction solution
142 aliquot was added to 1.25 mL of Folin-Ciocalteu 0.2 mol/L reagent solution, followed
143 by agitation for 10 s and rest for 5 min in the dark. Then, 1 mL of sodium carbonate
144 solution 7.5% was added, stirred for 10 s, and left in the dark for 120 min. Finally, the
145 reading was performed at 760 nm in a spectrophotometer (6705 UV/VIS
146 Spectrophotometer JENWAY) while considering the white color. The results were
147 expressed in mg equivalents of gallic acid (mg GAE) per 100 g of *C. ternatea* sample.
148

149 **2.5 Evaluations of lyophilized extract obtained at the optimal extraction point**

150 The optimal extraction conditions enabled us to obtain 5.78 g of lyophilized
151 extract per 100 g of dry flower.

152

153 **2.6 Anthocyanin identification and quantification by high-efficiency liquid**
154 **chromatography coupled to mass spectrometry**

155 Chromatographic anthocyanin separation was achieved with a Waters
156 Spherisorb S3 ODS-2 C18 (3 µm, 4.6 × 150 mm, Waters, Milford, MA, USA) column
157 at 35 °C. The solvents used were: (A) 0.1% trifluoroacetic acid (TFA) in water and (B)
158 acetonitrile. The gradient elution followed these parameters: 10% B for 3 min, from 10
159 to 15% B for 12 min, 15% B for 5 min, from 15 to 18% B for 5 min, from 18 to 30% B
160 for 20 min, from 30 to 35% B for 5 min, and from 35 to 10% B for 10 min. The total run
161 time was 60 min, followed by column reconditioning of 10 min using a flow rate of
162 0.5 mL/min. Double online detection was carried out in a diode array detector (DAD)
163 using 520 nm as the preferred wavelength and in a mass spectrometer (MS)
164 connected to high-efficiency liquid chromatography (HPLC) system via the DAD cell
165 outlet. Mass spectrometry (MS) detection was performed in positive mode using a
166 Linear Ion Trap LTQ XL mass spectrometer (Thermo Finnigan, San Jose, CA, USA)
167 equipped with an ESI source. Nitrogen served as the sheath gas (50 psi); the system
168 was operated with a spray voltage of 4.8 kV, a source temperature of 320 °C, and a
169 capillary voltage of 14 V. The tube lens offset was kept at a voltage of 75 V. The full
170 scan covered a mass range from 100 to 2000 m/z. The collision energy used was
171 normalized (30%), and data acquisition was carried out using the Xcalibur® software
172 (Thermo Finnigan, San Jose, CA, USA).

173 Chromatographic analysis of the phenolic compounds was performed in a
174 Dionex Ultimate 3000 UHPLC (Thermo Scientific, San Jose, CA, USA) equipped with
175 a DAD coupled to an electrospray ionization mass detector (LC-DAD-ESI/MSⁿ), a
176 quaternary pump, an auto-sampler (kept at 5 °C), a degasser, and an automated
177 thermostatted column compartment. Chromatographic separation was performed with
178 a Waters Spherisorb S3 ODS-2C18 (5 µm, 4.6 × 150 mm, Waters, Milford, MA, USA)
179 column thermostatted at 35 °C. The solvents were: (A) 0.1% formic acid in water and
180 (B) acetonitrile. The elution gradient established was isocratic 15% B (5 min), 15 to
181 20% B (5 min), 20–25% B (10 min), 25–35% B (10 min), 35–50% B (10 min), and re-
182 equilibration of the column using a flow rate of 0.5 mL/min. Double online detection
183 was carried out in the DAD using 280, 330, and 370 nm as the preferred wavelengths
184 and in an MS connected to the HPLC system via the DAD cell outlet. The MS detection

185 was performed in negative mode using a Linear Ion Trap LTQ XL MS
186 (ThermoFinnigan, San Jose, CA, USA) equipped with an ESI source. Nitrogen served
187 as the sheath gas (50 psi); the system was operated with a spray voltage of 5 kV, a
188 source temperature of 325 °C, and a capillary voltage of -20 V. The tube lens offset
189 was kept at a voltage of -66 V. The full scan covered the mass range from 100–2000
190 m/z. The collision energy used was normalized (30%). Data were acquired using the
191 Xcalibur® software (ThermoFinnigan, San Jose, CA, USA).

192 The phenolic compounds (anthocyanins and non-anthocyanins) were identified
193 using standard compounds, when available, by comparing their retention times, UV-
194 vis, and mass spectra and the obtained information with data in the literature, giving a
195 tentative identification. A calibration curve for each available phenolic standard was
196 constructed based on the UV signal for the quantitative analysis. For the identified
197 phenolic compounds for which a commercial standard was unavailable, quantification
198 was performed through the calibration curve of the most similar available standard.
199

200 **2.7 *Galleria mellonella* toxicity assay**

201 The toxicity of the extract was evaluated using the *in vivo* model in *Galleria*
202 *mellonella*, according to Sardi et al. (2017), with some adaptations. To determine the
203 quantity required to kill ≥50% of the organisms (i.e., the lethal dose [LD₅₀]), ten dilutions
204 of the optimum point of the lyophilized extract diluted in distilled water were selected.
205 The concentrations used were: 10, 25, 40, 55, 70, 85, 100, 115, 130, and 145 mg/mL
206 of extract in water. A control with distilled water was used, and *G. mellonella* larvae
207 (bodyweight: 0.20–0.30 g) were randomly chosen, and 15 healthy larvae (no signs of
208 melanization) were separated for each concentration. A 10-µL aliquot of the solutions
209 was injected into the abdominal hemocoel (where there is greater blood flow) of *G.*
210 *mellonella* in the penultimate pseudo paw on the left using a Hamilton microsyringe for
211 gas chromatography. The *G. mellonella* were incubated in a BOD greenhouse at 30
212 °C and monitored by counting after 24, 48, and 72 h.
213

214 **2.8 Antioxidant activity**

215 The antioxidant activity of the *C. Ternatea* flower extract at the optimal extraction
216 point was determined by the DPPH and ABTS methods. The DPPH method, which is

217 the ability to donate hydrogen atoms by the compounds in the sample, was performed
218 according to Vinholes et al. (2011, 2014). The DPPH stock solution was prepared with
219 24 mg of DPPH in 100 mL of methanol; the absorbance was then adjusted between
220 1.10 ± 0.02 to 515 nm in a microplate spectrophotometer. Then, 20 µL of the sample
221 was added to a 96-well microplate, and the solvent was used to obtain the extract for
222 the control and 200 µL of DPPH solution. The plates were shaken and kept in the dark
223 for 30 min, and reading was performed on a Spectra Max 190 plate reader at a
224 wavelength of 515 nm. The results were expressed as capturing the DPPH free
225 radicals using Equation 1:

$$I (\%) = \frac{A_{control} - A_{sample}}{A_{control}} \times 100 \quad \text{Equation 1}$$

227 Where $A_{control}$ is the absorbance of the control reaction (containing all reagents
228 except the extract) and A_{sample} is the absorbance of the tested extract in the reaction
229 mixture. The ABTS free radicals were analyzed according to the method of Re et al.
230 (1999); 30 µL of extract and ethyl alcohol (white) were added to 3.0 mL of ABTS
231 solution, mixed in a vortex for 30 s, and kept in the dark for 30 min (room temperature
232 of 25 ± 2 °C). The reading was performed in a spectrophotometer at 734 nm. The
233 results were expressed as a percentage of inhibition calculated by Equation 2, where
234 Abs_{white} is the absorbance of ethanol and Abs_{sample} is the absorbance of the extract
235 reaction.

$$I (\%) = \frac{(Abs_{white} - Abs_{sample})}{Abs_{sample}} \times 100 \quad \text{Equation 2}$$

237

238 **2.9 Antibacterial action**

239 The *C. ternatea* flower extract was diluted in 1 mL of sterilized distilled water,
240 and the final concentration of the extract was 1460 mg mL⁻¹. Antibacterial activity was
241 evaluated against three important food pathogens: *Staphylococcus aureus* (ATCC
242 25923), *Salmonella Typhimurium* (ATCC 14028), and *Escherichia coli* (ATCC 25922),
243 according to the methods of the Clinical Laboratory Standard Institute (CLSI, 2018).
244 The strains were grown in tryptone soybean agar (Acumedia, USA) and incubated at
245 37 °C for 24 h under aerobic conditions. The inoculum was standardized at the
246 concentration of 10⁸ CFU mL⁻¹ and sown in Petri dishes containing Mueller-Hinton agar
247 (Kasvi, Brazil). Sterilized paper filter discs (6 mm), impregnated with 20 µL of the

248 extract, were placed in the agar and incubated at 37 °C for 24 h. Positive control discs
249 of streptomycin (10 µg) were used, and negative control discs were impregnated with
250 sterilized water and citric acid at 1%. The test was performed in duplicate, and an
251 inhibition halo around the discs indicated antibacterial activity. The results were
252 expressed as the mean diameter of the inhibition zones.

253

254 **2.10 Minimum inhibitory and bactericidal concentrations**

255 The minimum inhibitory concentration (MIC) was determined by initially
256 preparing bacterial suspensions of the three pathogens according to the 0.5 McFarland
257 scale ($\approx 10^8$ CFU mL $^{-1}$). The suspensions were then prepared with a concentration of
258 10 6 CFU mL $^{-1}$ in sterilized Mueller-Hinton broth. From this inoculum, 50 mL were added
259 to each well of a 96-well microplate, and the extract was evaluated at different
260 concentrations (25, 12.5, 6.25, 3.13, 1.6, 0.78, 0.39, and 0.19% in relation to the initial
261 extract concentration of 1460 mg mL $^{-1}$). The microplates were incubated for 24 h at 37
262 °C. The MIC of a compound is defined as the lowest concentration capable of inhibiting
263 bacterial growth without any visible growth after 24 h of incubation.

264 To determine the minimum bactericidal concentration (MBC), the wells that
265 showed no visible multiplication were collected and sown in Mueller-Hinton agar. The
266 plates were then incubated under aerobic conditions for 24 h at 37 °C. Thus, we verified
267 the appearance of colonies in the plates, evidencing there were viable cells in the wells.
268 The MBC is the lowest concentration in which 99.9% of the cells initially inoculated
269 were inactivated. Thus, the concentrations that did not obtain cell culture indicated
270 bactericidal activity. Both experiments were carried out in triplicate.

271

272 **3. Statistical analysis**

273 Statistical analyses were performed by ANOVA at the 95% confidence level
274 using the Estatística 7.0 and Design Expert 6.0.4 software.

275

276 **4. RESULTS AND DISCUSSION**

277 **4.1 Extraction condition optimization**

278 The results obtained through experimental planning are listed in Table 1. The
279 variables evaluated (temperature, volume, and time) were not significantly different, so

280 all studied levels could be used to optimize the extraction time. The coefficient of
281 variation of the central point was 10.17% for the total monomeric anthocyanins and
282 9.87% for the reducing capacity, which are accepted values for analyses at this
283 concentration. This indicates no false negatives in the fit and significance tests.
284 Therefore, the central point (45 °C, 22.5 mL of extraction solution, and 16 min of
285 agitation) was chosen as the optimal extraction point.

286 The total monomeric anthocyanin values under the different conditions ranged
287 from 433.89 to 570.31 mg/100 g of flower. For reducing capacity expressed by the
288 Folin-Cicalteau method, there was a variation between 1470.00 and 2904.51 mg
289 GAE/100 g of flower. In the optimization of Santos et al. (2023) for commercially
290 acquired *C. ternatea* samples, the authors concluded that the optimal extraction
291 condition was 45 °C, 30 min, and ultrasound potency of 350 W; the authors found
292 values slightly lower than our study for total monomeric anthocyanins (301.09–353.02
293 mg per 100 g of flower) and reducing capacity by the Folin-Cicalteau method (24.41–
294 30.00 mg GAE/100 g). Escher et al. (2020) quantified the total anthocyanins of the
295 aqueous extract of *C. ternatea* flowers grown in Campo Grande (Mato Grosso do Sul
296 State, Brazil) at 11.7 °C for 30 min and 20 °C for 15 min, and obtaining 31.8 mg/g and
297 40.5 mg/g.

298 As demonstrated herein, *C. ternatea* flowers are rich in anthocyanins, which are
299 classified into three types: unacylated, monoacylated, and polyacylated.
300 Polysocylades are the anthocyanins in *C. ternatea* and are highly soluble in water,
301 demonstrating high stability (Oguis et al., 2019; Netravati et al., 2022; Thuy et al., 2022;
302 Santos et al., 2023). Because anthocyanins are thermolabile pigments, a high
303 anthocyanin content will not be obtained if the extraction time is too short due to the
304 low permeation capacity of the extraction solution. Nevertheless, they can degrade if
305 extraction times are too long (Netravati et al., 2022).

306

307 **Table 1**

308

309 **4.2 Characteristics of the extract obtained at the optimal extraction point**

310 **4.2.1 Identification and quantification of major anthocyanins by UHPLC-MSⁿ**

311 The composition of anthocyanins of lyophilized *C. ternatea* flower extracts is
312 presented in Table 2. The extraction was performed in the optimal condition obtained
313 by multivariate design under the conditions of 45 °C, 16 min, and 22.5 mL of distilled
314 water acidified with 1% citric acid.

315 Thirteen major anthocyanins were identified in the *C. ternatea* flower extract
316 (Table 2), including fragmentation patterns obtained in sequential mass spectrometry,
317 which were all assigned as ternatins. The identity of each compound was designated,
318 when possible, based on their chromatographic behavior and UV-Vis characteristics
319 and the studies of Terahara et al. (1996, 1998), who isolated and elucidated the
320 structure of ternatins A1, A3, B2–B4, D2, D3, and C1–C5. All compounds showed
321 typical anthocyanin-like Uv-Vis spectra with a maximum wavelength in the range
322 reported for ternatins (532–548 nm) (Terahara et al., 1996, 1998).

323 Compound 1 showed [M]+ with *m/z* at 1183 yielded fragments at *m/z* 935 [M-G-
324 malonate]+, 773 [M-2G-M]+, 465 [M-2G-malonate-G-C]+, and 303, which could be
325 assigned as delphinidin. From this data, compound 1 was tentatively designated as
326 ternatin 4. Compound 2 presented [M+H]+ at *m/z* 1491 and major fragments at *m/z*
327 1243, 1081, and 773, evidencing the successive loss of malonate with glucose (248
328 Da), glucosyl (162 Da), and glucosyl with coumaroyl (308 Da), being tentatively
329 assigned as ternatin A3 (Terahara et al., 1996).

330 Peaks 3 and 11, which showed [M]+ with *m/z* at 1329, yielded fragment ions at
331 *m/z* 1081 [M-G-malonate]+, 919 [M-2G-malonate]+, 773 [M-G-M-G-C]+, 303
332 (corresponding to delphinidin), and were identified as ternatin C1 and B4, respectively.
333 These isomers were differentiated based on their Uv-Vis spectra, which gave a
334 maximum absorption at 537 nm for ternatin C1, and 546 for B4, corroborating Terahara
335 et al. (1998) for these compounds (0.01% HCl-MeOH).

336 Peak 4 was designated as ternatin C3 due to its molecular ion [M]+ at *m/z* 1021
337 and its fragmentation pattern, which is in agreement with compounds 1–3, yielding ions
338 with *m/z* 773, 611, 465 (M-G-M-G)+, and delphinidin at *m/z* 303 [M-G-M-G-G-C]+, and
339 with previous studies (Terahara et al. 1996). Compound 5 showed molecular ion [M]+
340 of *m/z* 1799, which matches that of ternatin A2 (Terahara et al., 1996). Moreover, the
341 produced ion fragments (1551, 1389, 1243, and 1081) revealed the pattern [M-G-
342 malonate]+, [M-2G-malonate]+, [M-3G-malonate-C]+, and [M-4G-malonate-C]+,

343 corroborating that these groups come from positions 3, 3', and 5' in the delphinidin
344 structure.

345 Compounds 6–13 showed molecular ions with [M+] *m/z*, corroborating the
346 findings of Terahara et al. (1996, 1998) and other authors who also found ternatins in
347 *C. Ternatea* (Escher et al., 2020; Nair et al., 2015). Although they varied in glucose
348 and acylation quantities, they produced similar patterns of losses of groups G, C, and
349 malonate or gave *m/z* at 303, suggesting the presence of delphinidin. Together, these
350 data suggest they were linked to positions 3, 3', and 5' in the delphinidin structure.
351 Thus, they were tentatively identified as ternatin D3 (peak 6), ternatin B3 (peak 7),
352 ternatin B2 (peak 9), ternatin B1 (peak 11), ternatin D2 (peak 12), and ternatin D2
353 (peak D1). Isobaric ternatins B2 and B3 were identified according to their elution order
354 in the reverse phase (Vuong et al., 2021).

355 PRADO et al. (2019) for the extraction of anthocyanin compounds, the author
356 produced the extract of the flowers of *Clitoria ternatea* under the conditions of 60 °C
357 for 20 min, using water and methanol. It identified eight compounds, including ternatine
358 B2 and D2 and quantified 72.54 mg/g, 66.89 mg/g, respectively. The quantification for
359 ternatin B2 and D2 in the study were 57.94 mg/g and 32.52 mg/g, respectively.

360

361 4.2.2 Identification of major non-anthocyanins by UHPLC-MSⁿ

362 The composition non-anthocyanins of lyophilized *C. ternatea* flower extracts is
363 presented in Table 3. The extraction was performed in the optimal condition obtained
364 by multivariate design under the conditions of 45 °C, 16 min, and 22.5 mL of distilled
365 water acidified with 1% citric acid.

366 Nine non-anthocyanins were identified, and the fragments obtained are listed in
367 Table 3 and based on their chromatographic behavior, UV-Vis spectra, and
368 fragmentation pattern. All of them were flavonoids and belonged to the flavonol
369 subclass.

370 Peak 1 showed a deprotonated molecular ion [M-H]⁻ at *m/z* 755 and fragments
371 at *m/z* 609 [M-H-146] and 301 [M-H-146-146-162], suggesting the loss of two
372 deoxyhexoses (146) and one hexose moieties. The *m/z* at 301 represented the
373 aglycone and showed typical fragments of quercetin (*m/z* 271, 255, 151, and 179). The
374 mentioned neutral losses indicate O-glycosylation, and the presence of the aglycone

375 as a base peak in MS² suggests that these sugars were O-diglycosides. Thus, based
376 on the data and previous studies that found this compound in *C. ternatea*, peak 1 was
377 assigned as quercetin-O-rhamnosyl rutinoside (Escher et al., 2020; Nair et al., 2015).

378 Compounds 3 and 5, with molecular ions at *m/z* 609, showed ions at *m/z* 300
379 and 301, indicating a neutral loss of 308 Da, which is typical of deoxyhexose with
380 hexose moieties. Peak 5 was identified as rutin (quercetin 3-O-rutinoside) by
381 comparing its UV-Vis spectra, retention time, and fragmentation pattern with an
382 authentic standard. Peak 3 was inferred as quercetin-O-neohesperidoside based on
383 elution order and the produced ions (Chen et al., 2015). Evidence has shown that
384 rutinosides mostly favor the complete loss of the disaccharide unit ([M-H-308]), yielding
385 a higher abundance of aglycone peak than for neohesperidosides (Abdelaziz et al.,
386 2020; Rodríguez-Rivera et al., 2014). Moreover, neohesperidosides present more
387 fragment ions due to a series of ring-cross cleavage reactions in the partial glycan
388 structure (Rodríguez-Rivera et al., 2014), here appearing as *m/z* 446, 489, and 343.

389 Peak 6 presented [M-H] - at *m/z* 695 and produced similar fragmentation to
390 compound 3, showing the loss of 308 Da and the aglycone at *m/z* 301. The mass
391 difference between peaks 3 and 6 is 86 Da, with *m/z* at 651 [M-H-CO₂] - and 609 [M-
392 H-86], suggesting the presence of a malonyl group. Thus, based on data and the
393 findings of Kazuma et al. (2003), compound 6 was designated as quercetin 3-O-(2"-O-
394 α-rhamnosyl-6"-O-malonyl) - β-glucoside. Quercetin 3-O-glucoside (peak 7, with
395 molecular ion at *m/z* 463 and main fragment at *m/z* 300) was identified by comparison
396 with an authentic standard.

397 Peak 2 showed a deprotonated molecular ion at *m/z* 625 and a main fragment
398 at *m/z* 317, resulting from the loss of 308 Da. This compound was tentatively assigned
399 as myricetin rutinoside. Peak 4 had deprotonated molecular ions at *m/z* 739 and
400 underwent neutral losses of 146 Da (yielding *m/z* 593) and 308 Da (giving aglycone
401 with *m/z* 285). The aglycone was identified as kaempferol according to diagnostic
402 fragments (*m/z* 255 and 227).

403 Compound 4 was identified as kaempferol-O-rhamnosyl rutinoside (Kazuma et
404 al., 2003). Peak 7 showed [M-H]⁻ at *m/z* 593 and produced a main ion at *m/z* 285 after
405 the neutral loss of 308 Da. The mass difference between compounds 4 and 7 is 146
406 Da, suggesting the absence of rhamnose moiety in the latter. Peak 6 was inferred as

407 kaempferol 3-O-neohesperidoside, as its retention time unmatched that of authentic
408 standards of kaempferol 3-O-rutinoside (which also bears deprotonated molecular ion
409 at *m/z* 593). Moreover, it presented a significant fragment at *m/z* 429 [M-H-164] due to
410 the loss of a rhamnose moiety, which is characteristic of kaempferol 3-O-
411 neohesperidoside (Kite et al., 2009).

412 Compound 8, with deprotonated molecular ions at *m/z* 679, produced ions at
413 *m/z* 635 [M-H-44], 593 [M-H-86], and 285 [M-H-86-146-162], evidencing the presence
414 of malonyl, deoxyhexose, and hexose moieties. Based on these characteristics and
415 the findings of Kazuma et al. (2003), this compound was identified as kaempferol 3-O-
416 (2"-O- α -rhamnosyl-6"-O-malonyl)- β -glucoside.

417 AZIMA et al. (2017) for extracting the flowers of *C. ternatea* obtained from
418 Santan, Perlis, Malaysia, produced the extract in distilled water stirring for 10 min at a
419 temperature of 100 °C and quantified 0.18 mg/g de kaempferol, 0.01 mg/g of quercetin
420 and 2.96 mg/g of rutin. PRADO et al. (2019) quantified a higher value for kaempferol
421 (462.63 mg/g) e quercetin (89.93 mg/g), amounts similar to the study that presented
422 35.25 mg/g a 412.14 mg/g of kaempferol e 25.21 mg/g to 135.50 mg/g of quercetin
423 and rutin. MAKASANA et al. (2017) quantified 8.85 mg/g of quercetin and 55.00 mg/g
424 of kaempferol from leaves of *C. ternatea* from India extracted for 60 min at 80° C with
425 methanol.

426

427

428 **Tables 2 and 3**

429

430 **3.2.2 *Galleria mellonella* toxicity assay**

431 The *in vivo* *G. mellonella* toxicity assay with concentrations between 0.4 and 5.8
432 g of lyophilized extract per kg of body weight is presented in Figure 1. We observed
433 that up to 2.2 g of extract/kg body had no toxicity *in vivo*, with a 100% survival rate 72
434 h after injection. The LD₅₀ was calculated using the polynomial model at 5.08 g of
435 extract/kg body.

436

437

Figure 1

438

439 A fruit species from Brazil, called *Eugenia spp.*, was evaluated. The extracts
440 capable of killing 50% of the population had average lethal doses of 1.5 g/kg for *E.*
441 *leitonii* (seeds), 2.5 g/kg for *E. brasiliensis* (seeds), and 1.25 g/kg body for *E.*
442 *brasiliensis* (leaf) (Sardi et al., 2017). In another study conducted by Soares et al.
443 (2019), the authors employed *E. stipitata*, *R. rosaefolius*, and *S. mombin* extracts and
444 found that only the *S. mombin* extract led to a survival rate of 50% at 10 g/kg body; the
445 other extracts did not exert toxic effects on the larvae until the concentration of 5 g/kg.

446 Srichaikul (2018) evaluated the aqueous extract toxicity of *C. ternatea* flowers
447 using Wistar albino rats and reported that the oral dose of 2000 g/kg body showed no
448 mortality and abnormality in the animals, corroborating our data whose values were
449 lower because it is a lyophilized aqueous extract. Notably, the *G. mellonella* model is
450 a low-cost and well-validated approach whose results correlate with those observed in
451 mammals (Sardi et al., 2017).

452

453 3.2.3 Reducing capacity and antioxidant activity

454 The reducing capacity was expressed by the Folin-Cicalteau method and
455 antioxidant activity against DPPH and ABTS radicals were evaluated in the lyophilized
456 extracts obtained when the optimal extraction condition was used. The extract
457 presented a reducing capacity of 806.92 mg GAE/100 g in dry extract, which is higher
458 than the values obtained by Santos et al. (2023), with 24.41–30 mg GAE/100 g of
459 commercially-obtained *C. ternatea* powder samples. Nascimento et al. (2021)
460 employed ultrasound extraction and acquired 5.23–26.4 mg GAE/100 g of oven-dried
461 *C. teranate* flower extract. In addition, Indrianingsih et al. (2021) revealed that the
462 reducing capacity measured by the Folin-Ciocalteu method of *C. ternatea* aqueous
463 extract obtained 2982 mg GAE/g in dry extract. These differences may be related to
464 compound concentrations due to the lyophilization process applied. Furthermore, other
465 factors include the acid used, extraction method, and obtaining the raw material,
466 whether commercially as dried flowers, powdered, or fresh.

467 *C. ternatea* flower extracts are characterized by relatively high antioxidant
468 properties. This study presented 17.95% inhibition against PDPh and 53.07% against
469 ABTS. These values are higher than the data of Netravati et al. (2022), who evaluated
470 the antioxidant activity of a *C. ternatea* flower extract obtained by microwave-assisted

471 extraction and found an inhibition index of 3.49 µL/mL for DPPH and 2.42 µL/mL for
472 ABTS. Indrianingsih et al. (2021) tested extracts and fractions of *C. ternatea* flower
473 extract in methanol extract and hexane soluble fractions and inhibition indexes were
474 not detected. However, the soluble fraction in dichloromethane and ethyl acetate
475 presented an inhibition index of 5.3 and 4.9%, respectively.

476 These DPPH and ABTS assays are standard methods for evaluating antioxidant
477 activity, relatively stable, and sensitive because they are organic radicals. In addition,
478 these methods are important for screening before more expensive and advanced
479 techniques are applied. Phenolic compounds and other types of bioactive compounds
480 present are responsible for antioxidant activity (Indrianingsih et al., 2021).

481

482 3.2.4 Microbiological analysis

483 The emergence and spread of anti-microbial-resistant pathogens are becoming
484 a global problem (CDC, 2022). To minimize the use of antibiotics in agriculture and, at
485 the same time, meet consumer demands, effective alternative approaches, such as
486 the use of natural preservatives to conserve food, should be explored (Sun et al.,
487 2018). In the present study, it was possible to verify that the *C. ternatea* extract
488 inhibited all bacterial strains tested, both Gram-positive and Gram-negative (Table 4).
489 Gonelimali et al. (2018) reported that plant extracts significantly affect the cell
490 membrane of Gram-positive and Gram-negative bacteria through internal pH decline
491 and hyperpolarization of the cell membrane, concluding that plant extracts are
492 excellent natural antimicrobials with the potential to be employed as food
493 preservatives.

494

495 **Table 4**

496

497 Nevertheless, Gram-positive bacteria (*S. aureus*) were more susceptible to the
498 extract (inhibition halo diameter = 25 mm) than Gram-negative bacteria (*S.*
499 *Typhimurium* and *E. coli*; inhibition halo diameters = 17 and 18 mm, respectively).
500 Previous data also showed the antibacterial action of *C. ternatea* extract using the agar
501 diffusion disc assay and reported diameters of inhibition halos ranging from 7 to 26 mm
502 for different bacterial genera evaluated (Leong et al., 2017). In addition to the present

503 study, evidence has demonstrated that Gram-positive bacteria are more susceptible to
504 plant extracts than Gram-negative bacteria (Maia et al., 2019; Yuan et al., 2021).
505 Santos et al. (2023) evaluated the antimicrobial potential of *C. ternatea* flower extract
506 by disc diffusion method against Gram-positive bacteria (*S. listeria monocytogenes*
507 and *Bacillus cereus*) and Gram-negative bacteria (*E. Coli*, *Klebsiella Aerogenes*, and
508 *S. Typhimurium*). The authors inhibited three pathogens of the six evaluated: *S.*
509 *Typhimurium*, *L. monocytogenes*, and *K. aerogenes*.

510 Our findings showed that MIC values ranged from 5.7 to 11.4 mg mL⁻¹ and MBC
511 from 22.8 to 45.6 mg mL⁻¹ (Table 4). In the literature, varying MIC of *C. ternatea* extract
512 are found against several bacterial pathogens, and this variation may be due to the
513 different extraction protocols or strains used in the experiments (Jeyaraj et al., 2022).

514

515 5. CONCLUSIONS

516 A simple, fast, cheap, and low environmental impact method was optimized for
517 extracting *Clitoria ternatea* flower anthocyanins through multivariate optimization. The
518 optimal extraction condition was obtained with 0.1 g of lyophilized flower and 22.5 mL
519 of acidified water with 1% citric acid (0.44% w/v), subjected to agitation for 16 min at 45
520 °C, which enabled us to obtain an edible extract of chemical and technological
521 characteristics with significant potential given the ability of the extract to inhibit some
522 of the main pathogenic bacteria responsible for food outbreaks. Given our promising
523 findings, we suggest that future studies incorporate the extract into active packaging
524 for food conservation and smart packaging for quality monitoring.

525 The major anthocyanins were ternatins B1–B3 and A2, and the non-
526 anthocyanins were kaempferol 3-O-neohesperidoside, kaempferol-O-rhamnosyl-
527 rutinoside, and quercetin 3-O-(2"-O- α -rhamnosyl-6"-O-malonyl)- β -glucoside, which
528 were identified by UHPLC/MSⁿ. Anthocyanins have great potential as natural food
529 dyes, as the extracts showed low toxicity in the *in vivo* assays. Nevertheless, further
530 in-depth research is necessary to evaluate the stability of the extract against external
531 factors, such as luminosity and heat treatment.

532

533 **6. ACKNOWLEDGMENTS AND ETHICAL CONSIDERATIONS**

534 The authors are grateful for the funding by Coordenação de Aperfeiçoamento
535 de Pessoal de Superior - CAPES (Financial Code 001), Conselho Nacional de
536 Desenvolvimento Científico e Tecnológico - CNPQ (306378/2015-9), Fundação de
537 Amparo à Pesquisa do Estado do Rio Grande do Sul - FAPERGS (17/255100009126),
538 the Southern Electronic Microscopy Center (CEME-SUL) of the Federal University of
539 Rio Grande (FURG), to the Mountain Research Center (CIMO) and Polytechnic
540 Institute of Bragança, Portugal, for collaborations.

541 The authors state that there are no conflicts of interest in the study's publication.
542 The research is registered with the Ministry of the Environment of Brazil, in the National
543 System of Management of Genetic Heritage and Associated Traditional Knowledge,
544 under number A937529.

545

546 **7. REFERENCES**

- 547 ABDELAZIZ, S., YOUSEF, H.M.A., AL-QAHTANI, A., HASSAN, W.H.B., FANTOUKH,
548 O.I. Phytochemical profile, antioxidant and cytotoxic potential of *Parkinsonia aculeata*
549 L. growing in Saudi Arabia. **Saudi Pharmaceutical Journal**, v.28, p.1129-1137, 2020.
- 550 AZIMA, A.S., NORIHAM, A., MANSHOOR, N. Phenolics, antioxidants and color
551 properties of aqueous pigmented plant extracts: *Ardisia colorata* var. *elliptica*, *Clitoria*
552 *ternatea*, *Garcinia mangostana* and *Syzygium cumini*. **Journal of functional foods**,
553 v.38, parte A, p.232-241, 2017.
- 554 CDC (2022) <https://www.cdc.gov/drugresistance/about.html>
- 555 CHEN, Y., HONGLI, Y., WU, H., PAN, Y., WANG, K., JIN, Y., ZHANG, C.
556 Characterization and Quantification by LC-MS/MS of the Chemical Components of the
557 Heating Products of the Flavonoids Extract in Pollen *Typhae* for Transformation Rule
558 Exploration. **Molecules**, v.20, p. 18352-18366, 2015.
- 559 CLSI. **Performance Standards for Antimicrobial Susceptibility Testing**. 28th ed.
560 CLSI Supplement M100. Wayne PA: Clinical and Laboratory Standards Institute, 2018.
- 561 DHANASEKARAN, S.; RAJESH, A.; MATHIMANI, S.; SAMUEL, R.;
562 SHANMUGANATHAN, K.; BRINDHADEVI, K. Efficacy of crude extracts of *Clitoria*

- 563 ternatea for antibacterial activity against gram negative bacterium (*Proteus mirabilis*).
564 **Biocatalysis and Agricultural Biotechnology**, v.21, p.101328, 2019.
- 565 ESCHER, G.B., WEN, M., ZHANG, L., ROSSO, N.D., GRANATO, D. Phenolic
566 composition by UHPLC-Q-TOF-MS/MS and stability of anthocyanins from *Clitoria*
567 *ternatea* L. (butterfly pea) blue petals. **Food Chemistry**, v. 331, p. 127341, 2020.
- 568 GONELIMALI, F.D., LIN, J., MIAO, W., XUAN, J., CHARLES, F., CHEN, M., HATAB,
569 S.R. Antimicrobial Properties and Mechanism of Action of Some Plant Extracts Against
570 Food Pathogens and Spoilage Microorganisms. **Frontiers of Microbiology**, v.9, p. 1-
571 8, 2018.
- 572 INDRIANINGSIH, A.W., WULANJATI, M.P., WINDARSIH, A., BHATTACHARIYA,
573 D.K., SUZUKI, T., KATAYAMA, T. In vitro studies of antioxidant, antidiabetic, and
574 antibacterial activities of *Theobroma cacao*, *Annona muricata* and *Clitoria ternatea*.
575 **Biocatalysis and Agricultural Biotechnology**, v.33, p.101995, 2021
- 576 JEYARAJ, E.J.; LIM, Y.Y.; CHOO, W.S. Antioxidant, cytotoxic, and antibacterial
577 activities of *Clitoria ternatea* flower extracts and anthocyanin-rich fraction. **Scientific
578 reports**, v.12, p.14890, 2022.
- 579 JEYARAJ, E.J.; LIM, Y.Y.; CHOO, W.S. Extraction methods of butterfly pea (*Clitoria
580 ternatea*) flower and biological activities of its phytochemicals, **Journal of Food
581 Science and Technology**, v.58, n.6, p. 2054-2067, 2021.
- 582 KAZUMA, K., NODA, N., SUZUKI, M. Malonylated flavonol glycosides from the petals
583 of *Clitoria ternatea*. **Phytochemistry**, v.62, p.229-237, 2003.
- 584 KITE, G.C., VEITCH, N.C. Assigning glucose or galactose as the primary glycosidic
585 sugar in 3-O-mono-, di- and triglycosides of kaempferol using negative ion electrospray
586 and serial mass spectrometry. **Rapid communications in mass spectrometry**, v.23,
587 p.3125-3132, 2009.
- 588 LEE, J.; DURST, R. W.; WROLSTAD, R. E. Determination of total monomeric
589 anthocyanin pigment content of fruit juices, beverages, natural colorants, and wines by
590 the pH differential method: collaborative study. **Journal of AOAC international**, v. 88,
591 n. 5, p. 1269-1278, 2005.
- 592 LEONG, C.R., AZIZI, M. A.K., TAHER, M.A., WAHIDIN, S., LEE, K-C., TAN, W-N.,
593 TONG, W-Y. Anthocyanins from *Clitoria ternatea* attenuate food-borne Penicillium

- 594 expansum and its potential application as food biopreservative. **Natural Product**
595 **Scieces**, v.23, p. 125–131,2017.
- 596 MAIA, D.S.V., HAUBERT, L., SOARES, K.S., WURFEL, S.F.R. *Butia odorata* Barb.
597 Rodr. extract inhibiting the growth of *Escherichia coli* in sliced mozzarella cheese.
598 **Journal Food and Science Technology**, v.53, n.3, p. 1663-1668, 2019.
- 599 MAKASANA, J., DHOLAKIVA, B.Z., GAJBHIYE, N.A., RAJU, S. Extractive
600 determination of bioactive flavonoids from butterfly pea (*Clitoria ternatea* Linn.).
601 **Research on Chemical Intermediates**, v. 43, p.783–799, 2017.
- 602 MEMOOD, A.; ISHAG, M.; ZHAO, L.; YAQOOB, S.; SAFDAR, B.; NADEEM, M.;
603 MUNIR, M.; WANG, C. Impact of ultrasound and conventional extraction techniques
604 on bioactive compounds and biological activities of blue butterfly pea flower (*Clitoria*
605 *ternatea* L.) **Ultrasonics Sonochemistry**, v.51, p. 12-19, 2019.
- 606 NAIR, V., BANG, W.Y., SCHRECKINGER, E., ANDARWULAN, N., CISNEROS-
607 ZEVALLOS, L. Protective Role of Ternatin Anthocyanins and Quercetin Glycosides
608 from Butterfly Pea (*Clitoria ternatea* Leguminosae) Blue Flower Petals against
609 Lipopolysaccharide (LPS)-Induced Inflammation in Macrophage Cells. **Journal of**
610 **Agricultural and Food Chemistry**, v. 63, p.6355-6365, 2015.
- 611 NASCIMENTO, J.V.; GIULIANGELI, V.C.; KATO, T.; CALLIARI, C.M.; SHIRAI, M. A.
612 Phenolic compounds and antioxidant capacity of the *Clitoria ternatea* L. flower extracts.
613 **Research, Society and Development**, v. 10, n. 11, e218101119450, 2021.
- 614 NETRAVATI.; GOMEZ, S.; PATHROSE, B.; RAJ N, M.; JOSEPH P, M.; KURUVILA,
615 B. Comparative evaluation of anthocyanin pigment yield and its attributes from Butterfly
616 pea (*Clitorea ternatea* L.) flowers as prospective food colorant using different
617 extraction methods. **Future Foods**, v.6, p. 100199, 2022.
- 618 OGUIS, G, K., GILDING, E.K., JACKSON, M.A., CRAIK, D.J. Butterfly Pea (*Clitoria*
619 *ternatea*), a cyclotide -bearing plant with aplications in agriculture and
620 medicine**Frontiers in Plant Science**, v.10, n.365. p-1-23. 2019.
- 621 PRABHU, S., THANGADURAI, T.D., INDUMATHI, T., KALUGASALAM, P. Enhanced
622 visible light induced dye degradation and antibacterial activities of ZnO/NiO
623 nanocomposite synthesized using *Clitoria ternatea* flower extract. **Inorganic**
624 **Chemistry Communications**, v.146, p.110077, 2022.

- 625 PRADO, A.S.L., SHEN, Y., ARDOIN, R., OSORIO, L.F., CARDONA, J., XU, Z.,
626 PRINYAWIWATKUL, W. Effects of different solvents on total phenolic and total
627 anthocyanin contents of *Clitoria ternatea* L. petal and their anti-cholesterol oxidation
628 capabilities. **Food Science and Technology**, v.54, n.2, p.424-431, 2019.
- 629 RE, R. Antioxidant activity applying na improved ABTS radical cáton decolorization
630 assay. **Free Radical Biology & Medicine**, v. 26, p. 1231-1237. 1999.
- 631 RODRIGUEZ-RIVERA, M.P., LUGO-CERVANTES, E., WINTERHALTER, P., JERZ,
632 G. Metabolite profiling of polyphenols in peels of Citrus limetta Risso by combination
633 of preparative high-speed countercurrent chromatography and LC–ESI–MS/MS. **Food**
634 **chemistry**, v.158, p.139-152, 2014.
- 635 SABINO, B.S., FILHO, E.G.A., FERNANDES, F.A.N., BRITO, E.S., SILVA, I.J.J.
636 Optimization of pressurized liquid extraction and ultrasound methods for recovery of
637 anthocyanins present in jambolan fruit (*Syzygium cumini* L.). **Food and Bioproducts**
638 **Processing**, v. 127, p. 77-89. 2021.
- 639 SANTOS, L.G.; MARTINS, V.G. Optimization of the green extraction of polyphenols
640 from the edible flower *Clitoria ternatea* by high-power ultrasound: a comparative study
641 with conventional extraction techniques. **Journal of Applied Research on Medicinal**
642 **and Aromatic Plants**, v. p.100458, 2023.
- 643 SARDI, J.C.O.; FREIRES, I.A.; LAZARINI, J.G.; INFANTE, J.; ALENCAR, S.M.;
644 ROSALEN, P.L. Unexplored endemic fruit species from Brazil: Antibiofilm properties,
645 insights into mode of action, and systemic toxicity of four *Eugenia* spp. **Microbial**
646 **Pathogenesis**, v. 105, p.280-287, 2017.
- 647 SOARES, J.C.; ROSALEN, P.L.; LAZARINI, J.G.; MASSARIOLI, A,P.; SILVA, C.F.;
648 NANI, B.D.; FRANCHIN, M. Comprehensive characterization of bioactive phenols from
649 new Brazilian superfruits by LC-ESI-QTOF-MS, and their ROS and RNS scavenging
650 effects and anti-inflammatory activity, **Food chemistry**, v.281, p.178-188, 2019.

- 651 SRICHAIKUL, B. Ultrasonication extraction, bioactivity, antioxidant activity, total
652 flavonoid, total phenolic and antioxidant of *Clitoria Ternatea* linn flower extract for anti-
653 aging drinks. **Pharmacognosy Magazine**, v.14, n.56, p.322-327, 2018.
- 654 SUN, X-H., ZHOU, T-H., WEI, C-H., LAN, W-Q., ZHAO, Y., PAN, Y.J., WU, V.C.H.
655 Antibacterial effect and mechanism of anthocyanin rich Chinese wild blueberry extract
656 on various foodborne pathogens, **Food Control**, v.94, p.155-161, 2018.
- 657 TERAHARA, N., ODA, M., MATSUI, T., OSAJIMA, Y., SAITO, N., TOKI, K., HONDA,
658 T. Five new anthocyanins, ternatins A3, B4, B3, B2, and D2, from *Clitoria*
659 *ternatea* Flowers. **Journal of Natural Products**, v. 59, n.2, p.139-144, 1996.
- 660 TERAHARA, N., TOKI, K., SAITO, N., HONDA, T., MATSUL, T., OSAJIMA, J. Eight
661 New Anthocyanins, Ternatins C1-C5 and D3 and Preternatins A3 and C4 from Young
662 *Clitoria ternatea* Flowers. **Journal of Natural Products**, v. 61, n.11, 1361-1367, 1998.
- 663 THUY, N.M.; BEN, T.C.; MINH, V.Q.; TAI, N.V. Effect of extraction techniques on
664 anthocyanin from butterfly pea flowers (*Clitoria ternatea* L.) cultivated in Vietnam.
665 **Journal of Applied Biology & Biotechnology**, v. 9, n.6, p. 173-180, 2021.
- 666 URSU, M.G.S., MILEA, S.A., PACULARU-BURADA, B., DUMITRASCU, L.,
667 RAPEANU, G., STANCIU, S., STANCIUC, N. Coproduct yield comparisons of purple,
668 blue and yellow dent corn for various milling processes. **Food Chemistry**, v. 30,
669 p.100521, 2023.
- 670 VINHOLES, J., GONÇALVES, P., MARTEL, F., COIMBRA, M. A., ROCHA, S. M.
671 Assessment of the antioxidant and antiproliferative effects of sesquiterpenic
672 compounds in in vitro Caco-2 cell models. **Food Chemistry**, v.156, p.204–211, 2014.
- 673 VINHOLES, J., GROSSO, C., ANDRADE, P. B., GIL-IZQUIERDO, A., VALENTÃO, P.,
674 PINHO, P. G. D., FERRERES, F. In vitro studies to assess the antidiabetic, anti-
675 cholinesterase and antioxidant potential of *Spergularia rubra*. **Food Chemistry**, v.129,
676 n.2, p.454–462, 2011.
- 677 YOUNG, T.T., SRIVICHAI, S., HONGSPRABHAS, P. Effect of sugar and CaCl₂
678 concentration on fluorescence quenching characteristics of whey proteins by
679 delphinidin derivatives from butterfly pea flower. **Agriculture and natural resources**,
680 v. 55, p.569-578, 2021.

681 YUAN, G., GUAN, Y., YI, H., LAI, S., SUN, Y., CAO, S. Antibacterial activity and
682 mechanism of plant flavonoids to gram-positive bacteria predicted from their
683 lipophilicities. **Scientific reports**, v.11, p.10471, 2021.

684

TABLE CAPTIONS

Table 1. Decoded variables and responses obtained in multivariate design to obtain the *Clitoria ternatea* flower extracts.

Table 2. Anthocyanin identification and quantification in the lyophilized extract of *Clitoria ternatea* (mg 100 g⁻¹)

Table 3. Identification and quantification of non-anthocyanins in the lyophilized extract of *Clitoria ternatea* (mg 100 g⁻¹).

Table 4. Antibacterial action, minimum inhibitory concentration, and minimum bactericidal concentration of *Clitoria ternatea* flower extract against pathogens.

FIGURE CAPTIONS

Figure 1. Toxicity of *Clitoria ternatea* flower extract in a *Galleria mellonella* larvae model. The LD₅₀ was determined by polynomial mathematical calculation.

Table 1. Decoded variables and responses obtained in multivariate design to obtain *Clitoria ternatea* flower extracts.

Variables and Coded Levels ⁽¹⁾			Variables and Decoded Levels			Results (mg/100 g) ⁽²⁾	
A	B	C	Temperature (°C)	Volume (mL)	Time (min)	Total anthocyanins	Reducing capacity
-1	-1	-1	36.1	12.1	7.7	433.89	2242.56
1	-1	-1	53.9	12.1	7.7	526.90	2252.20
-1	1	-1	36.1	32.9	7.7	473.75	2090.14
1	1	-1	53.9	32.9	7.7	492.68	1567.86
-1	-1	1	36.1	12.1	24.3	466.34	2265.28
1	-1	1	53.9	12.1	24.3	523.59	2602.81
-1	1	1	36.1	32.9	24.3	504.41	2496.88
1	1	1	53.9	32.9	24.3	478.75	1940.62
0	0	0	45	22.5	16	450.29	2753.47
0	0	0	45	22.5	16	554.63	2904.51
0	0	0	45	22.5	16	471.52	2614.85
-1.68	0	0	30	22.5	16	464.66	2048.53
1.68	0	0	60	22.5	16	470.44	2175.41
0	-1.68	0	45	5	16	456.28	1470.00
0	1.68	0	45	40	16	570.31	2908.08
0	0	-1.68	45	22.5	2	475.29	2283.00
0	0	1.68	45	22.5	30	469.54	1505.78

⁽¹⁾ A: temperature (°C), B: volume (mL), C: time (min). ⁽²⁾ Total monomeric anthocyanins: expressed in mg cyanidine-3-glycoside/100 g of dry flower. Reducing capacity obtained by the Folin-Cicalteau method: expressed in mg equivalent of gallic acid (mg GAE)/100 g of dry flower.

Table 2. Anthocyanin identification and quantification in the lyophilized extract of *Clitoria ternatea* (mg 100 g⁻¹)

Peak	Rt	nm	Major ion (M+ or M+H)	Ion fragment (MS2)	Ion fragment (MS3)	Ion fragment (MS4)	Tentative identification	Average concentration	SD
1	16.67		1183	935, 1139, 773, 1021, 1097, 859, 1165	773, 611, 627, 303		Ternatin C4	2.57	± 0.03
2	18.18	303, 543	1492 [M+H]	1244	1082, 919, 774, 936, 611		Ternatin A3	8.61	± 0.45
3	23.91	300, 543	1329	1081, 1285, 1243, 1167, 1021, 919, 773	773, 919, 611, 303	611, 629, 465, 303	Ternatin C1 or B4	16.80	± 3.36
4	23.91		1021	773, 977, 935, 859, 611, 465	611, 627, 465, 303		Ternatin C3	16.80	± 3.36
5	29.45	291, 546	1799	1551, 1755, 1713, 1637,	1389, 1227, 1081, 773, 611		Ternatin A2	20.15	± 2.85
6	30.82		1167	919, 1081, 963, 859, 611	611, 773	303, 465	Ternatin D3	11.76	± 0.78
7	32.88		1637	1389, 1593, 1513, 1475	1227, 1191, 1081, 919, 774, 611	919, 611	Ternatin B3	23.08	± 5.42
8	36.7	292, 543	1551	1389	773, 919, 1081, 1227, 1371		Hydrolyzed ternatin B3 or B2	5.82	± 1.27
9	37.21	292, 546	1638 [M+H]	1390, 1552, 1594, 1476, 1330, 919	1228, 1244, 1082, 920, 936, 773, 611		Ternatin B2	57.94	± 11.10
10	37.66	289, 546	1946	1700	1538, 1391, 1230, 1083, 921	921, 1229, 1392, 774	Ternatin B1	44.47	± 8.31
11	37.66	289, 546	1329	1081, 1285, 1167, 1243	919, 773, 611, 465	611, 303, 773, 757, 465	Ternatin B4 or C1	44.47	± 8.31
12	38.83	294, 546	1475	1227, 1167, 1430	919, 1081, 773, 611, 465	303, 611, 773, 757, 465	Ternatin D2	32.52	± 5.89
13	40.9	293, 552	1784	1536, 1740, 1698, 1227, 1081	919, 1228, 1081, 1390, 1500	303, 466, 611	Ternatin D1	30.92	± 5.58

Rt: retention time; nm: 520; SD: standard deviation; NQ: Below the limit of quantification. Average from triplicate (n = 3).

Table 3. Non-anthocyanin identification and quantification in the lyophilized extract of *Clitoria ternatea* (mg 100 g⁻¹)

Peak	Rt	nm	Major ion (M-H)	Ion fragment (MS1)	Tentative identification	Average concentration	SD
1	8.15	354, 256	755	300, 301, 489, 591, 609	Quercetin-O-rhamnosylrutinoside	25.21	± 0.24
2	11.11	354, 256	609	300, 301	Quercetin-O-neohesperidoside	40.55	± 8.29
3	11.49	347, 266	739	284, 285, 575, 593	Kaempferol-O-rhamnosyl-rutinoside	135.50	± 1.89
4	12.79	354, 257	609	301	Rutin		
5	13.01		695	300, 609	Quercetin 3-O-(2"-O- α -rhamnosyl-6"-O-malonyl)- β -glucoside	37.40	± 0.68
6	13.91	348, 266, 229	593	284, 285	Kaempferol 3-O-neohesperidoside	412.14	± 17.21
7	14.27		463	300, 301	Quercetin 3-O-glucoside	NQ	± NQ
8	16.37		679	635	Kaempferol malonyl rutinoside	35.25	± 3.12

Rt: retention time; nm: 330. SD: standard deviation; NQ: Below the average quantification limit from triplicate (n = 3)

Table 4. Antibacterial action, minimum inhibitory concentration, and minimum bactericidal concentration of *Clitoria ternatea* flower extract against pathogens.

Pathogens	Halo size		Control			MIC	MBC
	(mm)		Water	Citric acid	Gentamicin	Mg mL ⁻¹	
<i>Staphylococcus aureus</i>	25	25	No halo	No halo	23	11.4	22.8
<i>Escherichia coli</i>	18	18	No halo	No halo	13	5.6	45.6
<i>Salmonella typhimurium</i>	17	17	No halo	No halo	17	11.4	22.8

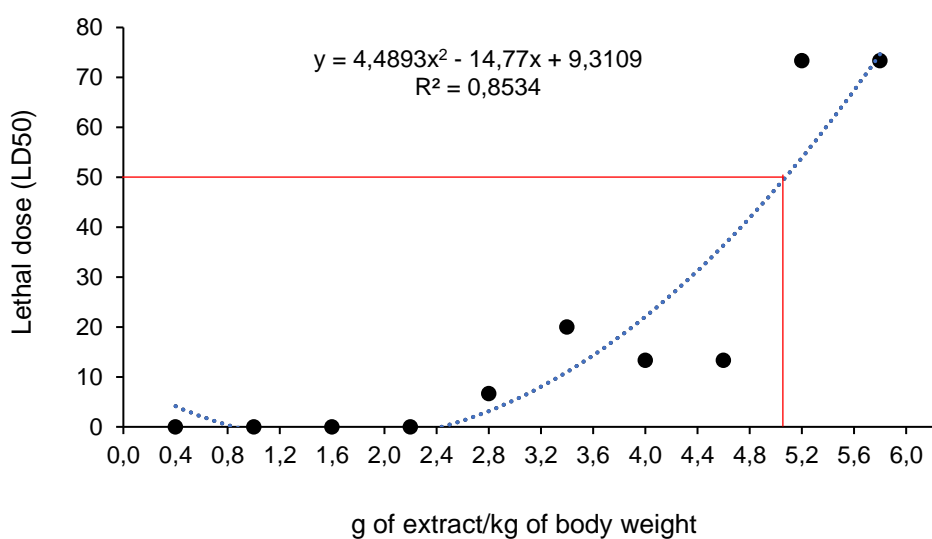


Figure 1. Toxicity of the *Clitoria ternatea* flower extract in a model of *Galleria mellonella* larvae. The lethal dose (LD₅₀) was determined by polynomial mathematical calculation.

6. Artigo 2

¹GONÇALVES, G.C.P., ¹SANTOS, F.N., ¹RAMIRES, T., ¹SILVA, W.P., ¹DIAS, A.R.G.,
¹ZAVAREZE, E.R., ¹MEINHART, A.D.

**Filmes de acetato de celulose incorporados de extrato antociânico das flores de
Clitoria ternatea: potencial para indicador de alterações microbiológicas**

O artigo será submetido na Food Research International

¹ Universidade Federal de Pelotas (UFPel)

1 **Resumo**

2 A busca por embalagens comunicativas tem crescido no meio científico e vem sendo
3 cada vez mais reconhecida pelos consumidores como uma forma inteligente de ofertar
4 alimentos seguros e saudáveis. Filmes de acetato de celulose contendo extrato
5 antociânico da flor da *Clitoria ternatea* e da flor liofilizada foram produzidos em
6 diferentes concentrações (20% e 30%, p/p). Os filmes foram produzidos pela técnica
7 de *casting* e avaliados quanto a morfologia, atividade antioxidante, solubilidade em
8 água, parâmetros de cor, atividade microbiológica e potencial como indicador de
9 patógenos. A morfologia dos filmes indicou uma estrutura rígida, semi-transparente,
10 contendo partículas sólidas e espessura elevada. Os filmes apresentaram atividade
11 antioxidante em ambos radicais estudados (ABTS e DPPH). A solubilidade em água
12 dos filmes foi baixa (0,09% a 0,11%), demonstrando potencial dos filmes para serem
13 adicionados em embalagens, podendo ocorrer o contato com o alimento por se tratar
14 de um filme atóxico. A análise de cor dos filmes, expostos a diferentes pHs não diferiu.
15 Porem, no extrato e na flor liofilizada ocorreu a mudança de cor, sendo promissores
16 como indicadores de pH. O principal achado foi na área microbiológica, onde foi
17 constatada a modificação da cor do extrato e dos filmes frente ao crescimento de
18 bactérias gram-negativas (*S. Typhimurium* e *E. coli*), passando da coloração roxa para
19 verde quando há contaminação. Tal resultado indica o potencial dos filmes para serem
20 empregados como indicador de mudança de cor associada a alterações
21 microbiológicas relevantes na área de alimentos.

22

23 **Palavras-chaves:** biodegradável; embalagem; filme; bactérias.

24

25

26

27

28 **1. Introdução**

29 Os polímeros mais utilizados para fabricação de embalagens para alimentos
30 são os sintéticos ou artificiais, em geral derivados do petróleo e desenvolvidos em
31 laboratório. Essas embalagens plásticas têm baixo custo de produção e maior
32 durabilidade em relação a outros materiais. Além de possuir ótimas condições de
33 barreira e proteção para os alimentos, por exemplo, luz, umidade, gases, entre outras.
34 No entanto, esses materiais possuem desvantagens no que se relaciona ao meio
35 ambiente, visto que não são biodegradáveis, se acumulam ao longo do tempo
36 causando elevado impacto poluente na natureza. Diante disso, tem-se a necessidade
37 de materiais desenvolvidos com polímeros naturais, causando o menor impacto
38 ambiental (GASTI et al., 2022).

39 O acetato de celulose, obtido da parede celular de plantas e vegetais, está
40 amplamente distribuído na natureza. É um polímero natural, amorfó, atóxico, inodoro,
41 biodegradável e possui boas características para o desenvolvimento de filmes
42 biodegradáveis (ASSIS, 2021). Esses filmes são obtidos, em geral, pela técnica de
43 casting, caracterizada pela solubilização do biopolímero em acetona, seguido da
44 incorporação dos bioativos e por fim o plaqueamento e secagem dos filmes (ASSIS et
45 al., 2017).

46 As características desse biomaterial é a obtenção de um filme fino, rígido, baixa
47 elasticidade, hidrofóbico, baixa opacidade e elevada transparência (ASSIS, 2021).
48 Todavia, essas características citadas dependem da quantidade do polímero,
49 presença de agentes plastificantes e carga de compostos bioativos. A adição de
50 compostos bioativos em filmes (por exemplo antocianinas e compostos fenólicos não
51 antociânicos) tem a possibilidade de desenvolver uma embalagem ativa e inteligente,
52 com a capacidade de conservar e monitorar, respectivamente, para garantir a
53 qualidade do alimento e a comunicação com o consumidor (ASSIS, 2021).

54 Os termos “embalagens ativas” e “embalagens inteligentes” possuem conceitos
55 interligados, pois podem atuar juntas, pois cada uma possui uma ação distinta. A
56 embalagem ativa tem como propósito interagir com o alimento, adicionando um

57 composto bioativo encapsulado, o qual será liberado ao longo de um período na
58 atmosfera onde encontra-se o produto (WEN et al., 2016b). As embalagens
59 inteligentes tem como principal característica monitorar as condições do alimento e
60 informar em tempo real o estado do produto, utilizam a função de comunicação com
61 o consumidor (VANDERROOST et al., 2014; GHAANI et al., 2016; MA et al., 2016). É
62 sabido, a algum tempo atrás, as embalagens inteligentes eram desenvolvidas
63 somente com a incorporação de substâncias sintéticas na matriz polimérica, porém,
64 essas substâncias químicas são prejudiciais, podendo causar alterações no alimento,
65 consequentemente ao consumidor, além de danos ao meio ambiente (SANTOS, et
66 al., 2023; MOHEBI et al., 2015; SILVA-PEREIRA et al., 2015; GHAANI et al., 2016).
67 Atualmente, estudos são realizados para desenvolver embalagens inteligentes com
68 adição de corantes oriundos de fontes naturais (SANTOS, et al., 2023; CHALES,
69 2018; PRIETTO et al., 2017).

70 Os sistemas mais estudados de embalagens inteligentes são os sensores e
71 indicadores. Um sensor pode ser definido com um dispositivo utilizado para localizar,
72 quantificar ou detectar (BIJI et al., 2015; PEREIRA, 2017). Os indicadores podem
73 indicar alterações químicas ou contaminação por microrganismos em alimentos
74 embalados (YIN et al., 2023; ROY&RHIM, 2021).

75 As antocianinas são pigmentos polares, solúveis em água e são encontradas
76 em diversas matrizes distribuídas pela natureza (KALT et al., 2000 , HONGYAN et al.,
77 2012; KHOO et al., 2017; AZIMA et al., 2017). São de fácil extração, com métodos
78 atóxicos, de baixo custo e biodegradáveis. As flores da *Clitoria ternatea* são fontes
79 desses compostos antociânicos. Os compostos majoritários presente nas flores são
80 as antocianinas (ternatinas), além dos compostos não antociânicos, kaempferol e
81 queracetina; aos quais tem sido associados o potencial antioxidante e antimicrobiano
82 evidenciado nas pesquisas (KRITHIGA et al., 2015; SYAHIRAH et al., 2018;
83 HAVANDA et al., 2019; OGUIS et al., 2019). Ao que consta aos autores, com base na
84 literatura científica consultada, não foram encontrados estudos a respeito da produção
85 de filmes a base de acetato de celulose incorporados com extrato da *Clitoria ternatea*
86 para aplicação no monitoramento da qualidade de alimentos.

87 Diante do exposto, o objetivo desse estudo foi a obtenção de filmes de acetato
88 de celulose, incorporados com extrato liofilizado da *Clitoria ternatea* e flor liofilizada
89 da *Clitoria ternatea*, em diferentes concentrações. Os filmes foram caracterizados pela
90 sua avaliação macroscópica, morfologia, espessura, atividade antioxidante,
91 solubilidade, umidade, cor e atividade microbiológica.

92 **2. Material e métodos**

93 O estudo foi realizado nos laboratórios do Departamento de Ciência e
94 Tecnologia Agroindustrial (DCTA), Faculdade de Agronomia “Eliseu Maciel” (FAEM)
95 da Universidade Federal de Pelotas (UFPel), situado no Campus Capão do Leão. Os
96 reagentes utilizados foram: acetona P.A. (Synth/Diadema -SP/Brasil); acetato de
97 celulose P.A (Aldrich chemistry/St-Louis-MO/USA CAS 9004-35-7); cloreto de
98 potássio P.A (Vetec/Duque de Caxias-RJ/Brasil); ácido clorídrico P.A (Êxodo
99 científica/Hortolândia-SP/Brasil); citrato de sódio P.A (Synth/Diadema -SP/Brasil);
100 fosfato de sódio monobásico P.A (Dinâmica/Brasil CAS 7778-770); fosfato de sódio
101 dibásico P.A (Vetec/Duque de Caxias-RJ/Brasil); Radicais livres 2,2'-azino-bis(3-
102 etilbenzotiazolina) ácido 6-sulfônico (ABTS; Sigma Aldrich, CAS 30931-67-0/EUA) e
103 2,2-difenil-1-picrilhidrazil (DPPH; Sigma Aldrich, CAS 1898 -66-4/Índia); metanol P.A
104 (êxodo científica, CAS 67-56-1/Brasil); persulfato de potássio P.A (Synth/Brasil); álcool
105 etílico P.A (Dinâmica/Brasil).

106 **2.1. Obtenção das flores e preparo do extrato**

107 Para obtenção das flores da *Clitoria ternatea*, realizou-se o cultivo inédito dessa
108 planta na Região Sul de Pelotas, precisamente no município do Capão do Leão/RS.
109 As sementes doadas por um produtor do estado de São Paulo, Brazil, foram
110 plantadas, seguido do desenvolvimento e colheita das flores. As pétalas foram
111 armazenadas em Ultrafreezer (-70º C), até serem secas por liofilização. O material
112 seco, foi moído em moedor comum de café (Boca Raton/FL, EUA) e o pó resultante
113 foi armazenado em freezer (-18º C) até o momento da análise.

114 Para o preparo dos filmes a partir das flores foi utilizado pó das flores liofilizado
115 e moído. Para os filmes preparados com extrato, o pó das flores foi submetido à
116 extração conforme metodologia descrita por Gonçalves et al. (2023): 0,1 g de pó
117 liofilizado das flores da *Clitoria ternatea* foi adicionado em 22,5 mL de solução
118 extratora (água acidificada com 1% de ácido cítrico), em tubos falcon. Os tubos foram
119 levados a banho maria (45 °C) (Velp Scientifica, Enzymatic Digester-GDE, Itália) com
120 agitação em 300 rpm por 16 min. Em seguida, os extratos líquidos foram filtrados em
121 filtros de papel tipo Whatmann e levados para liofilização.

122 **2.2. Preparo de filmes pela técnica de casting**

123 Para obtenção dos filmes pela técnica de *casting*, seguiu-se metodologia
124 proposta por ASSIS et al. (2017) com algumas adaptações. Resumidamente, foi
125 utilizado 3 g de acetato de celulose como material polimérico e 100 mL de acetona.
126 Para completa solubilização agitou-se magneticamente a solução por 1 hora. Em
127 seguida, foram adicionados 20% e 30% de extrato liofilizado das flores da *Clitoria*
128 *ternatea* (p/p, extrato/acetato de celulose) e 20% e 30% do pó das flores (p/p,
129 flores/acetato de celulose). As soluções foram mantidas sob agitação magnética por
130 mais 15 minutos. Então, as soluções filmogênicas foram colocadas em placas de vidro
131 (0,39 g/cm²) e submetida a secagem por evaporação de solvente por 24 horas em
132 capela sem circulação de ar. O filme controle foi preparado nas mesmas condições,
133 exceto que o extrato antociânico ou pó das flores não foi adicionado. As concentrações
134 do polímero, extrato, pó das flores e condições de secagem foram definidas a partir
135 de testes preliminares. Após a obtenção, os filmes foram armazenados por 48 horas
136 em temperatura ambiente (25 °C ± 2 °C) e umidade relativa do ar (UR) ~60% antes
137 de serem caracterizados.

138 **2.2.1. Caracterização dos filmes**

139 **2.2.1.1. Morfologia**

140 A avaliação da morfologia foi realizada por Microscópio Eletrônico de Varredura
141 (MEV), onde as amostras foram revestidas com ouro em metalizador. O diâmetro
142 médio dos filmes foi medido na superfície e do corte do filme. Por fim, obteve-se uma

143 imagem do MEV, com medidas aleatórias utilizando o software ImageJ (versão 2015)
144 (FONSECA et al., 2020).

145 **2.2.1.2. Espessura**

146 A espessura do filme (mm) foi determinada com um micromôetro digital
147 (Electronic outside IP54), através de seis leituras em pontos aleatórios dos filmes
148 (PRIETTO, 2017). A avaliação foi feita em triplicata.

149 **2.2.1.3. Atividade antioxidante**

150 A atividade antioxidante dos filmes de acetato de celulose com extrato liofilizado
151 das flores da *Clitoria ternatea* a 20% e 30% e das flores liofilizadas a 20% e 30% foram
152 avaliadas pelo método de inibição do radical 2,2-Diphenyl-1-picrylhydrazyl (DPPH) e
153 do radical 2,2'-azino-bis (3-etilbenzotiazolin) 6-ácido sulfônico (ABTS^{•+}). O método
154 de DPPH foi seguido BRAND-WILLIAMS et al., 1995, é baseado na captura do radical
155 DPPH por antioxidantes. O DPPH que possui cor púrpura é reduzido formando difenil-
156 picril-hidrazina, de coloração amarela, com consequente desaparecimento da
157 absorção, podendo a mesma ser monitorada pelo decréscimo da absorbância (515
158 nm).

159 Para a análise, primeiramente, foi preparada a solução estoque, pesando 24
160 mg de DPPH em 100 mL de metanol. Logo, tirou-se uma alíquota de 10 mL e dilui-se
161 em 45 mL de metanol, absorbância dessa solução foi ajustada para $1,1 \pm 0,02$ nm em
162 espectrofotômetro (6705 UV/VIS Spectrophotometer JENWAY) no comprimento de
163 onda de 515 nm. Em seguida, pesou-se 2 mg de filme e adicionou-se 3,9 mL do radical
164 DPPH recentemente preparado. Agitou-se em vórtex por 30 s e ficaram mantidos no
165 escuro por 30 minutos até o momento da leitura. Os resultados foram expressos em
166 atividade antioxidante % de inibição do radical DPPH visto na equação 1:

167

$$168 \% \text{ de inibição} = \left[\left(\frac{\text{ABSbranco} - \text{ABSamostra}}{\text{ABSbranco}} \right) \right] \times 100 \quad \text{Equação 1}$$

169

170 Para reação com o radical ABTS^{•+}, a solução estoque de ABTS^{•+} 7,4 mM foi
171 preparada pesando 192 mg de ABTS diluído em água destilada, foi completado o

172 volume em balão volumétrico de 50 mL. Para solução de persulfato de potássio 140
173 mM, pesou-se 378,4 mg de persulfato de potássio e adicionou-se em balão
174 volumétrico de 10 mL com água destilada. Em seguida, 5 mL da solução estoque foi
175 misturada em 88 µL de persulfato de potássio, essa solução do radical foi mantida no
176 escuro por 16 horas em frasco âmbar e em temperatura ambiente. Uma alíquota de 1
177 mL da solução do radical foi diluída em 80 mL de álcool etílico para ajuste de
178 absorbância 0,70 nm ± 0,05 nm a 734 nm, em espectrofotômetro (6705 UV/VIS
179 Spectrophotometer JENWAY).

180

181 Para reação com os filmes, 2 mg de filme foram adicionados em 3 mL do radical
182 ABTS, foi agitado em vórtex, e mantido no escuro por 30 minutos.

183 Os resultados foram expressos em porcentagem de inibição calculada pela
184 equação 2, sendo "Abs_{branco}" a absorbância do etanol e "Abs_{amostra}" é a absorbância
185 da reação do extrato:

$$186 \text{ Inibição do ABTS (\%)} = \frac{(\text{Absbranco} - \text{Absamostra})}{\text{Absbranco}} \times 100 \quad \text{Equação 2}$$

187 **2.2.1.4. Solubilidade e teor de umidade**

188 A solubilidade dos filmes foi determinada de acordo o método de Gontard et
189 al.(1994). A análise foi realizada em triplicata, onde os filmes foram cortados em
190 círculo com diâmetro de 2,5 cm e foram secos em estufa a 105 °C por 24 horas até
191 massa seca constante para retirar umidade. Os filmes foram imersos em 50 mL de
192 água destilada em tubos falcons. Os tubos foram agitados em mesa agitadora
193 horizontal por 24 horas a 25 °C. Após, os filmes remanescentes foram retirados dos
194 tubos, secos em estufa a 105°C até peso constante para determinação da massa seca
195 final da amostra. A solubilidade foi expressa em termos de massa solubilizada, através
196 da relação entre a massa inicial e final dos filmes, conforme equação 3:

$$197 \text{ SM} = \frac{(\text{MASSA INICIAL} - \text{MASSA FINAL}) \times 100}{\text{MASSA INICIAL (g)}} \quad \text{Equação 3}$$

198 O teor de umidade dos filmes foi determinado pelo método descrito pela
199 Associação Americana de Químicos de Cereais (AACC 1995) em estufa a 105 °C com
200 circulação natural de ar até massa constante; os resultados foram expressos em (%).

201 **2.2.1.5. Análise de cor do extrato, pó da flor e filmes expostos a**
202 **diferentes pHs**

203 As soluções tampões foram feitas pelo método descrito por Gomori (2004). Foi
204 preparado soluções de tampão de pH do 2 ao 8. Para o tampão pH 2 foi utilizado
205 soluções estoque de cloreto de potássio (KCl) a 0,2 M e ácido clorídrico a 0,2 M. Para
206 os tampões pH 3,4,5 e 6 foi utilizado ácido cítrico a 0,1 M e solução de citrato de sódio
207 a 0,1 M. Para o tampão pH 7 e 8 foi utilizado solução estoque de fosfato de sódio
208 monobásico a 0,2 M e fosfato de sódio dibásico a 0,2 M. Todas as soluções foram
209 ajustadas em pHmômetro (KASVI).

210 Foi utilizado 10 mg de extrato liofilizado, 10 mg de pó da flor e filmes inteiros
211 (35x10 mm). A obtenção do extrato seguiu-se metodologia de Lee et al. (2005).

212 O espectro das cores dos filmes em diferentes pHs foi determinado por meio
213 de colorímetro, em cinco localizações aleatórias na amostra. De acordo com a
214 metodologia de Prietto, et al. (2017), os filmes foram colocados em um fundo branco
215 padrão antes da medição. Os resultados foram expressos em termos de valor L *
216 (luminosidade; 0 é preto puro e 100 é branco puro), croma a * (- é verde e + é
217 vermelho) e croma b * (- é azul e + é amarelo).

218 A opacidade foi determinada como a relação entre a opacidade do filme
219 sobreposto ao padrão preto (S_{black}) e ao padrão branco (S_{white}), em conformidade
220 com a equação 4 (HUNTERLAB, 1997):

221
$$OPACITY = \frac{S_{Black}}{S_{White}} \times 100 \quad \text{Equação 4}$$

222 Os filmes inteiros (35x10 mm) foram imersos em 5 mL de diferentes soluções
223 tampões de pH (2 ao 8). Em seguida, as peças foram secas em estufa com circulação

224 de ar a 30 ° C por 15 min. A mudança na cor (ΔE) dos filmes expostos em diferentes
225 pHs foi calculada usando a Equação 5.

226
$$\Delta E = \sqrt{[(\Delta L^*)^2 + (\Delta a^*)^2 + (\Delta b^*)^2]}$$

227
$$\Delta L^* = L^* - L_0^*$$

228
$$\Delta a^* = a^* - a_0^*$$

229
$$\Delta b^* = b^* - b_0^*$$
 Equação 5

230

231 Onde ΔE é a mudança de cor; L^* , a^* e b^* são os atributos de cor dos filmes em
232 cada valor de pH; e L_0^* , a_0^* e b_0^* são os parâmetros de cor da amostra de
233 referência.

234 **2.2.1.6. Potencial antibacteriano do extrato e filme**

235 A atividade antibacteriana foi avaliada pelo método de difusão em ágar segundo
236 Hendessi et al. (2016). Os filmes foram cortados em discos de 6 mm de diâmetro e
237 dispostos no centro das placas de Petri contendo ágar Mueller Hinton (MHA, Kasvi,
238 Brasil) previamente inoculado com a bactéria a ser testada (10^8 UFC.mL $^{-1}$). Foi
239 avaliada a susceptibilidade de micro-organismos Gram-positivos (*Listeria*
240 *monocytogenes* ATCC 7644) e *Staphylococcus aureus* (ATCC 25923) e Gram-
241 negativos (*Salmonella* Typhimurium (ATCC 14028) e *Escherichia coli* (ATCC 25922)).
242 As placas foram incubadas a 37 °C, durante 24 h. O diâmetro da zona de inibição foi
243 então medido.

244 **3. Análise estatística**

245 As análises estatísticas foram realizadas por meio de análise de variância
246 (ANOVA) com 95% de confiança, utilizando o software estatística 7.0.

247 **4. Resultados e discussão**

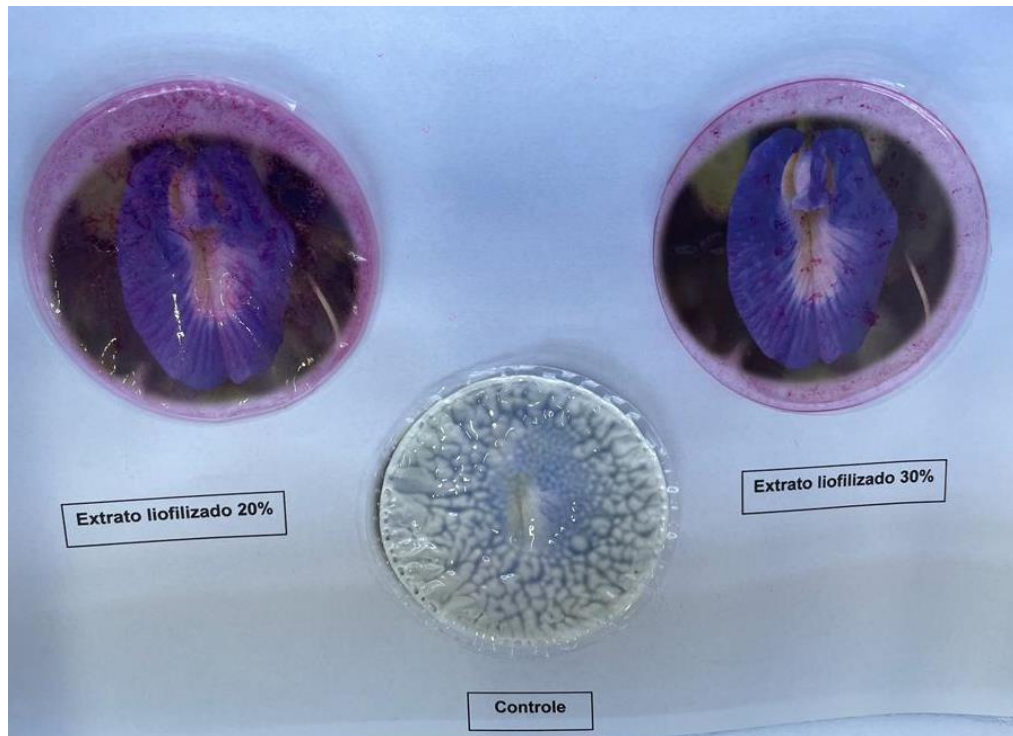
248 **4.1. Avaliação macroscópica dos filmes incorporados com extrato das**
249 **flores da *Clitoria ternatea***

250 As características macroscópicas dos filmes produzidos contendo 20% e 30%
251 com e sem extrato das flores da *Clitoria ternatea* estão apresentadas na Figura 1. Os
252 filmes contendo 20% e 30% de extrato liofilizado apresentaram transparência, no
253 entanto, é nítido a presença de partículas, as quais não foram totalmente
254 solubilizadas. Os filmes não apresentaram superfície totalmente lisa, apresentando
255 algumas rugosidades e bastante rígido. O filme controle é esbranquiçado e apresenta
256 muitas rugosidades.

257 A Figura 2 apresenta os filmes contendo 20% e 30% de flor liofilizada e o
258 controle. Ambos filmes contendo flor liofilizada apresentaram cor rosa intensa, o filme
259 contendo 20% de flor liofilizada apresenta baixa transparência, já o filme contendo
260 30% de flor liofilizada apresentou alta opacidade. Também é possível observar a
261 presença de partículas sólidas e rugosidade. O filme controle apresenta rugosidades
262 e baixa transparência devido a coloração branca.

263

264



265 **Figura 1.** Avaliação macroscópica dos filmes obtidos com 20 e 30 % de extrato liofilizado de *Clitoria ternatea* e filme controle obtido somente com acetato de celulose.
266

267



268 **Figura 2.** Avaliação macroscópica dos filmes obtidos com 20 e 30% do pó da flor de *Clitoria ternatea* e filme controle obtido somente com acetato de celulose.
269

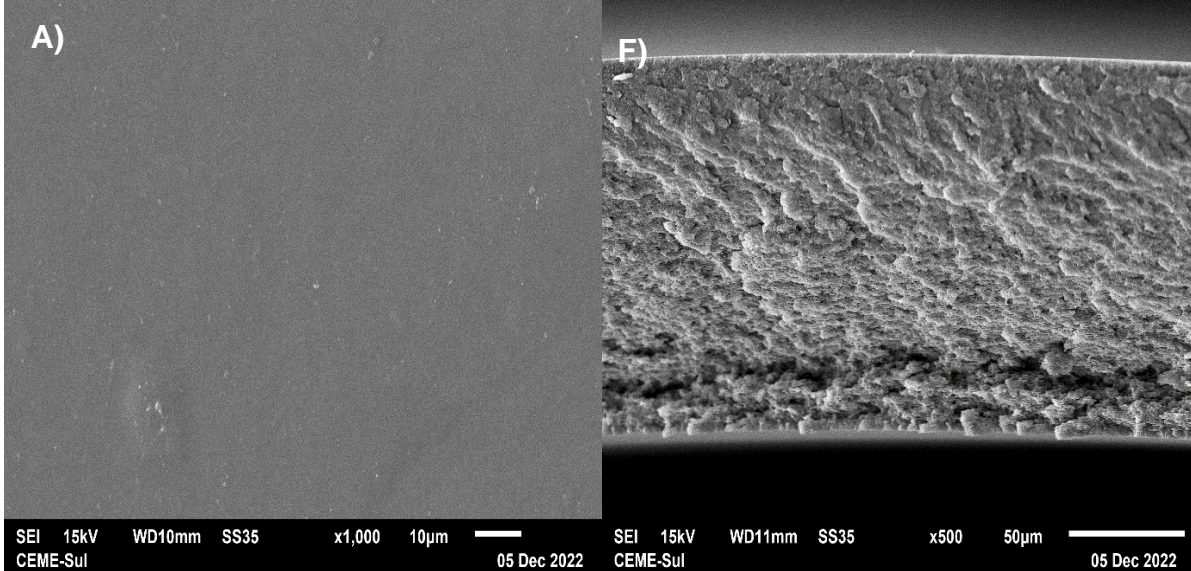
270

4.1.1. Morfologia

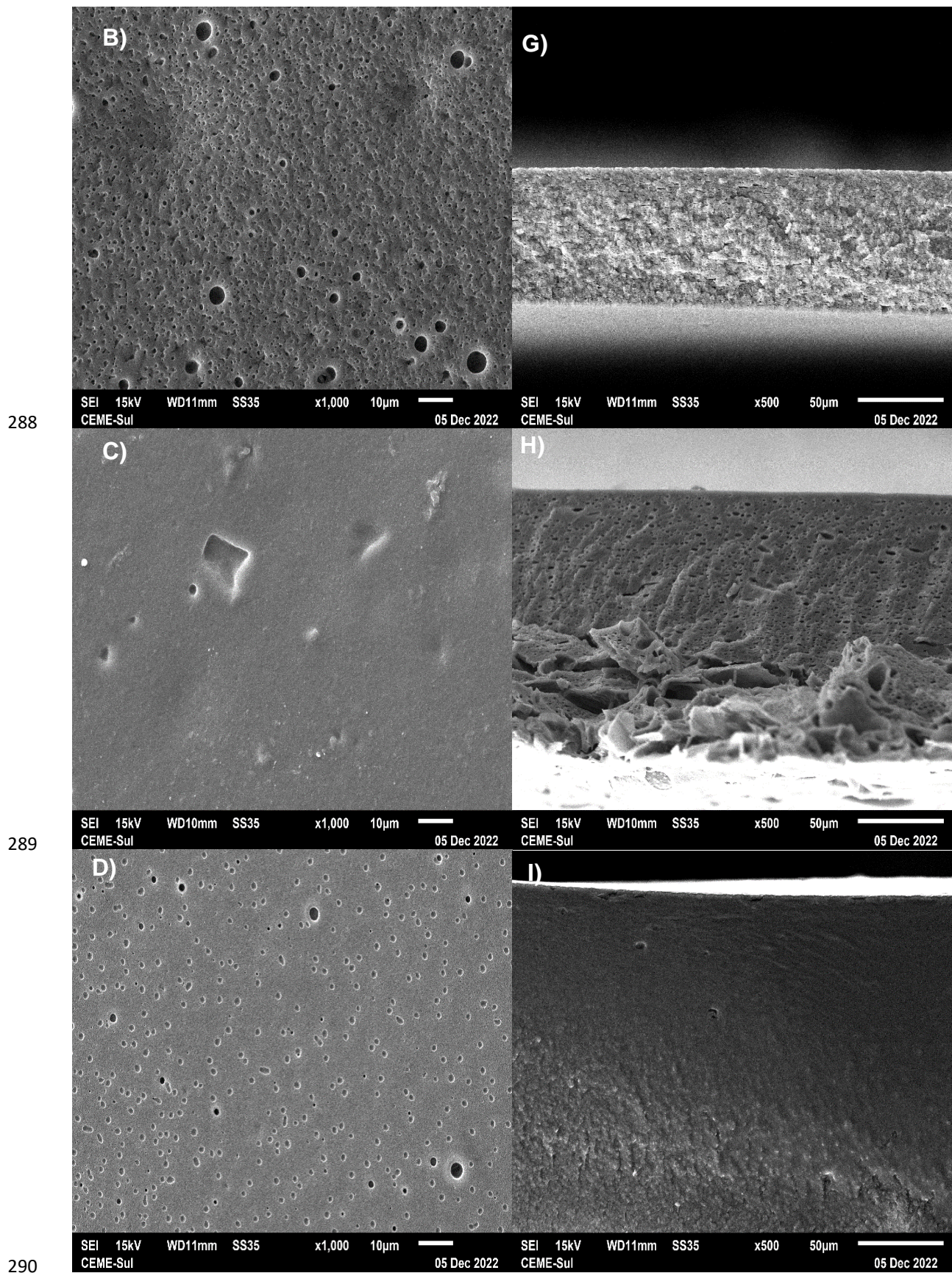
271 A morfologia dos filmes de acetato de celulose incorporadas de extrato
272 liofilizado, flor liofilizada e do filme controle, estão apresentados na Figura 3. O filme
273 controle (Figura 8A) demonstrou superfície lisa, sem poros ou trincas. Assis (2021)
274 demonstrou características semelhantes em seu estudo com filme controle de acetato
275 de celulose e acetona como solvente.

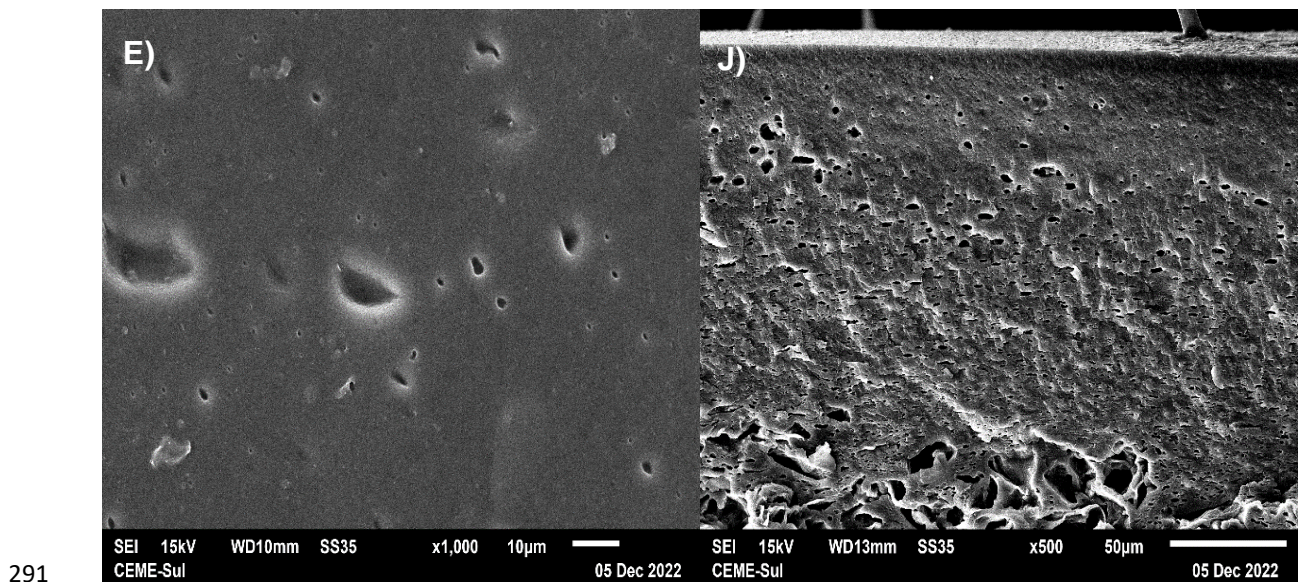
276 Os filmes contendo extrato 20% e extrato 30% (Figuras 8B e 8D,
277 respectivamente) apresentaram bolhas em sua superfície. Já os filmes contendo flor
278 20% e flor 30% (Figuras 8C e 8E, respectivamente) apresentaram partículas na
279 superfície, oriundas dos sólidos contidos nas flores, os quais não foram solubilizados
280 na dispersão. As Figuras 8F, 8G, 8H, 8I e 8J indicam a seção transversal dos filmes.
281 Gonçalves et al. (2019) obtiveram filmes de acetato de celulose com adição do
282 plastificante glicerol, e demonstraram em seu estudo características semelhantes as
283 encontradas no presente estudo, onde os filmes apresentaram rugosidade, baixa
284 transparência e opacidade e bolhas. Essas condições estão diretamente ligadas a
285 secagem (VILLALOBOS et al., 2005).

286



287





	Espessura (mm)	Atividade antioxidante (% Inibição)	
		ABTS	DPPH
Controle	0,315± 0,10 ^a	-	-
	0,183± 0,01 ^a	-	-
	0,329± 0,01 ^a	-	-
Flor 20%	0,156± 0,01 ^a	38,31± 0,01 ^a	35,50±0,10 ^b
	0,111± 0,01 ^b	38,16± 0,01 ^a	35,68±0,18 ^b
	0,158± 0,01 ^a	37,73± 0,01 ^a	37,41±0,31 ^a
Extrato 20%	0,129±0,01 ^a	36,87±0,01 ^c	31,42±0,18 ^b
	0,134± 0,01 ^b	37,02±0,01 ^b	31,68±0,09 ^b
	0,140± 0,01 ^b	37,54±0,06 ^a	35,50±0,13 ^a
Flor 30%	0,150± 0,01 ^a	35,87±0,14 ^b	32,36±0,05 ^c
	0,146± 0,01 ^{ab}	36,01±0,18 ^b	34,99±0,10 ^b
	0,132± 0,01 ^b	36,73±0,01 ^a	36,91±0,13 ^a
Extrato 30%	0,251± 0,17 ^a	35,87±0,01 ^b	32,00±0,09 ^c
	0,261± 0,12 ^a	36,01± 0,11 ^b	32,40± 0,10 ^b
	0,352± 0,15 ^a	36,73±0,01 ^a	33,19±0,09 ^a

310 Médias seguidas das mesmas letras não diferem entre si ($p > 0,05$) pelo teste de Tukey ao nível de 5%
 311 de significância.

312 A atividade antioxidante dos filmes incorporados de compostos
 313 antociânicos, apresentou percentual de inibição de 31,42% a 38,31% em ambos
 314 radicais estudados (ABTS e DPPH). Esse teor elevado da-se pelo fato das
 315 antocianinas presentes nas flores da *Clitoria ternatea*, possuir o efeito de eliminação
 316 do radical livre, as quais possuem grande número de hidroxilos (SYAHIRAH et al.,
 317 2018; HAVANDA et al., 2019).

318 Um estudo de Qi et al. (2022), produziu filmes de etileno vinil álcool (EVOH) e
 319 nisina, incorporados com as flores da *Clitoria ternetea* em pó e sementes de romã em
 320 pó, e obteve percentual de inibição de 80% para DPPH. Grzebieniarz et al. (2023)
 321 demonstraram que os filmes de dupla camada (gelatina e furcellaran) com adição de
 322 5% de conteúdo aquoso das flores da *Clitoria ternatea* possuiu maior capacidade de
 323 eliminação dos radicais livres DPPH (60%).

324 Santos et al. (2022) avaliou a atividade antioxidante quanto ao radical ABTS,
325 dos filmes de alginato de sódio incorporados com antocianinas das flores da *Clitoria*
326 *ternatea*, em simulação em meio aquoso, apresentou maior capacidade
327 sequestradora (23% a 70%) pelo método de inibição de radicais livres (%).

328 **4.1.3. Solubilidade e umidade**

329 Os resultados de solubilidade e umidade dos filmes estão apresentados na
330 Tabela 2. Os filmes controle, contendo extrato 20% e extrato 30% apresentaram
331 menor da solubilidade em água, em comparação aos filmes contendo flor liofilizada
332 20% e flor 30%. Esse fato pode ser atribuído ao extrato liofilizado, o qual concentra a
333 quantidade de compostos antociânicos e a natureza hidrofílica das antocianinas
334 contidas nas flores da *Clitoria ternatea* e pelo extrato (HALASZ et al., 2018). O teor de
335 umidade não obteve diferenças estatísticas significativas, no entanto, o extrato
336 contendo 20% e 30% obtiveram um pequeno aumento, ~16,3% e ~15,8%,
337 respectivamente.

338 Singh et al. (2021) avaliaram a solubilidade e umidade de filmes de quitosana
339 e álcool polivinílico incorporados com extrato das flores da *Clitoria ternatea*, e
340 obtiveram teor de solubilidade superior (6,89%) e teor de umidade (~12,63%), tal fato
341 pode ser atribuído ao tipo de material polimérico utilizado para produção do filme.

342 Com o resultado de solubilidade baixa dos filmes de acetato de celulose,
343 incorporados de compostos antociânicos provenientes das flores da *Clitoria ternatea*,
344 é possível a adição desses filmes dentro de uma embalagem de alimento o qual
345 possua alta atividade de água.

346 **Tabela 2.** Solubilidade em água e teor de umidade dos filmes de acetato de celulose
347 contendo o extrato e as flores liofilizadas a 20% e 30% de *Clitoria ternatea*.

348

349

350

	Solubilidade (%)	Umidade (%)
Controle	0,09± 0,01 ^c	14,9±1,80 ^a
Flor 20%	0,11± 0,01 ^{ab}	13,8±2,80 ^a
Flor 30%	0,11± 0,01 ^a	15,3± 1,00 ^a
Extrato 20%	0,09± 0,01 ^{bcd}	16,3± 2,70 ^a
Extrato 30%	0,10± 0,01 ^{abc}	15,8±2,50 ^a

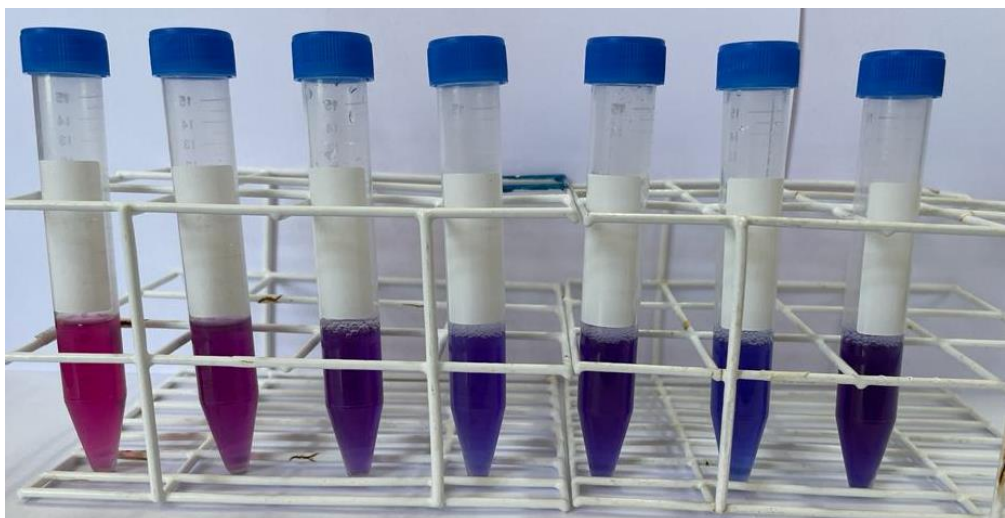
352 Médias seguidas das mesmas letras não diferem entre si ($p > 0,05$) pelo teste de Tukey ao nível de 5%
 353 de significância.

354 **4.1.4. Análise de cor do extrato, flor liofilizada e filmes expostos a
 355 diferentes pHs**

356 A mudança de cor do extrato liofilizado no intervalo de pH de 2-8 (Figura 4) e
 357 do pó da flor no intervalo de pH 2-8 (Figura 5) evidencia que: em pH extremamente
 358 ácido (pH 2 e 3) a flor liofilizada apresentou coloração rosada, no entanto, com o
 359 aumento do pH da solução, a coloração variou do violeta ao azul (pH 4 ao 8) – Figura
 360 4. A mudança de cor é mais sensível para a flor liofilizada quando comparada ao
 361 extrato. Já no extrato liofilizado, a mudança de coloração tornou-se mais escura, para
 362 tons de verde, o que se confirmou quando os filmes foram expostos a diferentes
 363 soluções de tampões de pH (Tabela 3, 4, 5 e 6).

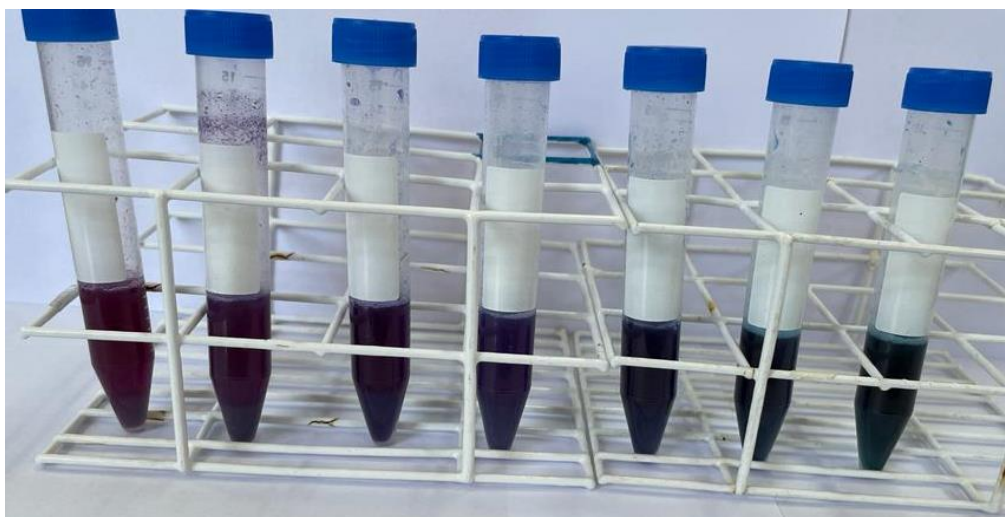
364 O pH é o principal fator que influencia na mudança de cor dos compostos
 365 antociânicos (BORDIGNON, 2009; SHARMA et al., 2013). As antocianinas podem
 366 apresentar diferentes formas estruturais, tais como o cátion flavílico, a base quinoidal,
 367 o carbinol e a chalcona. A principal forma da antocianina é o cátion flavílico, em
 368 solução aquosa o cátion flaviuum apresenta coloração vermelho (pH 1 e 2), base

369 anidra quinoidal (azul), pseudo-base carbitol (incolor), e chalcona (incolor ou
370 levemente amarela) (KHOO et al., 2017; ANDRETTA et al., 2019).



371

372 **Figura 4.** Mudança de cor no pó da flor no intervalo de pH 2 (esquerda) ao 8 (direita).



373

374 **Figura 5.** Mudança de cor no extrato liofilizado no intervalo de pH 2 (esquerda) ao 8 (direita).

375 Os parâmetros de cor em diferentes pHs (2-8), estão apresentados na Tabela
376 3, 4, 5 e 6, para avaliação das coordenadas L* (preto = 0 ao branco = 100), a* (+a
377 indica vermelho e -a indica verde) e b* (+b indica amarelo e -b indica azul). Todos os
378 filmes avaliados apresentaram valor de L* alto, indicando uma maior luminosidade.
379 De acordo com as coordenadas de cromaticidade, foi possível observar o valor de a*

380 diminuir, conforme procedeu-se o aumento do pH, o que indica a presença da
381 coloração rosa com mais intensidade em pHs mais ácidos. Enquanto, no croma b*, os
382 resultados indicaram maior predominância da cor azul.

383 Os resultados obtidos nesse estudo são semelhantes aos avaliados por Koshy
384 et al. (2022), o qual avaliou a cor de filmes produzidos com proteína isolada de soja e
385 quitina incorporados de antocianinas oriundas do extrato da *Clitoria ternatea*, relatou
386 um maior valor de ΔE , indicando que o filme ficou mais escuro. Os autores também
387 relataram baixo valor do croma a* e do croma b*, indicando a mudança da cor
388 vermelha para verde e a mudança de azul para amarelo. Em relação ao ΔE , valores
389 superiores a 5, indicam que as diferenças de cor podem ser facilmente identificadas a
390 olho nu (POURJAVAHER et al., 2017; KOSHY et al., 2022). Os resultados obtidos
391 para ΔE neste estudo foram superiores a 5, concordando com as Figuras 9 e 10, onde
392 ocorreu a diferença de cor em diferentes pHs, sendo facilmente observada pelo olhar
393 humano.

394 **Tabela 3.** Parâmetros de cor (L*, a*, b*, ΔE e opacidade) do filme contendo 20% de
395 extrato de *Clitoria ternatea*, expostos a diferentes pHs.

Extrato 20%				
	L*	a*	b*	ΔE
pH2	70,64 ± 1,22 ^a	28,87 ± 2,73 ^c	0,04 ± 0,97 ^d	76,36 ± 0,83 ^a
pH3	55,62 ± 12,01 ^a	28,59 ± 3,70 ^a	-1,98 ± 5,10 ^b	63,14 ± 9,7 ^{ab}
pH4	66,40 ± 1,57 ^a	26,93 ± 2,97 ^a	-3,52 ± 2,07 ^b	71,80 ± 2,42 ^a
pH5	66,59 ± 2,19 ^a	29,27 ± 1,61 ^b	-1,05 ± 0,40 ^d	72,78 ± 1,43 ^a
pH6	64,67 ± 1,45 ^a	26,36 ± 2,54 ^c	-6,08 ± 3,69 ^c	70,21 ± 1,85 ^c
pH7	68,95 ± 1,87 ^a	24,58 ± 1,40 ^c	-1,84 ± 0,40 ^a	73,23 ± 2,06 ^a
pH8	70,04 ± 0,69 ^a	25,41 ± 1,76 ^b	-1,13 ± 0,84 ^b	74,54 ± 0,61 ^a
Opacidade			67,57 ± 2,89 ^c	

396 Valores expressos como média ± desvio padrão. Médias na mesma coluna seguidas por diferentes
397 letras são significativamente diferentes ($p < 0,05$). Onde L*: luminosidade; a*:vermelho/verde e
398 b*:amarelo/azul. A opacidade das soluções foram calculadas usando a equação 4. Os valores ΔE das
399 soluções foram calculados usando a Equação 5.

400 **Tabela 4.** Parâmetros de cor (L*, a*, b*, ΔE e opacidade) do filme conten20% de pó
401 da flor de *Clitoria ternatea*, expostos a diferentes pHs.

Flor 20%				
	L*	a*	b*	ΔE
pH2	45,22 ± 1,96 ^c	43,99 ± 0,52 ^a	10,74 ± 0,53 ^b	64,01 ± 1,43 ^c
pH3	40,50 ± 1,27 ^b	38,87 ± 2,13 ^b	4,57 ± 2,59 ^b	56,37 ± 2,36 ^b
pH4	42,55 ± 0,71 ^c	38,48 ± 1,87 ^b	4,35 ± 0,90 ^c	57,54 ± 1,75 ^b
pH5	45,22 ± 1,96 ^c	43,99 ± 0,52 ^c	10,74 ± 0,53 ^b	64,01 ± 1,43 ^c
pH6	41,83 ± 1,43 ^c	38,87 ± 1,43 ^a	5,27 ± 1,54 ^a	57,38 ± 1,27 ^a
pH7	43,27 ± 1,14 ^c	37,34 ± 2,08 ^a	3,43 ± 1,51 ^b	57,30 ± 1,48 ^c
pH8	45,50 ± 1,41 ^{bc}	38,41 ± 2,34 ^a	7,45 ± 0,99 ^a	60,04 ± 1,84 ^{bc}
Opacidade	67,00 ± 4,11 ^c			

402 Valores expressos como média ± desvio padrão. Médias na mesma coluna seguidas por diferentes
 403 letras são significativamente diferentes ($p < 0,05$). Onde L*: luminosidade; a*:vermelho/verde e
 404 b*:amarelo/azul. A opacidade das soluções foram calculadas usando a equação 4. Os valores ΔE das
 405 soluções foram calculados usando a Equação 5.

406

407 **Tabela 5.** Parâmetros de cor (L*, a*, b*, ΔE e opacidade) do filme contendo 30% de
 408 extrato de *Clitoria ternatea*, expostos a diferentes pHs.

Extrato 30%				
	L*	a*	b*	ΔE
pH2	60,58 ± 2,34 ^b	32,59 ± 2,74 ^c	5,63 ± 1,29 ^c	69,10 ± 0,84 ^b
pH3	57,85 ± 2,47 ^a	34,25 ± 6,05 ^{ab}	1,88 ± 4,96 ^b	67,64 ± 1,27 ^a
pH4	55,68 ± 3,13 ^b	38,90 ± 3,34 ^b	6,91 ± 2,09 ^c	68,41 ± 1,23 ^a
pH5	53,57 ± 2,21 ^b	41,05 ± 3,03 ^c	6,62 ± 2,88 ^c	67,93 ± 1,72 ^b
pH6	59,65 ± 3,42 ^b	28,11 ± 3,13 ^c	1,77 ± 2,6b ^c	66,11 ± 2,21 ^c
pH7	49,02 ± 7,91 ^c	30,66 ± 1,63 ^b	0,69 ± 1,02 ^c	57,91 ± 7,31 ^c
pH8	53,13 ± 3,67 ^b	37,92 ± 3,47 ^a	1,16 ± 4,52 ^b	65,43 ± 4,77 ^{ab}
Opacidade	34,74 ± 8,99 ^a			

409 Valores expressos como média ± desvio padrão. Médias na mesma coluna seguidas por diferentes
 410 letras são significativamente diferentes ($p < 0,05$). Onde L*: luminosidade; a*:vermelho/verde e
 411 b*:amarelo/azul. A opacidade das soluções foram calculadas usando a equação 4. Os valores ΔE das
 412 soluções foram calculados usando a Equação 5.

413

414 **Tabela 6.** Parâmetros de cor (L*, a*, b*, ΔE e opacidade) do filme contendo 30% de
 415 flor de *Clitoria ternatea*, expostos a diferentes pHs.

	Flor 30%			
	L*	a*	b*	ΔE
pH2	70,64 ± 1,85 ^d	37,31 ± 1,78 ^b	14,45 ± 1,96 ^a	57,32 ± 2,43 ^d
pH3	43,55 ± 1,37 ^b	37,33 ± 1,69 ^b	13,71 ± 1,94 ^a	59,02 ± 1,14 ^{ab}
pH4	42,40 ± 2,36 ^c	38,24 ± 3,32 ^b	11,75 ± 2,61 ^a	58,35 ± 3,78 ^b
pH5	41,01 ± 1,85 ^d	37,31 ± 1,78 ^a	14,45 ± 1,96 ^a	57,32 ± 2,43 ^d
pH6	34,83 ± 2,92 ^d	16,94 ± 3,63 ^b	1,67 ± 0,84 ^{ab}	38,82 ± 4,10 ^b
pH7	29,71 ± 0,86 ^b	10,55 ± 0,97 ^d	1,82 ± 0,16 ^{bc}	31,59 ± 1,07 ^b
pH8	41,08 ± 9,61 ^c	24,30 ± 9,00 ^b	3,12 ± 1,23 ^{ab}	47,99 ± 12,52 ^c
Opacidade			70,63 ± 9,02 ^c	

416 Valores expressos como média ± desvio padrão. Médias na mesma coluna seguidas por diferentes
 417 letras são significativamente diferentes ($p < 0,05$). Onde L*: luminosidade; a*:vermelho/verde e
 418 b*:amarelo/azul. A opacidade das soluções foram calculadas usando a equação 4. Os valores ΔE das
 419 soluções foram calculados usando a Equação 5.

420

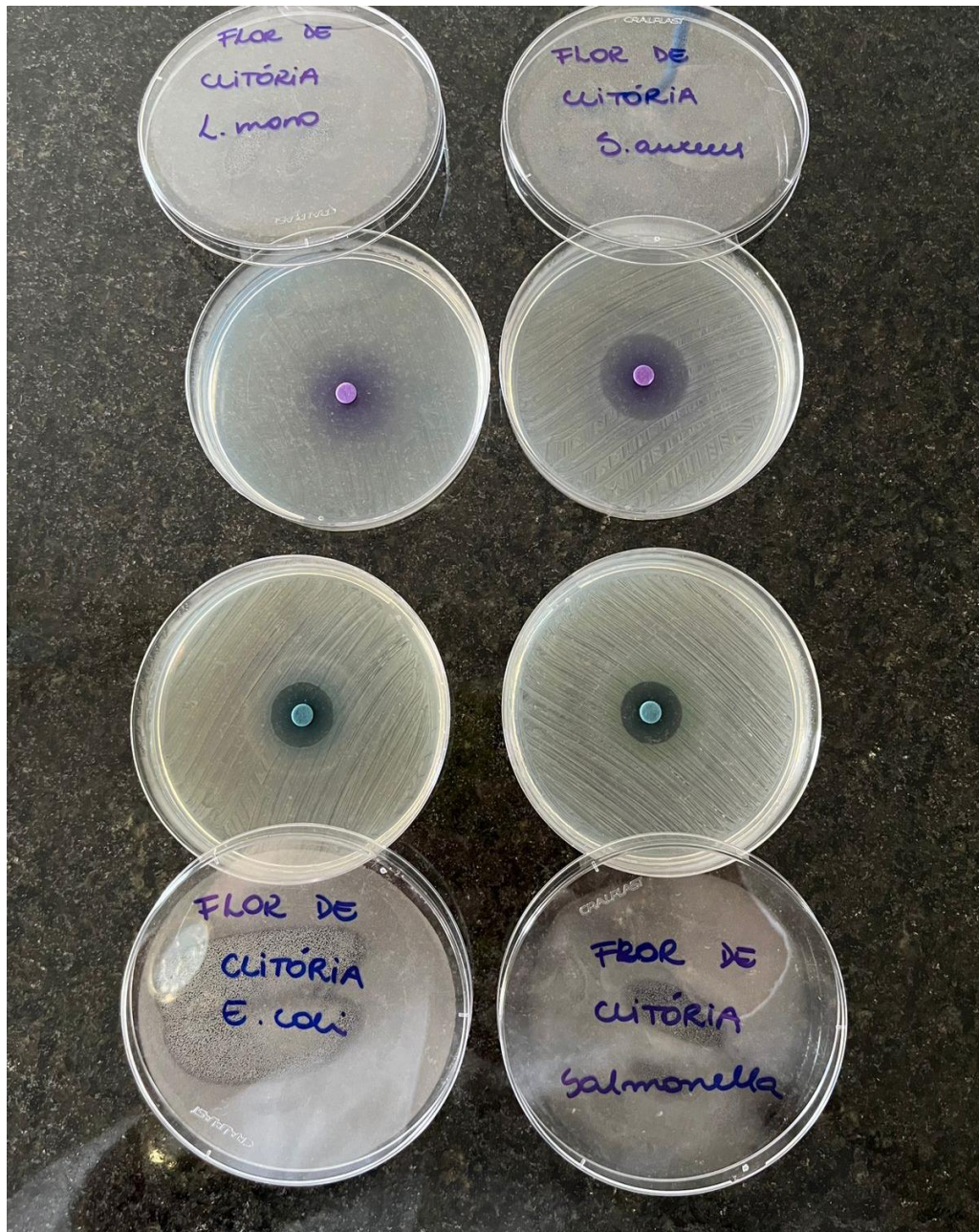
421 4.1.5. Atividade antibacteriana

422 A atividade antibacteriana do extrato das flores da *Clitoria ternatea* (Figura 6) e
 423 dos filmes de acetato de celulose incorporados com antocianinas das flores da *Clitoria*
 424 *ternatea*, apresentaram halos (Figura 7, 8, 9 e 10). Além da mudança de cor do extrato
 425 e também filmes, pela ação das bactérias gram-negativas, os quais apresentavam
 426 coloração rosada. Nas Figuras 9 e 10, frente às bactérias *S. Typhimurium* e *E. coli*,
 427 ocorreu a mudança de cor do filme para o verde, tanto para o extrato a 20% e 30%
 428 quanto para a flor liofilizada a 20% e 30%. É sabido que os resultados da atividade
 429 antibacteriana têm relação com o extrato das flores da *Clitoria ternatea*, o qual é rico
 430 em antocianinas e compostos fenólicos, e pelo fato de o extrato possuir ácido cítrico,
 431 o qual potencializa essas propriedades microbiológicas (BUREL et al., 2021). Porém,
 432 os mecanismos que promovem a mudança de coloração dos filmes frente a esses
 433 patógenos alimentares deverá ser abordado em estudos futuros.

434 Santos et al. (2023), analisou a atividade antibacteriana pelo método de difusão
 435 em disco, frente a *S. aureus* (ATCC-6538) e *E. coli* (ATCC-8739) dos filmes de
 436 alginato de sódio incorporados de extrato de *Clitoria ternatea*, porém, somente o filme

437 contendo 40% de extrato gerou zonas de inibição e não houve relato do autor na
438 mudança de cor dos filmes na presença das bactérias mencionadas.

439 Grzebieniarz et al., (2023), produziu filmes de dupla camada com gelatina e
440 furcellaran e incorporados com extrato das flores da *Clitoria ternatea* e extrato das
441 sementes de romã e analisou a atividade antibacteriana frente a *S. aureus*,
442 *Enterococcus faecalis*, *E. coli*, *S. Enterica*, *P. aeruginosa*. O extrato na maior
443 concentração testada, 10%, obteve halos de inibição, no entanto, os filmes não
444 mudaram de cor.

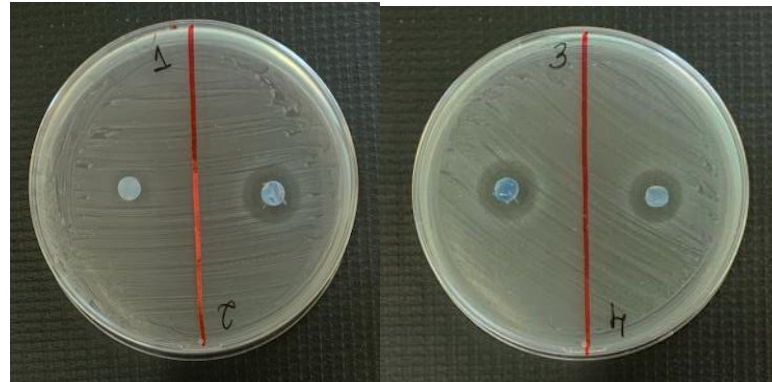


445

446 **Figura 6.** Avaliação microbiológica do extrato livre das flores de *Clitoria ternatea* frente a *Listeria*
447 *monocytogenes* (sem mudança de coloração), *Staphylococcus aureus* (sem mudança de coloração),
448 *Escherichia coli* (com alteração de cor) e *Salmonella Typhimurium* (com alteração de cor).

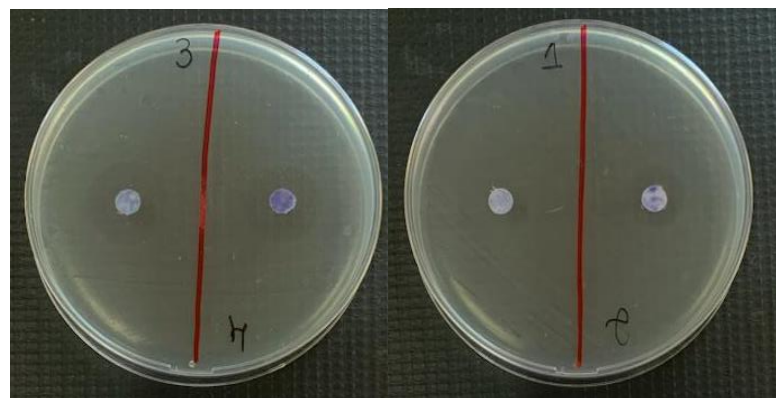
449

450



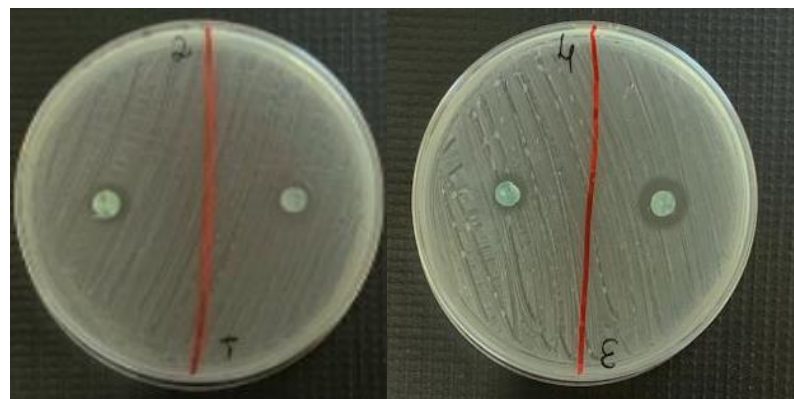
451 **Figura 7.** Avaliação microbiológica do filme incorporado com flores de *Clitoria ternatea* frente a
452 *Staphylococcus aureus*. A numeração das placas corresponde por: (1) Extrato 20%; (2) Extrato 30%;
453 (3) Flor 20% e (4) Flor 30%.

454



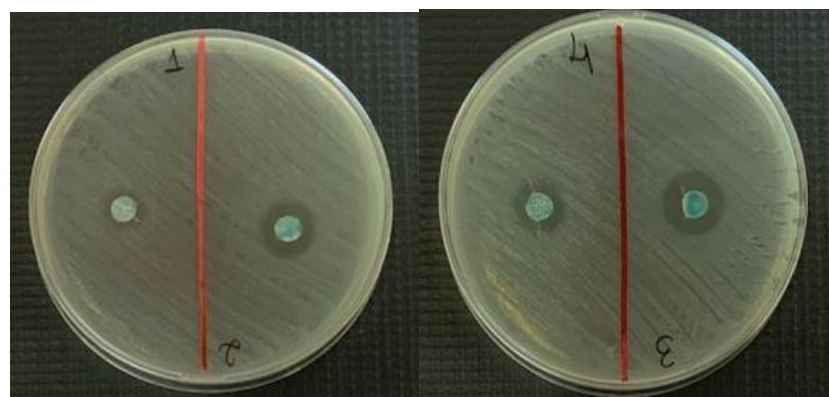
455 **Figura 8.** Avaliação microbiológica do filme incorporado com flores de *Clitoria ternatea* frente a *Listeria*
456 *monocytogenes*. A numeração das placas corresponde por: (1) Extrato 20%; (2) Extrato 30%; (3) Flor
457 20% e (4) Flor 30%.

458



459 **Figura 9.** Avaliação microbiológica do filme incorporado com flores de *Clitoria ternatea* frente a
460 *Salmonella Typhimurium*. A numeração das placas corresponde por: (1) Extrato 20%; (2) Extrato 30%;
461 (3) Flor 20% e (4) Flor 30%.

462



463

464 **Figura 10.** Avaliação microbiológica do filme incorporado com flores de *Clitoria ternatea* frente a
465 *Escherichia coli*. A numeração das placas corresponde por: (1) Extrato 20%; (2) Extrato 30%; (3) Flor
466 20% e (4) Flor 30%.

467 **5. Conclusão**

468 A produção dos filmes biodegradáveis, utilizando o acetato de celulose,
469 incorporados de compostos bioativos das flores da *Clitoria ternatea*, pode ser uma
470 alternativa para incorporação em embalagens de alimentos. Os filmes apresentam
471 atividade antioxidante e baixa solubilidade em água, tornando possível a incorporação
472 desse material no interior e em contato com alimentos que possuam alta taxa de
473 atividade de água.

474 A mudança de cor no extrato liofilizado e na flor liofilizada expostas a diferentes
475 soluções de tampões, apresentou potencial para uso em pH indicador em embalagens
476 inteligentes de alimentos. Além da possibilidade uso dos filmes (extrato 20% e 30%)
477 e (flor liofilizada 20% e 30%) como indicador de microorganismos, por conta da
478 modificação da cor dos filmes frente a bactérias gram-negativas (*S. Typhimurium* e *E.
479 Coli*). Os achados do presente trabalho sugere estudos futuros para compreender o

480 metabolismo responsável pela modificação de cor dos filmes contendo extrato de
481 *Clitoria ternatea*.

482 **6. Referências bibliográficas**

483 AACC- ASSOCIAÇÃO AMERICANA DE QUÍMICOS DE CEREAIS, 1995 AACC-
484 ASSOCIAÇÃO AMERICANA DE QUÍMICOS DE CEREAIS (9^aed.), **Métodos**
485 **aprovados da associação americana de químicos de cereais**, v. 1e 2, São
486 Paulo,1995.

487 ANDRETTA, R.; LUCHESE, C. L.; TESSARO, I. C.; SPADA, J. C. Development and
488 characterization of pH-indicator films based on cassava starch and blueberry residue
489 by thermocompression. **Food Hydrocolloids**, v. 93, p. 317–324, 2019.

490 ASSIS, R.Q., LOPES, S.M., COSTA, T.M.H., FLÔRES, S.H., RIOS, A.O. Active
491 biodegradable cassava starch films incorporated lycopene nanocapsules. **Industrial**
492 **Crops and Products**, v.109, p.818-827, 2017.

493 ASSIS, Renato Queiroz. **FILMES ATIVOS À BASE DE ACETATO DE CELULOSE**
494 **COM ADIÇÃO DE LICOPENO, NORBIXINA OU ZEAXANTINA**. 2021. 122f. Tese
495 (Doutorado) – Universidade Federal do Rio Grande do Sul, Instituto de Ciência e
496 Tecnologia de Alimentos, Programa de Pós-Graduação em Ciência e Tecnologia de
497 Alimentos, Porto Alegre, 2021.

498 ASTM. ASTM D882. **Métodos de teste padrão de transmissão de vapor de água**
499 **de materiais**. Livro anual de normas ASTM, Sociedade Americana de Testes e
500 Materiais, Filadélfia, p.96-95, 1995.

501 AZIMA, A.S., NORIHAM, A., MANSHOOR, N. Phenolics, antioxidants and color
502 properties of aqueous pigmented plant extracts: *Ardisia colorata* var. *elliptica*, *Clitoria*
503 *ternatea*, *Garcinia mangostana* and *Syzygium cumini*. **Journal of functional foods**,
504 v.38, parte A, p.232-241, 2017.

- 505 BIJI, K. B. et al. Smart packaging systems for food applications: a review. **Journal of**
506 **Food Science and Technology**, v.52, n.10, p.6125-6135, 2015.
- 507 BORDIGNON C.Jr., FRANCESCATTO, V., NIENOW, A.A., CALVETE, E.,
508 REGINATTO, F.H. Influência do pH da solução extrativa no teor de antocianinas em
509 frutos de morango. **Ciência e Tecnologia de Alimentos**, v. 29, n.1. p. 183-188. 2009.
- 510 BRAND-WILLIAMS, W.; CUVELIER, M. E.; & BERSET, C. L. W. T. Use of a free
511 radical method to evaluate antioxidant activity. **LWT-Food science and Technology**,
512 v. 28, n1, p. 25-30, 1995.
- 513 BUREL, C., KALA, A., PUREVDORJ-GAGE, L. Impact of pH on citric acid antimicrobial
514 activity against Gram-negative bactéria. **Letters in applied microbiology**, v.72, n.3,
515 p. 332-340, 2021.
- 516 CHALES, Eduardo Henrique. **Uso de antocianinas para aplicação em embalagens**
517 **de alimentos**. 2018, 29f. Trabalho de conclusão de curso (Técnico em alimentos
518 integrado ao ensino médio) - Instituto Federal de São Paulo - Campus Barretos, 2018.
- 519 FONSECA, L. M.; OLIVEIRA, J. P.; CRIZEL, R. L.; SILVA, F. T.; ZAVAREZE, E. R.;
520 BORGES, C. D. Electrospun Starch Fibers Loaded with Pinhão (*Araucaria*
521 *angustifolia*) Coat Extract Rich in Phenolic Compounds. **Food Biophysics**, 2020.
- 522 GASTI, T., DIXIT, S., HIREMANI, V.D., CHOUGALE, R.B., MASTI, S.P., VOOTLA,
523 S.K., MUDIGOUDRA, B.S. Chitosan/pullulan based films incorporated with clove
524 essential oil loaded chitosan-ZnO hybrid nanoparticles for active food packaging.
525 **Carbohydrate Polymers**, v.277, p.118866, 2022.
- 526 GHAANI, M. et al. An overview of the intelligent packaging Technologies in the food
527 sector. **Trends in Food Science & Technology**, v.51, p. 1-11, 2016.
- 528 GOMORI, G. Preparation of Buffers for Use in Enzyme Studies, In: GOMORI, G.
529 Handbook of Biochemistry and Molecular Biology, p.11, 2004.

- 530 GONÇALVES, G.C.P., ROSAS, A.L.G., SOUSA, R.C., VIEIRA, T.R.R., SOUSA,
531 T.C.A., RAMIRES, T., SILVEIRA, T.F.F., BARROS, L., SILVA, W.P., DIAS, A.R.G.,
532 ZAVAREZE, E.R., MEINHART, A.D. A green method for anthocyanin extraction from
533 *Clitoria ternatea* Flowers cultivated in Southern Brazil: characterization, *in vivo* toxicity
534 and biological activity. Artigo submetido na revista Food Chemistry, referente ao
535 capítulo 1 deste documento. 2023.
- 536 GONÇALVES, S.M., dos SANTOS, D.C., MOTTA, J.F.G., SANTOS, R.R., CHÁVEZ,
537 D.W.H., MELO, N.R. Structure and functional properties of cellulose acetate films
538 incorporated with glycerol. **Carbohydrate Polymers**, v. 209, p.190–197, 2019.
- 539 GONTARD, N.; DUCHEZ, C.; CUQ, J.; GUILBERT, S. Edible composite films of wheat
540 gluten and lipids: Water vapor permeability and other physical properties.
541 **International Journal Food Science Technology**, v. 29, n. 1, p. 39-50, 1994.
- 542 GRZEBIENIARZ, W., TKACZEWSKA, J., JUSCZAK, L., KAWECKA, A., KRZYSCIAK,
543 P., NOWAK, N., GUZIK, P., KASPRZAK, M., JANIK, M., JAMRÓZ, E. The influence of
544 aqueous butterfly pea (*Clitoria ternatea*) flower extract on active and intelligent
545 properties of furcellaran Double-Layered films - *in vitro* and *in vivo* research. **Food**
546 **Chemistry**, v.413, p.135612, 2023.
- 547 HALASZ, K., CSOKA, L. Black chokeberry (*Aronia melanocarpa*) pomace extract
548 immobilized in chitosan for colorimetric pH indicator film application. **Food Packaging**
549 and **Shelf Life**, v.16, p.185-193, 2018.
- 550 HAVANDA, T. LUENGWILAI, K. Variation in floral antioxidant activities and
551 phytochemical properties among butterfly pea (*Clitoria ternatea* L.) germplasm.
552 **Genetic Resources and Crop Evolution**, v, 66, n. 4. p. 645-658. 2019.

- 553 HENDESSI, S., SEVINIS, E.B., UNAL, S., CEBECI, F.C., MENCELOGLU, Y.Z., UNAL,
554 H. Antibacterial sustained-release coatings from halloysite nanotubes/waterborne
555 polyurethanes. **Progress in Organic Coatings**, v.101, p.253-261, 2016.
- 556 HONGYAN, L., ZEYUAN, D., HONGUI, Z., CHANLI, H., RONGHUA, L., YOUNG, C.J.,
557 RONG T. Highly pigmented vegetables: Anthocyanin compositions and their role in
558 antioxidant activities. **Food Research International**, v.46, n.1, p. 250-259, 2012.
- 559 KALT, W., MCDONALD, J.E., DONNER, H. Anthocyanins, Phenolics, and Antioxidant
560 Capacity of Processed Lowbush Blueberry Products. **Journal of Food Science**, v.65,
561 n.3, p.390–393, 2000.
- 562 KHOO, H. E., AZLAN, A., TANG, S. T., LIM, S. M. Anthocyanidins and anthocyanins:
563 colored pigments as food, pharmaceutical ingredients, and the potential health
564 benefits. **Food and nutrition research**, v.61, n.1, p 2-21. 2017.
- 565 KOSHY, R.R., REGHUNADHAN, A., MARY, S.K, PILLAI, P.S., JOSEPH, S.,
566 POTHEN, L.A. pH indicator films fabricated from soy protein isolate modified with chitin
567 nanowhisker and *Clitoria ternatea* flower extract. **Current Research in Food Science**,
568 v. 5, p.743-751, 2022.
- 569 KRITHIGA, N., RAJALAKSHMI, A., JAYACHITRA, A. Green synthesis of silver
570 nanoparticles using leaf extracts of clitoria ternatea and solanum nigrum and study of
571 its antibacterial effect against common nosocomial pathogens. **Journal of**
572 **Nanoscience**, v. 2015, p.1- 8. 2015.
- 573 LEE, J.; DURST, R. W.; WROLSTAD, R. E. Determination of total monomeric
574 anthocyanin pigment content of fruit juices, beverages, natural colorants, and wines by
575 the pH differential method: collaborative study. **Journal of AOAC international**, v. 88,
576 n. 5, p. 1269-1278, 2005.
- 577 MA, Q., WANG, L. Preparation of a visual pH-sensing film based on tara gum
578 incorporating cellulose and extracts from grape skins. **Sensors and Actuators B:**
579 **Chemical**, v.235, p.401- 407, 2016.

- 580 MOHEBI, E., MARQUEZ, L. Intelligent packaging in meat industry: An overview of
581 existing solutions. **Journal of Food Science and Technology**, v.52, n.7. p. 3947-
582 3964, 2015.
- 583 OGUIS, G, K., GILDING, E.K., JACKSON, M.A., CRAIK, D.J. Butterfly Pea (*Clitoria*
584 *ternatea*), a cyclotide -bearing plant with applications in agriculture and medicine.
585 **Frontiers in Plant Science**, v.10, n.365. p-1-23. 2019.
- 586 PEREIRA, Pamela Freire de Moura. **Desenvolvimento de filmes à base de**
587 **biopolímeros para aplicação como embalagens inteligentes**. 2017. 72f.
588 Dissertação (mestrado) – Universidade Federal do Rio de Janeiro, Instituto de
589 Química, Programa de Pós-Graduação em Ciência de Alimentos, Rio de Janeiro,
590 2017.
- 591 POURJAVAHER, S., ALMASI, H., MESHKINI, S., PIRSA, S., PARANDI, E.
592 Development of a colorimetric pH indicator based on bacterial cellulose nanofibers and
593 red cabbage (*Brassica oleraceae*) extract. **Carbohydrate Polymers**, v.156, p.193-
594 201, 2017.
- 595 PRIETTO, L., MIRAPALHETE, T.C., PINTO, V.Z., HOFFMANN, J F., VANIER, N.L.,
596 LIM, L., DIAS, A.R.G., ZAVAREZE, E.R. pH-sensitive films containing anthocyanins
597 extracted from black bean seed coat and red cabbage. **LWT- Food science and**
598 **technology**, v.80, p.492-500. 2017.
- 599 QI, D., XIAO, Y., XIA, L., LI, L., JIANG, S., JIANG, S., WANG, H. Colorimetric films
600 incorporated with nisin and anthocyanins of pomegranate/*Clitoria ternatea* for shrimp
601 freshness monitoring and retaining. **Food Packaging and Shelf Life**. v.33, p.100898,
602 2022.
- 603 RE, R. Antioxidant activity applying na improved ABTS radical cátion decolorization
604 assay. **Free Radical Biology & Medicine**, v. 26, p. 1231-1237. 1999.

- 605 ROY, S., RHIM, J.W. Anthocyanin food colorant and its application in pH-responsive
606 color change indicator films. **Critical Reviews in Food Science and Nutrition**, v.61,
607 n.14, p. 2297-2325, 2021.
- 608 SANTOS, L.G., ALVES-SILVA, G.F., MARTINS, V.G. Active-intelligent and
609 biodegradable sodium alginate films loaded with *Clitoria ternatea* anthocyanin-rich
610 extract to preserve and monitor food freshness. **International Journal of Biological
611 Macromolecules**, v.220, p.866-877, 2022.
- 612 SANTOS, L.G.; MARTINS, V.G. Optimization of the green extraction of polyphenols
613 from the edible flower *Clitoria ternatea* by high-power ultrasound: a comparative study
614 with conventional extraction techniques. **Journal of Applied Research on Medicinal
615 and Aromatic Plants**, v, p.100458, 2023.
- 616 SHARMA, P., GUPTA, R., ROSHAN, S., SAHU, S., SHUKLA., GARG, A. Plant extract
617 as a acid base indicators. **Inventi Impact: Planta Activa**, v.3, p.3-5, 2013.
- 618 SILVA-PEREIRA, M.P.; TEIXEIRA, J.A.; PEREIRA-JÚNIOR, V.A.; STEFANI, R.
619 Chitosan/corn starch blend films with extract from Brassica oleraceae (red cabbage)
620 as a visual indicator of fish deterioration. **LWT – Food Science and Technology**, v.
621 61, p. 258- 262. 2015.
- 622 SINGH, S., NWABOR, O.F., SYUKRI, D.M., VORAVUTHIKUNCHAI, S.P. Chitosan-
623 poly(vinyl alcohol) intelligent films fortified with anthocyanins isolated from *Clitoria
624 ternatea* and *Carissa carandas* for monitoring beverage freshness. **International
625 Journal of Biological Macromolecules**, v.182, p.1015-1025, 2021.
- 626 SYAHIRAH, L., LUTFI, M.Y., ATIKA, A., HAFIZ, R., ZULHELMI, O.A.,ADZHAN, O.,
627 KHOR, P.Y., A comparative analysis of clitoria ternatea linn. (Butterfly pea) flower
628 extract as natural liquid pH indicator and natural pH paper. **Dhaka University Journal
629 Pharmaceutical Science**, v. 17, n. 1. p. 97–103. 2018.
- 630 VANDERROOST, M. et al. Intelligent packaging: The next generation. **Trends in Food
631 Science & Technology**, v.39, p. 47-62, 2014.

- 632 VILLALOBOS, R., CHANONA, J., HERNÁNDEZ, P., GUTIÉRREZ, G., CHIRALT, A.
633 Gloss and transparency of hydroxypropyl methylcellulose films containing surfactants
634 as affected by their microstructure. **Food Hydrocolloids**, v.19, 53-61, 2005.
- 635 WEN, P.; ZHU, D.-H.; FENG, K.; LIU, F.-J.; LOU, W.-Y.; LI, N.; ZONG, M.-H.; WU, H.
636 Fabrication of electrospun polylactic acid nanofilm incorporating cinnamon essential
637 oil/β-cyclodextrin inclusion complex for antimicrobial packaging. **Food chemistry**, v.
638 196, p. 996–1004, 2016b.YIN, W., QIU, C., JI, H., LI, X., SANG, S., MCCLEMENTS,
639 D.J., JIAO, A., WANG, J., JIN, Z. Recent advances in biomolecule-based films and
640 coatings for active and smart food packaging applications. **Food Bioscience**, v. 52,
641 p.102378, 2023.

7. Considerações finais

O cultivo das flores da *Clitoria ternatea* foi possível, visto que o clima na região de Pelotas/RS é o subtropical temperado. A planta teve sua floração nos meses de dezembro a abril, onde foi possível realizar a colheita das amostras.

Através do planejamento multivariado foi possível otimizar um método de extração ambientalmente amigável e obter um extrato comestível de forma rápida, simples e econômica. No extrato liofilizado obtido com o ponto ótimo de extração (22,5 mL por 16 min à 45 °C), foi possível quantificar treze antocianinas por UHPLC/MS. A antocianina majoritária é a ternatina B2 ($57,94 \text{ mg.}100\text{g}^{-1}$). Também foram extraídos nove compostos fenólicos não antociânicos, com destaque para o Kaempferol 3-O-neohesperidoside ($412,14 \text{ mg.}100\text{g}^{-1}$).

O extrato apresentou elevada quantidade de antocianinas monoméricas totais e capacidade redutora total, além de baixa toxicidade. O extrato obtido no ponto ótimo apresentou atividade antioxidante superior a 50% em relação ao radical ABTS^{•+}. Essa característica é ideal para incorporação em embalagens ativas, com a finalidade da conservação de alimentos. As flores liofilizadas apresentaram capacidade de mudança de cor frente a diferentes pHs, tendo potencial para aplicação em embalagens inteligentes, promovendo a comunicação do produto com o consumidor para assegurar a qualidade e o estado de frescor de um alimento.

Os filmes de acetato de celulose incorporados com 20% e 30% de extrato liofilizado das flores da *Clitoria ternatea*, apresentaram transparência, rigidez e rugosidades. Já os filmes de acetato de celulose contendo 20% e 30% de flor liofilizada da *Clitoria ternatea*, apresentaram cor rosa intensa, rigidez e sem transparência. Apresentaram baixa solubilidade em água e baixa umidade, indicando potencialidade para serem inseridos em contato com alimentos com alta taxa de atividade de água.

Neste estudo, a mudança de cor dos filmes de acetato incorporados de compostos antociânicos não apresentaram resposta, que era uma das hipóteses do

estudo. No entanto, a grande descoberta foi a mudança de cor dos filmes frente a duas bactérias gram-negativas (*S. Typhimurium* e *E. Coli*), causadoras de doenças alimentares, da coloração rosa (em todas as concentrações testadas) para a verde. Dessa forma, os resultados apresentados sugerem a possibilidade de estudos futuros para o desenvolvimento de embalagens inteligentes capazes de detectar a presença desses patógenos alimentares e fazer a comunicação dessa informação para o consumidor. Esses resultados levantam questionamentos e perspectivas de trabalhos futuros para compreender o metabolismo envolvido na mudança de coloração. Além disso, a composição do extrato obtido (quantidade substancial de compostos fenólicos bioativos benéficos e, consequentemente, seus efeitos associados tão bem explorados na literatura) deixa o legado para pesquisas que visem a incorporação do extrato das flores em outras matrizes alimentares a fim de melhorar a qualidade funcional de alimentos.

8. Referências bibliográficas

- AB-RASHID, S., TONG, W.Y., LEONG, C.R., ABDUL-GHAZALI, N.M., AHMAD, N. TEO, H. S. Anthocyanin Microcapsule from *Clitoria ternatea*: Potential Bio-preservative and Blue Colorant for Baked Food Products. Arabian. **Journal for Science and Engineering**, v.46, n.5, p.65-72, 2020.
- ASSIS, Renato Queiroz. **FILMES ATIVOS À BASE DE ACETATO DE CELULOSE COM ADIÇÃO DE LICOPENO, NORBIXINA OU ZEAXANTINA**. 2021. 122f. Tese (Doutorado) – Universidade Federal do Rio Grande do Sul, Instituto de Ciência e Tecnologia de Alimentos, Programa de Pós-Graduação em Ciência e Tecnologia de Alimentos, Porto Alegre, 2021.
- AZIMA, A.S., NORIHAM, A., MANSHOOR, N. Phenolics, antioxidants and color properties of aqueous pigmented plant extracts: *Ardisia colorata* var. *elliptica*, *Clitoria ternatea*, *Garcinia mangostana* and *Syzygium cumini*. **Journal of functional foods**, v.38, parte A, p.232-241, 2017.
- BARBA, F. J. et al. Green alternative methods for the extraction of antioxidant bioactive compounds from winery wastes and by-products: A review. **Trends in Food Science & Technology**, v. 49, p. 96-109, 2016.
- BHUSHANI, J. A.; ANANDHARAMAKRISHNAN, C. Electrospinning and electrospraying techniques: Potential food based applications. **Trends in Food Science & Technology**, v. 38, p. 21–33, 2014.
- BIJI, K. B. et al. Smart packaging systems for food applications: a review. **Journal of Food Science and Technology**, v.52, n.10, p.6125-6135, 2015.
- BIYISHIB, A. K., GEETHA, K. A. Polymorphism in flower colour and petal type in Aparajita (*Clitoria ternatea*). Open Access Journal of Medicinal Aromatic Plants, v.3, p.12–14, 2012.

BORDIGNON C.Jr., FRANCESCATTO, V., NIENOW, A.A., CALVETE, E., REGINATTO, F.H. Influência do pH da solução extrativa no teor de antocianinas em frutos de morango. **Ciência e Tecnologia de Alimentos**, v. 29, n.1. p. 183-188. 2009.

CARDOSO, L.M., LEITE, J.P.V., PELUZIO, M.C.G. Efeitos biológicos das antocianinas no processo aterosclerótico. **Revista Colombiana Ciencias Químico Farmaceutica**, v.40, n.1, p.116-138, 2011.

CARVALHO, M.T., BERGAMASCO, R., GOMES, R.G. METHODS OF EXTRACTION OF BIOACTIVE COMPOUNDS: UTILIZATION OF BYPRODUCTS IN AGROINDUSTRY. **Uningá Review**, v.33, n.1, p.66-68, 2018.

CHALES, Eduardo Henrique. **Uso de antocianinas para aplicação em embalagens de alimentos**. 2018, 29f. Trabalho de conclusão de curso (Técnico em alimentos integrado ao ensino médio) - Instituto Federal de São Paulo - Campus Barretos, 2018.

CONCENÇO, F.I.G.R., STRINGHETA, P.C., RAMOS, A.M., OLIVEIRA, I.H.T. Blueberry: Functional Traits and Obtention of Bioactive Compounds. **American Journal of Plant Sciences**, v.5, n.18. p. 2633-2645. 2014.

CRUZ, A. C. da., MEIRELES, C. da S., RIBEIRO, S. D., RODRIGUES FILHO, G., ASSUNÇÃO, R. M. N. de, CERQUEIRA, D. A. Utilização do acetato de celulose produzido a partir da celulose extraída do caroço de manga como matriz para produção de sistemas microparticulados. **Química Nova**, v.34, n.3, p. 385–389. 2011.

FERREIRA, A. R. V.; ALVES, V. D.; COELHOSO, I. M. **Polysaccharide-based membranes in food packaging applications**. **Membranes**, v.22, n.6, 2016.

FERREIRA, M.P.F. **Embalagens ativas para alimentos: Caracterização e propriedades**. 2012. 138f. Tese (Doutorado em Ciência dos Materiais) – Universidade Federal do Rio Grande do Sul, Porto Alegre, 2012.

FILHO, C.L., MARTINS, M.M., ALVES, V. Advances in the Application of Microcapsules as Carriers of Functional. **Compounds for Food Products. Applied Sciences**, v.9 n.3, p.12-18. 2019.

FONSECA, L. M. OLIVEIRA, J. P.; OLIVEIRA, P. D.; ZAVAREZE, E. R.; DIAS, A. R. G.; LIM, L. T. Electrospinning of native and anionic corn starch fibers with different amylose contents. **Food Research International**, v. 116, p. 1318–1326, 2019b.

FONSECA, L. M.; OLIVEIRA, J. P.; CRIZEL, R. L.; SILVA, F. T.; ZAVAREZE, E. R.; BORGES, C. D. Electrospun Starch Fibers Loaded with Pinhão (*Araucaria angustifolia*) Coat Extract Rich in Phenolic Compounds. **Food Biophysics**, 2020.

FONSECA, L. M.; SOUZA, E. J. D.; RADÜNZ, M.; GANDRA, E. A.; ZAVAREZE, E. R.; DIAS, A. R. G. Suitability of starch/carvacrol nanofibers as biopreservatives for minimizing the fungal spoilage of bread. **Carbohydrate Polymers**, v.252, p.117166, 2021.

FREITAS, V. O mundo colorido das antocianinas. **Revista Ciência elementar**, v.7, n.2, p.1-6, 2019.

GASTI, T., DIXIT, S., HIREMANI, V.D., CHOUGALE, R.B., MASTI, S.P., VOOTLA, S.K., MUDIGOUDRA, B.S. Chitosan/pullulan based films incorporated with clove essential oil loaded chitosan-ZnO hybrid nanoparticles for active food packaging. **Carbohydrate Polymers**, v.277, p.118866, 2022.

GHAANI, M. et al. An overview of the intelligent packaging Technologies in the food sector. **Trends in Food Science & Technology**, v.51, p. 1-11, 2016.

GHORANI, B.; TUCKER, N. Fundamentals of *electrospinning* as a novel delivery vehicle for bioactive compounds in food nanotechnology. **Food Hydrocolloids**, v. 51, p. 227–240, 2015.

GÖNEN, S. Ö.; TAYGUN, M. E.; KÜÇÜKBAYRAK, S. Evaluation of the factors influencing the resultant diameter of the electrospun gelatin/sodium alginate nanofibers

via Box-Behnken design. **Materials Science and Engineering**, v. 58, p. 709–723, 2016.

GONZÁLEZ, A.; ALVAREZ IGARZABAL, C. I. Nanocrystal-reinforced soy protein films and their application as active packaging. **Food Hydrocolloids**, v. 43, p. 777– 784, 2015.

HAVANDA, T. LUENGWILAI, K. Variation in floral antioxidant activities and phytochemical properties among butterfly pea (*Clitoria ternatea* L.) germplasm. **Genetic Resources and Crop Evolution**, v, 66, n. 4. p. 645-658. 2019.

HE, X.; HWANG, H.-M. Nanotechnology in food science: Functionality, applicability, and safety assessment. **Journal of Food and Drug Analysis**, v. 16, p. 1–10, 2016.

HONGYAN, L., ZEYUAN, D., HONGUI, Z., CHANLI, H., RONGHUA, L., YOUNG, C.J., RONG T. Highly pigmented vegetables: Anthocyanin compositions and their role in antioxidant activities. **Food Research International**, v.46, n.1, p. 250-259, 2012.

ISLAM, S., SHAHID, M., MOHAMMED, F. Perspectives for Natural Products Based Agents Derived from Industrial Plants in Textile Applications—A Review. **Journal of Cleaner Production**, v.57, 2-18, 2013.

KAVITHA, R. Biochemical studies on the effect of ethanolic extracts of *Trichosanthes dioica* and *Clitoria ternatea* in streptozotocin induced male Wistar rats. **International Journal of Pharmaceutical Sciences and Research**, v.9, n.11, p.4682–4689, 2018.

KHOO, H. E., AZLAN, A., TANG, S. T., LIM, S. M. Anthocyanidins and anthocyanins: colored pigments as food, pharmaceutical ingredients, and the potential health benefits. **Food and nutrition research**, v.61, n.1, p 2-21. 2017.

KONG, L.; ZIEGLER, G. R. Fabrication of pure starch fibers by *electrospinning*. **Food Hydrocolloids**, v. 36, p. 20–25, 2014.

KONG, L.; ZIEGLER, G. R. Role of molecular entanglements in starch fiber formation by *electrospinning*. **Biomacromolecules**, v. 13, n. 8, p. 2247–2253, 2012.

KRITHIGA, N., RAJALAKSHMI, A., JAYACHITRA, A. Green synthesis of silver nanoparticles using leaf extracts of clitoria ternatea and solanum nigrum and study of its antibacterial effect against common nosocomial pathogens. **Journal of Nanoscience**, v. 2015, p.1- 8. 2015.

MA, Q., WANG, L. Preparation of a visual pH-sensing film based on tara gum incorporating cellulose and extracts from grape skins. **Sensors and Actuators B: Chemical**, v.235, p.401- 407, 2016.

MACHADO, T. F.; BORGES, M. DE F.; BRUNO, L. M. Aplicação de Antimicrobianos Naturais na Conservação de Alimentos. **Documento técnico/ Embrapa Agroindústria Tropical**, v. ISSN 2179, n. 145, p. 32, 2011.

MACIEL, V.B., FRANCO, T., YOSHIDA, C.M.P. Alternative intelligent material for packaging using chitosan films as colorimetric temperature indicators. **Polymers**, v. 22, p. 318–324. 2012.

MAHDAVI, A.S., JAFARI, S.M., ASSADPOOR, E., DEHNAD, D. Microencapsulation optimization of natural antocyanins with maltodextrin, goma arábica e gelatina. **International Journal of Pharmaceutical Sciences and Research**, v.85, p.379–385. 2016.

MENSITERI, G. et al. Processing and shelf-life issues of selected food packaging materials and structures from renewable resources. **Trends in Food Science & Technology**, v.22, p.72- 80, 2011.

MOHEBI, E., MARQUEZ, L. Intelligent packaging in meat industry: An overview of existing solutions. **Journal of Food Science and Technology**, v.52, n.7. p. 3947-3964, 2015.

NEVES, M.C., CELLET, T.S.P., ROMERO, A.L., ROMERO, R.B. Desenvolvimento de nano e micropartículas de acetato de celulose para sistemas de liberação controlada de anti-inflamatórios não esteróides. **Colloquium Exactarum**, v. 9, n.4, p.15–24, 2017.

NISTA, Silvia Vaz Guerra. **Desenvolvimento e caracterização de nanofibras de acetato de celulose para liberação controlada de fármacos.** 2012. 127f. Dissertação de Mestrado - Universidade Estadual de Campinas, Faculdade de Engenharia Química, Campinas, 2012.

OGUIS, G. K., GILDING, E.K., JACKSON, M.A., CRAIK, D.J. Butterfly Pea (*Clitoria ternatea*), a cyclotide -bearing plant with applications in agriculture and medicine **Frontiers in Plant Science**, v.10, n.365. p-1-23. 2019.

PASUKAMONSET, P., KNOW, O., ADISAKWATTANA, S. Alginate-based encapsulation of polyphenols from *Clitoria ternatea* petal flower extract enhances stability and biological activity under simulated gastrointestinal conditions. **Food Hydrocolloids**, v.61, p.772-779, 2016.

PEREIRA, Pamela Freire de Moura. **Desenvolvimento de filmes à base de biopolímeros para aplicação como embalagens inteligentes.** 2017. 72f. Dissertação (mestrado) – Universidade Federal do Rio de Janeiro, Instituto de Química, Programa de Pós-Graduação em Ciência de Alimentos, Rio de Janeiro, 2017.

PEREIRA, S.M.C., TEIXEIRA, J. A., PEREIRA, V.A.J. STEFANI, R. Filmes de mistura de quitosana / amido de milho com extrato de *Brassica oleraceae* (repolho roxo) como um indicador visual da deterioração dos peixes. **LWT - Ciência e Tecnologia de Alimentos**, v. 61, p. 258 – 262. 2015.

PITAKSUTEEPONG, T. Nanotechnology: Effective topical delivery systems. **Asian Journal of Pharmaceutical Sciences**, v. 11, p. 16–17, 2016.

PRABHU, S., THANGADURAI, T.D., INDUMATHI, T., KALUGASALAM, P. Enhanced visible light induced dye degradation and antibacterial activities of ZnO/NiO nanocomposite synthesized using *Clitoria ternatea* flower extract. **Inorganic Chemistry Communications**, v.146, p.110077, 2022.

PRIETTO, L., MIRAPALHETE, T.C., PINTO, V.Z., HOFFMANN, J F., VANIER, N.L., LIM, L., DIAS, A.R.G., ZAVAREZE, E.R. pH-sensitive films containing anthocyanins extracted from black bean seed coat and red cabbage. **LWT- Food science and technology**, v.80, p.492-500. 2017.

REALINI, C.E., MARCOS, B. Active and intelligent packaging systems for a modern Society. **Meat Science**, v.98, p.404-415, 2014.

RIBEIRO, S. D., GUIMES, R.F., MENEGUIN, A.B., PREZOTTI, F.G, BONI, F.I., FERREIRA, B.S., DAFLON, M.P. Cellulose triacetate films obtained from sugarcane bagasse: Evaluation as coating and mucoadhesive material for drug delivery systems. **Carbohydrate Polymers**. Oxford:Elsevier Science, v. 152, p. 764-774. 2016.

ROY, S., RHIM, J.W. Anthocyanin food colorant and its application in pH-responsive color change indicator films. **Critical Reviews in Food Science and Nutrition**, v.61, n.14, p. 2297-2325, 2021.

RUKCHON, C., NOPWINYUWONG, A. TREVANICH, S., JINKARN, T., SUPPAKUL, P. Development of food spoilage indicator for monitoring freshness of skinless chicken breast. **Talanta**, v.130, p.547-554, 2014.

SABINO, B.S., FILHO, E.G.A., FERNANDES, F.A.N., BRITO, E.S., SILVA, I.J.J. Optimization of pressurized liquid extraction and ultrasound methods for recovery of anthocyanins present in jambolan fruit (*Syzygium cumini* L.). **Food and Bioproducts Processing**, v. 127, p. 77-89. 2021.

SADEGH-HASSANI, F.; MOHAMMADI NAFCHI, A. Preparation and characterization of bionanocomposite films based on potato starch/halloysite nanoclay. **International Journal of Biological Macromolecules**, v. 67, p. 458–462, 2014.

SAIDI, T.; ZEISSL, R. Investigating promises of nanotechnology for development: A case study of the travelling of smart nano water filter in Zimbabwe. **Technology in Society**, v. 46, p. 40–48, 2016.

SANTOS, A.C.A., MARQUES, M.M.P., SOARES, A.K.O., FARIAS, L.M., FERREIRA, A.K.A., CARVALHO, M.L. Potencial antioxidante de antocianinas em fontes alimentares: revisão sistemática. *R. Interd*, v. 7, n.3, p.149-156, 2014.

SHARMA, P., GUPTA, R., ROSHAN, S., SAHU, S., SHUKLA., GARG, A. Plant extract as a acid base indicators. **Inventi Impact: Planta Activa**, v.3, p.3-5, 2013.

SILVA-PEREIRA, M.P.; TEIXEIRA, J.A.; PEREIRA-JÚNIOR, V.A.; STEFANI, R. Chitosan/corn starch blend films with extract from *Brassica oleraceae* (red cabbage) as a visual indicator of fish deterioration. **LWT – Food Science and Technology**, v. 61, p. 258- 262. 2015.

SINGH, N.K., GARABADU, D., SHARMA, P., SHRIVASTAVA, S.K., MISHRA, P. Anti-allergy and anti-tussive activity of *Clitoria ternatea* L. in experimental animals. **Journal of Ethnopharmacology**, v.224, p.15–26, 2018.

SINGH, S., NWABOR, O.F., SYUKRI, D.M., VORAVUTHIKUNCHAI, S.P. Chitosan-poly(vinyl alcohol) intelligent films fortified with anthocyanins isolated from *Clitoria ternatea* and *Carissa carandas* for monitoring beverage freshness. **International Journal of Biological Macromolecules**, v.182, p.1015-1025, 2021.

SOUTO, E. B., SEVERINO, P. SANTANA, M.H.A. Preparação de Nanopartículas Poliméricas a partir da Polimerização de Monômeros - Parte I. **Scielo**, v. 22, n.1, p. 96-100. 2012.

SUNG, S.Y., SIN, L.T., TEE, T.T., BEE, S.T., RAHMAT, A.R., RAHMAN, W.A., TAN, A.C., VIKHRAMAN, M. Antimicrobial agents for food packaging applications. **Trends in Food Science & Technology**, v.33, n.2, p.110-123, 2013.

SYAHIRAH, L., LUTFI, M.Y., ATIKA, A., HAFIZ, R., ZULHELMI, O.A., ADZHAN, O., KHOR, P.Y., A comparative analysis of *clitoria ternatea* linn. (Butterfly pea) flower extract as natural liquid pH indicator and natural pH paper. **Dhaka Univ. J. Pharm. Sci**, v. 17, n. 1. P. 97–103. 2018.

TAN, A.; CHAWLA, R.; MAHDIBEIRAGHDAR, N. G, S.; JEYARAJ, R.; RAJADAS, J.; HAMBLIN, M. R.; SEIFALIAN, A. M. Nanotechnology and regenerative therapeutics in plastic surgery: The next frontier. **Journal of plastic, reconstructive & aesthetic surgery**: JPRAS, v. 69, p. 1–13, 2016.

TAUR, D. J., PATIL, R. Y. Evaluation of antiasthmatic activity of *Clitoria ternatea* L. roots. **Journal of Ethnopharmacology**, v.136, n.2, p.374–376, 2011.

THERANI, A. H.; ZADHOUSH, A.; KARBASI, S.; KHORASANI, S. N. Experimental investigation of the governing parameters in the electrospinning of poly(3 hydroxybutyrate) scaffolds: structural characteristics. **Journal of Applied Polymer Science**, v.18. n.5, p. 2682-2689, 2010.

VANDERROOST, M. et al. Intelligent packaging: The next generation. **Trends in Food Science & Technology**, v.39, p. 47-62, 2014.

WADHWA, G.; KUMAR, S.; CHHABRA, L.; MAHANT, S.; RAO, R. Essential oil–cyclodextrin complexes: an updated review. **Journal of Inclusion Phenomena and Macrocyclic Chemistry**, v. 89, n. 1–2, p. 39–58, 2017.

WEN, P.; WEN, Y.; ZONG, M. H.; LINHARDT, R. J.; WU, H. Encapsulation of bioactive compound in electrospun fibers and its potential application. **Journal of Agricultural and Food Chemistry**, v. 65, n. 42, p. 9161–9179, 2017.

WEN, P.; ZHU, D.-H.; FENG, K.; LIU, F.-J.; LOU, W.-Y.; LI, N.; ZONG, M.-H.; WU, H. Fabrication of electrospun polylactic acid nanofilm incorporating cinnamon essential oil/β-cyclodextrin inclusion complex for antimicrobial packaging. **Food chemistry**, v. 196, p. 996–1004, 2016b.

WONGSASULAK, S., PATEPEEJUMRUSWONG, M., WEISS, J., SUPAPHOL, P., YOOVIDHYA, T. Electrospinning of food-grade nanofibers from cellulose acetate and egg albumen blends. **Journal of food engineering**, v.98, n.3. p.371-376, 2010.

YAN, J., YU, D.G. Smoothening electrospinning and obtaining high-quality cellulose acetate nanofibers using a modified coaxial process. **Springer**, v.47, p.7138-7147. 2012.

YIN, W., QIU, C., JI, H., LI, X., SANG, S., MCCLEMENTS, D.J., JIAO, A., WANG, J., JIN, Z. Recent advances in biomolecule-based films and coatings for active and smart food packaging applications. **Food Bioscience**, v. 52, p.102378, 2023.